

ALLEGATO

E1

ALLA SCHEDA DI RER (ART.43 NTA)

LA REL DEI PAESAGGI DI PIANURA, DI AREA MONTANA E URBANIZZATI



ALLEGATO ALLA SCHEDA DI RER. La REL dei paesaggi di pianura, di area montana e urbanizzati

E1 - ALLEGATO





Assessorato alle infrastrutture e territorio
Assessore Mariagrazia Santoro

Responsabili del PPR-FVG

Direttore del servizio paesaggio e biodiversità della Regione FVG e responsabile del procedimento
Chiara Bertolini

Responsabile scientifico per la parte strategica
Mauro Pascolini

Stampa

Foto di copertina sinistra:
Valle Cavanata (Grado) – Marco Zamò;
Piana di Osoppo – Stefano Zanini;
Cavalli della Camargue nell'Isola della Cona (Staranzano) – Lorenzo Fogale;
Jof Montasio (Chiusaforte) – Mario Di Gallo.

INDICE

| | |
|--|---------|
| 1. PREMESSA | pag. 3 |
| 1.1 LE AREE DI STUDIO | pag. 5 |
| 2. IL METODO PER LA COSTRUZIONE DELLA CARTA DELLA RETE ECOLOGICA LOCALE | pag. 6 |
| 2.1 FASE 1 - QUADRO CONOSCITIVO DI RIFERIMENTO | pag. 7 |
| 2.1.1 Carta degli habitat | pag. 7 |
| 2.1.2 Identificazione di specie target e individuazione degli habitat di gravitazione delle stesse | pag. 7 |
| 2.3 FASE 2- DEFINIZIONE DEL COSTO DI ATTRAVERSAMENTO DELLA MATRICE PER IL CALCOLO DELLA CONNETTIVITÀ FUNZIONALE DELLE SPECIE E DEGLI HABITAT | pag. 11 |
| 2.4 FASE 3 - CALCOLO DELLA CONNETTIVITÀ FUNZIONALE E COSTRUZIONE DELLA RETE ECOLOGICA PER SINGOLA SPECIE ED HABITAT TARGET | pag. 13 |
| 2.4.1 Il modello spaziale della connettività | pag. 13 |
| 2.4.2 La rete ecologica specie specifica | pag. 14 |
| 2.4.3 Le linee di connettività discontinue (stepping stones) | pag. 19 |
| 2.5 FASE 4 - COSTRUZIONE DELLA REL (CORE AREAS, CORRIDOI ECOLOGICI, BUFFER ZONES) | pag. 19 |
| 2.5.1 Nodi (core areas) della REL | pag. 24 |
| 2.5.2 Corridoi ecologici della REL | pag. 27 |
| 2.5.3 La Carta della Rete Ecologica Locale | pag. 35 |
| ALLEGATO 1 | pag. 40 |

**Regione Autonoma Friuli Venezia
Giulia**

**ASSESSORE ALLE
INFRASTRUTTURE E TERRITORIO**

Mariagrazia Santoro

COORDINATORE DEL PPR-FVG

Chiara Bertolini

*Direttore del Servizio paesaggio e
biodiversità della Direzione generale*

ELABORAZIONI DI:

Massimo Buccheri

Luca Dorigo

Paolo Glerean

Luca Lapini

*Analisi e gestione dell'informazione
territoriale*

Michel Zuliani

Profili giuridici per la disciplina d'uso

Tiziana D'Este

Martina Vidulich

Supporto grafico e impaginazione

Ilaria Cucit

Michela Lanfritt

**Ministero dei beni e delle attività
culturali e del turismo**

Organi centrali del Ministero

*Direzione generale archeologia, belle arti
e paesaggio*

Direttore Direzione generale Caterina
Bon Valsassina

*Servizio V tutela del paesaggio del
Ministero*

Dirigente Roberto Banchini

Sergio Mazza

Organi periferici del Ministero

Segretariato regionale

Direttore Ilaria Ivaldi

Ruben Levi

*Soprintendenza archeologia, belle arti e
paesaggio*

Soprintendente Corrado Azzollini

*Responsabile Area funzionale paesaggio
SABAP FVG*

Stefania Casucci

Angela Borzacconi

Serena Di Tonto

Roberto Micheli

Annamaria Nicastro

Università degli Studi di Udine

**COORDINATORE PER LA PARTE
STRATEGICA DEL PPR-FVG**

Mauro Pascolini

Professore Ordinario di Geografia

ELABORAZIONI DI:

Maurizia Sigura

Francesco Boscutti

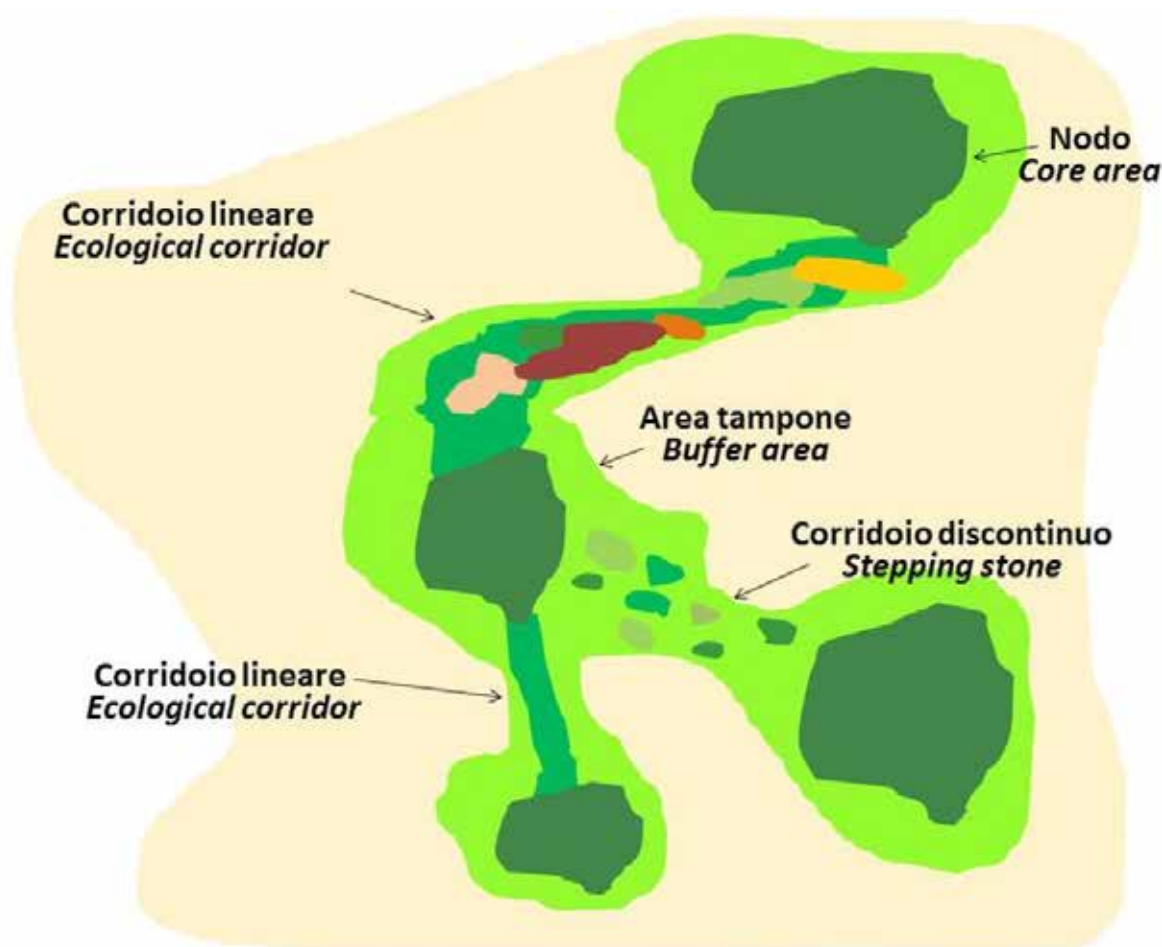
1. Premessa

Nell'ambito del Piano Paesaggistico Regionale (PPR) la Rete Ecologica (RE) ha come obiettivi primari la conservazione della natura e la salvaguardia della biodiversità. In questo quadro è stato condotto uno studio per la definizione di un modello operativo finalizzato all'individuazione delle direttrici di connessione ecologica sulla base della distribuzione potenziale di habitat e specie target applicabile al territorio regionale. Lo specifico riferimento è a paesaggi intensamente urbanizzati ed a paesaggi di area montana e di pianura della regione Friuli Venezia Giulia.

Considerando gli indirizzi in materia di definizione e gestione delle aree di collegamento ecologico funzionale riportati in letteratura ed in particolare elaborati dall'Istituto Superiore per la Protezione e la Ricerca Ambientale, ISPRA (APAT 2003) l'attenzione viene rivolta a specie animali e vegetali (specie target) di interesse comunitario, o comunque importanti ai fini della conservazione della natura e del mantenimento della biodiversità nei paesaggi studiati. Dal punto di vista strutturale il modello di rete ecologica è ormai ampiamente codificato e si fonda sul riconoscimento nel paesaggio di elementi specifici quali (figura 1):

- i nodi (core areas) della rete dove la specie guida trova condizioni di vita ottimali o molto favorevoli. Si tratta di habitat o di insiemi di habitat la cui funzione è mantenere popolazioni locali vitali nel tempo;
- corridoi ecologici (ecological corridors), insiemi di habitat che costituiscono fasce di connessione tra i nodi della rete, consentendo lo scambio di individui tra gli stessi in modo da ridurre i rischi di estinzione delle singole popolazioni locali. Si definiscono corridoi ecologici continui quando la successione degli habitat favorevoli allo spostamento non ha soluzione di continuità nello spazio, corridoi discontinui (stepping stones) quando gli habitat, o gli insiemi di habitat, che lo compongono hanno caratteristiche di idoneità per la specie fortemente discontinue, ma vengono percepiti come un unicum dalla specie stessa;
- fasce di protezione, o fasce tampone (buffer zones) con funzione di ridurre gli effetti dei fattori di disturbo esterno verso i nodi ed i corridoi della rete.

Figura1: rappresentazione ideale del modello strutturale di rete ecologica.



La RE ha un significato multiscalare e specie-specifico. Gli elementi che la costituiscono assumono caratteristiche strutturali e funzionali diverse se letti a diverse scale spaziali o per specie differenti; ciò comporta talvolta il cambiamento del ruolo funzionale svolto dallo stesso elemento nel sistema reticolare (es: uno stesso tipo di habitat può svolgere la funzione di nodo, o di corridoio per specie differenti). La rete è quindi composta da "unità ecosistemi che" interconnesse, rappresentate da singoli habitat, o da mosaici di habitat, con caratteristiche di naturalità più o meno forti. Questi elementi vanno intesi come ambiti "potenziali" di supporto alla connettività ecologica e funzionale poiché identificati in relazione alle caratteristiche degli habitat e della loro affinità con le specie. Nella logica adottata, l'individuazione delle componenti strutturali della RE è finalizzata alla definizione di quali risorse ambientali (e loro organizzazioni) sono utili al ripristino della connettività fra gli ambienti naturali del territorio, intesa come possibile strumento di mitigazione degli effetti dei processi di cambiamento del paesaggio, come la frammentazione degli habitat naturali su comunità, popolazioni e individui.

In questo contesto la rete ecologica sviluppata alla scala locale (REL) è definita come un sistema interconnesso di habitat più o meno naturali che permeano il paesaggio e consentono di mantenere le condizioni indispensabili per salvaguardare specie animali e vegetali potenzialmente minacciate. Nella realtà gli elementi della REL sono rappresentati da singoli habitat, da insiemi di habitat naturali, o da mosaici di paesaggio più o meno estesi dove aree urbanizzate, aree coltivate ed elementi naturali (siepi, filari di alberi, prati, boschi residuali) si susseguono con diversa densità. Si tratta quindi di individuare gli ambiti, le fasce di territorio dove maggiori sono le condizioni di potenziale connessione ecologica e ambientale. La funzione di supporto alle specie di questi ambiti non esclude, in un'ottica di servizi ecosistemici, altre funzioni quali la produzione agricola, la fruizione per attività sportive o del tempo libero ecc., e rappresenta una condizione necessaria per un modello di sviluppo del paesaggio sostenibile e multifunzionale. Ciò è in linea con gli obiettivi della direttiva Habitat (92/43/CEE) che stabilisce di "salvaguardare la biodiversità mediante la conservazione degli habitat naturali (...), tenendo conto al tempo stesso delle esigenze economiche, sociali, culturali e regionali, che contribuiscono all'obiettivo generale di uno sviluppo durevole e compatibile". Il metodo si pone quindi l'obiettivo di individuare le porzioni di territorio più predisposte alle funzioni di connettività ecologica entro le quali definire interventi progettuali mirati di ripristino, o conservazione ambientale.

In un approccio alla connettività territoriale, come quello applicato nell'identificazione della REL il ruolo della matrice territoriale è determinante. Per matrice si intende la caratteristica fondante di un paesaggio che, operando una forte semplificazione, può essere riconducibile alla tipologia di copertura/uso del suolo, o all'habitat (mosaico di habitat) più esteso ed interconnesso presente nel paesaggio. La matrice è spesso strettamente legata alle attività umane, ma può variare marcatamente. Nelle aree di pianura il territorio è plasmato dalle attività antropiche che rendono gli habitat naturali limitati a piccole porzioni, spesso isolati e difficili da raggiungere dalle specie per la presenza di ambienti fortemente disturbati (es centri abitati, infrastrutture viarie), o perché immersi nella matrice di coltivazioni gestite in maniera intensiva. In questo caso la struttura della rete ecologica rispecchia pienamente lo schema riportato in figura 1. Nelle aree di montagna il progressivo abbandono delle attività agro-pastorali determina la massiccia espansione del bosco che rappresenta l'ambiente più diffuso, la matrice di fondo. In questo contesto le specie più sofferenti sono quelle legate agli ambienti aperti ed alla diversità delle formazioni forestali che consentono di mantenere l'eterogeneità del paesaggio. Nelle aree fortemente urbanizzate la rete ecologica, pur mantenendo un ruolo fondamentale per la conservazione della biodiversità, assume caratteristiche diverse rispetto ai due casi precedenti. In questo contesto, infatti, gli elementi che formano la REL vanno ricercati negli ambienti naturali e coltivati residuali che si incuneano nell'abitato, nelle aree verdi urbane pubbliche e private, nelle vie d'acqua e negli spazi non costruiti che possono essere ricondotti ad habitat con caratteristiche di naturalità. La matrice e di conseguenza la lettura del territorio in funzione della connettività ambientale cambia in relazione al tipo di paesaggio.

Il metodo per l'individuazione della REL è stato sviluppato alla scala sovracomunale, ma la sua organizzazione in fasi lo rende applicabile anche alla scala di maggiore dettaglio (es. comunale). Il metodo è rivolto ad amministratori, tecnici del territorio e dell'ambiente, ed è basato su tecnologie oramai consolidate nel mondo professionale e su strumenti di libero accesso (open source). Tra queste in primis i sistemi informativi geografici (GIS), legati al dato territoriale dove l'informazione ambientale è connessa alla sua reale collocazione nello spazio. Si tratta di un approccio multidisciplinare elaborato da un gruppo di lavoro composto da botanici, faunisti, naturalisti, ed esperti di analisi del territorio (tecnologie GIS) a sottolineare la necessità di integrare competenze e profili professionali diversi per affrontare questo tema.

Il metodo è stato verificato in quattro aree di studio pilota collocate rispettivamente nel paesaggio coltivato di alta (area pordenonese) e bassa pianura (area udinese), nel paesaggio tra la pianura e il Carso monfalconese, caratterizzato dall'essere fortemente urbanizzato e trasformato dalle attività dell'uomo, e nel paesaggio prealpino.

I risultati sono rappresentati dalla “Carta della Rete Ecologica Locale Alta Pianura Pordenonese”, “Carta della Rete Ecologica Locale Bassa Pianura Udinese”, “Carta della Rete Ecologica Locale del paesaggio urbanizzato” e dalla “Carta della Rete Ecologica Locale del paesaggio prealpino” che raccolgono gli elementi strutturali di base della rete ecologica: nodi, corridoi ecologici continui e corridoi ecologici discontinui.

1.1 Le aree di studio

Le aree di studio oggetto della presente relazione (Figura 2) corrispondono a due porzioni rispettivamente della pianura friulana pordenonese ed udinese, a una zona di passaggio tra la pianura e il Carso nel territorio del monfalconese e all'area prealpina nel territorio delle Prealpi Giulie.

L'area sita nell'alta pianura pordenonese si estende su una superficie di circa 228 km² e comprende 4 ZSC, 1 ZPS e 2 biotopi. L'area rappresenta un transetto ideale del macrogradiente ecologico che collega la zona collinare, la zona xerofila dell'alta pianura fino alla fascia delle risorgive.

L'area della bassa pianura udinese si estende su una superficie di 298 km² e include 8 ZSC, 9 biotopi e diverse aree umide e comprende la zona di transizione tra fascia delle risorgive e bassa pianura, includendo caratteristiche rappresentative dell'intera bassa pianura friulana.

La zona di passaggio tra la pianura e il Carso nel territorio del monfalconese è caratterizzata da paesaggio fortemente urbanizzato, si estende su una superficie di 218 km² e comprende parte di 3ZSC, 2ZPS, 2biotopi e 2 riserve naturali regionali. Rappresenta un complesso ambiente di transizione tra il sistema della pianura isontina, le aree paludose costiere e l'area carsica isontina e monfalconese.

L'area prealpina si estende su una superficie di 351km² e include interamente, o parte, 4 ZSC, 1 ZPS e una porzione del Parco Regionale delle Prealpi Giulie. L'area comprende gli ambienti di transizione e di nuova formazione dell'area collinare e pedemontana ed è rappresentativa dei paesaggi prealpini.

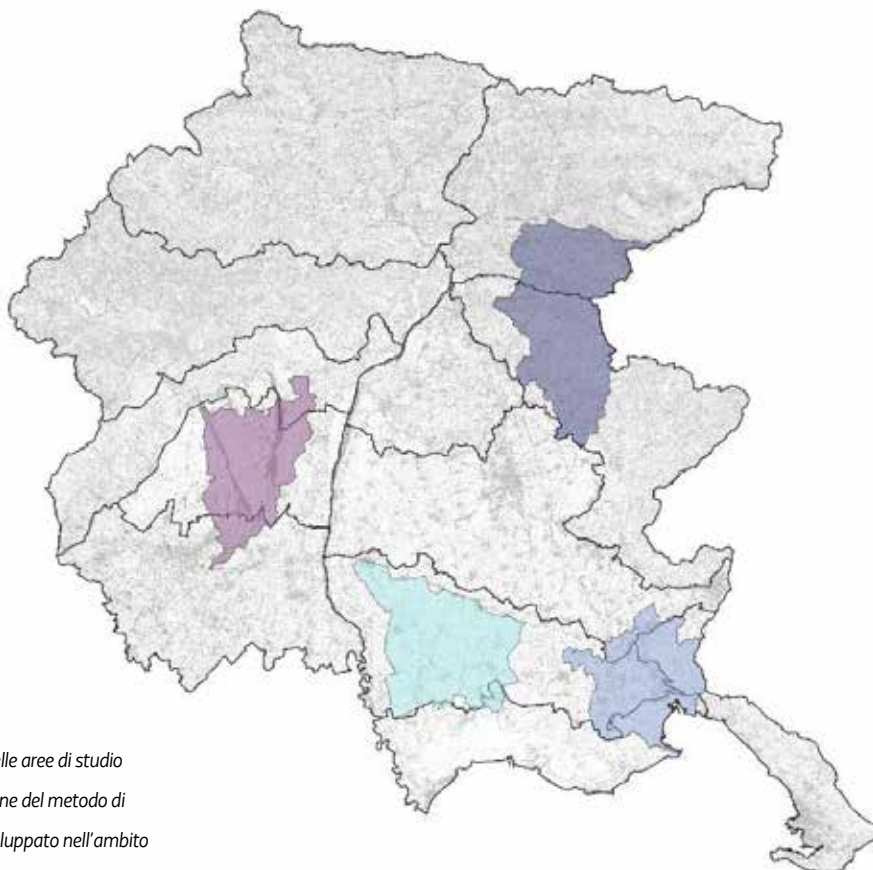


Figura2: inquadramento delle aree di studio considerate per l'applicazione del metodo di individuazione della REL sviluppato nell'ambito del Piano Paesaggistico Regionale.

2. Il metodo per la costruzione della Carta della Rete Ecologica Locale

Il metodo adottato per lo sviluppo della cartografia tematica riguardante la REL si articola in una serie di fasi che partendo dalle basi di dati cartografiche disponibili per la caratterizzazione del mosaico ambientale del territorio prevedono (figura 3):

fase 1: sviluppo del quadro conoscitivo di riferimento relativo alla distribuzione degli habitat, individuazione delle specie target e degli habitat di gravitazione delle stesse.

Risultati: Carta degli habitat, lista delle specie e degli habitat di gravitazione;

fase 2: calcolo dei costi di percorrenza della matrice usati per il calcolo della connettività.

Risultati: valori dei costi di percorrenza, Carta dei costi di percorrenza per singola specie;

fase 3: definizione degli habitat funzionali e calcolo delle linee di connessione tra gli stessi con costruzione della rete ecologica per singola specie (habitat funzionali, linee di connessione funzionali).

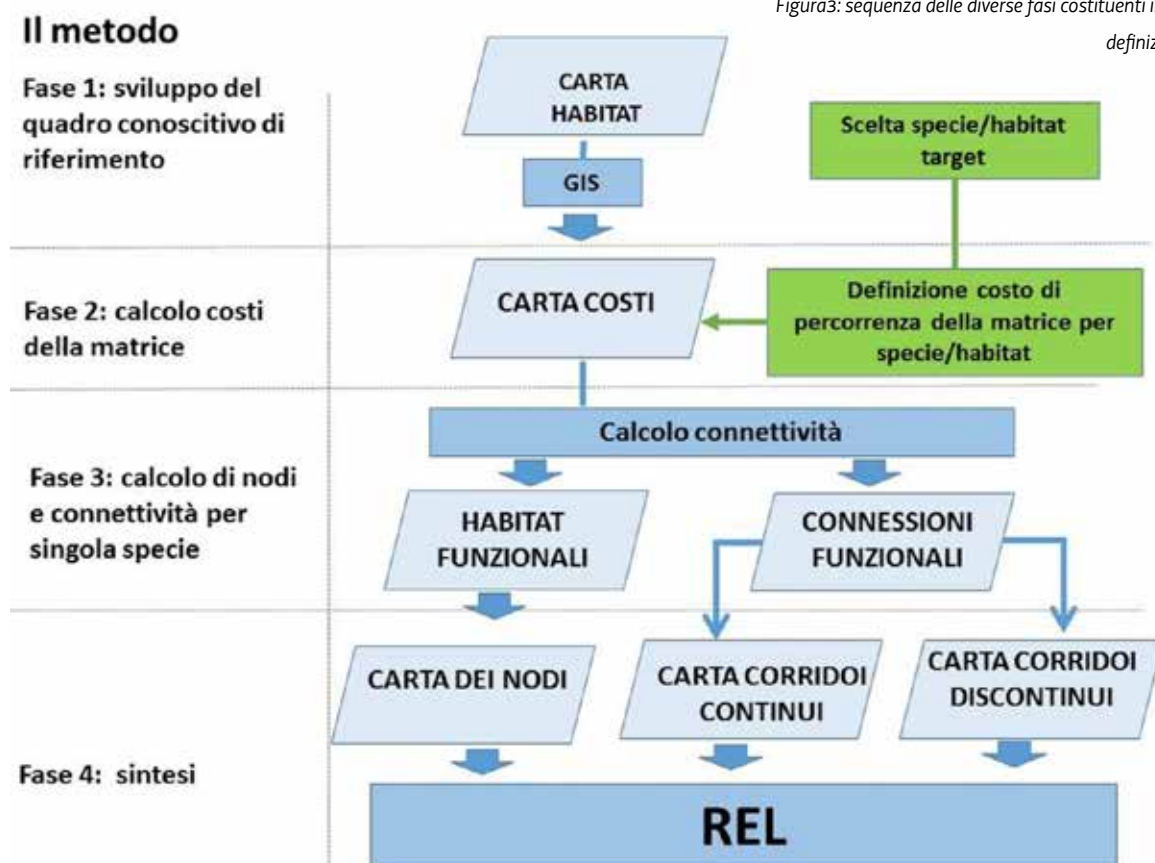
Risultati: Carta degli habitat funzionali, Carta delle connessioni e delle connessioni funzionali per singola specie;

fase 4: sintesi degli elementi della rete ecologica calcolati per singola specie ed individuazione degli elementi della REL: nodi (core areas), corridoi ecologici (continui e discontinui); fasce tampone (buffer zones).

Risultati: Carta dei nodi, Carta dei corridoi ecologici continui, Carta dei corridoi ecologici discontinui (stepping stones), Carta della Rete Ecologica Locale della Alta Pianura Pordenonese, Carta della Rete Ecologica Locale della Bassa Pianura Udinese, Carta della Rete Ecologica Locale del paesaggio urbanizzato, Carta della Rete Ecologica Locale del paesaggio prealpino.

Va specificato che se da un lato le sequenze operative ed i criteri di riferimento adottati sono gli stessi per le reti ecologiche dei quattro paesaggi studiati, dall'altro la lettura della rete ecologica in area montana, dove la matrice territoriale è data da un continuum di ambienti naturali scarsamente interessati dall'attività dell'uomo, rende necessario un vero e proprio cambio di paradigma rispetto alle zone di pianura. Infatti, nel paesaggio prealpino e alpino regionale la matrice territoriale è data da ambienti di foresta, contraddistinti da forti caratteristiche di naturalità che spesso sono il risultato dell'avanzare progressivo del bosco a seguito del abbandono delle attività di gestione agro-pastorali. In questo contesto la matrice stessa è caratterizzata

Figura 3: sequenza delle diverse fasi costituenti il metodo per la definizione della REL.



da ambienti ricchi di biodiversità e l'obiettivo di tutela diventa la biodiversità legata agli ambienti aperti, che risultano essere più fortemente minacciati in termini di persistenza e quella degli habitat più rari, associati a specifiche condizioni fisiografiche ed ambientali che vanno a costituire la diversità del paesaggio forestale. Inoltre, mentre nei paesaggi intensamente coltivati di pianura, (semplificati dalla perdita del corredo di naturalità), gli interventi sugli elementi della rete ecologica possono essere rappresentati dal ripristino ambientale, o dall'inserimento di nuovi habitat naturali, nei paesaggi caratterizzati da una diffusa naturalità è la gestione degli habitat, più che la trasformazione degli stessi, a svolgere un ruolo determinante. Le fasce di territorio individuate come corridoi ecologici in questo contesto attraversano ambienti naturali che hanno un proprio valore conservazionistico, ma che possono essere più o meno permeabili alle specie target in funzione delle specifiche caratteristiche ecologiche. Per sostenere dal punto di vista funzionale questi corridoi risulta difficile pensare ad una trasformazione radicale in altro habitat (es foresta in prato) come soluzione su grande scala, mentre indirizzi gestionali opportunamente calibrati sulle esigenze delle specie scelte possono aumentare la permeabilità degli habitat, assolvendo alla funzione ecologica attesa. La definizione di tali indirizzi gestionali richiede opportuni approfondimenti ed esula dal contesto di questo lavoro.

2.1 Fase 1 - Quadro conoscitivo di riferimento

2.1.1 Carta degli habitat

La carta degli habitat (figura 4) è stata prodotta alla scala 1:25.000, a partire dai seguenti strati cartografici ritenuti utili per la descrizione dei diversi ambienti (fonte: IRDAT – FVG):

- carta degli habitat delle aree Natura 2000 presenti nell'area (scala 1:10000),
- carta di uso del suolo a fini faunistici (scala 1:25000), (Regione FVG – Piano faunistico venatorio),
- carta dell'inventario dei prati stabili (scala 1:5000),
- carta delle tipologie forestali 2013 (scala 1:5000)
- carta dell'inventario dei rimboschimenti planiziali a scopi produttivi (scala 1:5000).

L'informazione derivata è stata, ove possibile, verificata mediante fotointerpretazione utilizzando l'ortofoto dell'anno 2014 (Regione Friuli Venezia Giulia). Lo schema di classificazione degli habitat utilizzato è quello proposto dal manuale degli habitat della regione Friuli Venezia Giulia (Poldini et al., 2006). Il sistema di classificazione adottato permette connessioni con i principali sistemi nazionali e internazionali (schemi sintassonomici, CORINE biotopes, EUNIS, Direttiva Habitat). I dati sono stati integrati in un unico strato informativo aggregando gli elementi cartografici di maggiore dettaglio in mosaici ambientali coerenti con la scala di lavoro e con le categorie degli habitat regionali. Gli strati informativi prodotti sono stati migliorati attraverso operazioni automatiche e manuali di eliminazione di artefatti cartografici (slivers, gaps e overlaps). Non sono stati considerati gli habitat di ambiente marino.

Si specifica che in futuro questo passaggio potrà essere superato dall'aggiornamento, attualmente in corso, della Carta degli Habitat sviluppata nell'ambito del progetto Carta della Natura orientata alla caratterizzazione in termini di habitat del territorio regionale (<http://irdat.regione.fvg.it/WebGIS/GISViewer.jsp?template=configs:CartaNatura/CartaNaturaFVGms.xml>). Tale strumento, di pubblico accesso, sarà accompagnato da una valutazione degli habitat e da una serie di parametri di qualità degli stessi utile alla successiva fase di individuazione degli habitat funzionali.

2.1.2 Identificazione di specie target e individuazione degli habitat di gravitazione delle stesse

La REL ha come obiettivo l'individuazione delle aree a supporto della biodiversità del territorio quindi è riferita ad un consistente gruppo di specie animali e vegetali. Queste possono essere di interesse comunitario, oppure di interesse locale poiché legate agli ambienti che caratterizzano il paesaggio in cui la REL ricade. Poiché tutte le specie necessitano di uno spazio vitale l'habitat di gravitazione delle stesse viene assunto come elemento chiave per la costruzione della REL.

Per le quattro aree di studio è stato identificato un gruppo di specie e di habitat target, riportate in allegato 1, sulla base dei seguenti criteri:

specie vegetali

- a) comprese nella lista delle specie vascolari di allegato di direttiva Habitat,
- b) comprese nelle liste rosse nazionali e regionali,
- c) specie rare ed endemiche,
- d) valore ecologico,
- e) specificità e fedeltà della specie all'habitat.

Nello specifico si è fatto riferimento alla distribuzione reale della specie (Poldini et al., 2002; Data Base del nuovo atlante corologico per quadranti), al valore conservazionistico (Lista delle specie vascolari di allegato di direttiva Habitat, Liste rosse nazionali e regionali, convenzione di Washington, convenzione di Berna), alla rarità ed endemicità, al valore ecologico, alla specificità e fedeltà della specie all'habitat rilevati dalla letteratura corrente.

Le specie scelte sono attribuite al/agli habitat di gravitazione mediante analisi di optimum fitosociologico ed ecologico indicati in letteratura (es. Poldini et al., 2006), gli habitat così identificati sono assunti come habitat target. In questo modo ogni habitat individuato raggruppa e rappresenta le specie che potenzialmente vi gravitano e viene assunto come habitat funzionale, ossia con funzione di nodo della rete (core area) nelle analisi successive. Visto l'elevato numero di habitat "target" e al fine di mantenere equamente rappresentati flora e fauna è stata attuata una selezione degli stessi basata sui seguenti criteri:

- numero di specie rilevanti supportate,
- valore conservazionistico degli habitat,
- valore conservazionistico delle specie rilevanti potenzialmente presenti,
- rappresentatività all'interno delle aree (superficie relativa), dando la precedenza agli habitat maggiormente diffusi.

Nei casi di studio sono stati individuati rispettivamente:

Alta pianura

16 habitat target funzionali che rappresentano le core areas di 71 specie vegetali di queste 1 di interesse prioritario (Habitat_All_II_Prior), 6 di Allegato II (Habitat_All_II), 4 di allegato IV, 5 incluse nelle liste della convenzione di Berna, 20 nella lista rossa nazionale e 23 in quella regionale.

Bassa Pianura

9 habitat target funzionali che rappresentano le core areas di 45 specie vegetali target di cui 3 di Allegato II (Habitat_All_II), 4 di allegato IV, 3 incluse nelle liste della convenzione di Berna, 17 nella lista rossa nazionale e 22 in quella regionale.

Paesaggio di pianura fortemente urbanizzato

14 habitat target funzionali che rappresentano le core areas di 107 specie vegetali di queste 1 di interesse prioritario (Habitat_All_II_Prior), 1 di Allegato II (Habitat_All_II), 2 di allegato IV, 2 incluse nelle liste della convenzione di Berna, 22 nella lista rossa nazionale e 53 in quella regionale.

Paesaggio prealpino

11 habitat target funzionali che rappresentano le core areas di 49 specie vegetali, di queste 1 inclusa nelle liste della convenzione di Berna, 4 nella lista rossa nazionale e 9 in quella regionale.

In allegato 1 (tabelle 1-8) si riportano le liste delle specie e degli habitat di gravitazione individuati.

specie animali

- a) comprese nella lista delle specie di allegato di Direttiva Habitat e normativa comunitaria,
- b) comprese nelle liste rosse nazionali e regionali,
- c) rarità, endemicità, vulnerabilità,
- d) livello di conoscenza autoecologico e sinecologico,
- e) disponibilità di dati,
- f) habitat fidelity,
- g) ridotta mobilità e basso potere di dispersione,
- h) suscettibilità alla frammentazione dell'habitat e rischio di isolamento genetico.

I gruppi tassonomici considerati sono vertebrati (anfibi e rettili) e invertebrati (artropodi).

Le specie sono state attribuite al/agli habitat di gravitazione mediante analisi di optimum ecologico indicati nella letteratura corrente; gli habitat così identificati sono stati assunti come habitat targetfunzionali, ossia con funzione di nodo della rete (core areas) nelle analisi successive.

Alta pianura

Nelle aree di studio sono state individuate: 10 specie animali target comprendenti 7 specie di vertebrati (*Rana latastei*, *Rana dalmatina*, *Bufo viridis*, *Triturus carnifex*, *Emys orbicularis*, *Zamenis longissimus*, *Bombina variegata*) e 3 specie di invertebrati (*Lucanus cervus*, *Coenonympha oedippus*, *Chesias angeri*).

Bassa Pianura

Nelle aree di studio sono state individuate: 10 specie animali target comprendenti 6 specie di vertebrati (*Rana latastei*, *Rana dalmatina*, *Triturus carnifex*, *Emys orbicularis*, *Zamenis longissimus*, *Bombina variegata*) e 4 specie di invertebrati (*Lucanus cervus*, *Coenonympha oedippus*, *Arytrura musculus*, *Carabus italicus*).

Paesaggio di pianura fortemente urbanizzato

Sono state individuate: 11 specie animali target comprendenti 7 specie di vertebrati (*Rana latastei*, *Rana dalmatina*, *Bufo viridis*, *Triturus carnifex*, *Emys orbicularis*, *Zamenis longissimus*, *Bombina variegata*) e 5 specie di invertebrati (*Lucanus cervus*, *Coenonympha oedippus*, *Zeuneriana marmorata*, *Carabus italicus*).

Paesaggio prealpino

Sono state individuate: 8 specie animali target comprendenti 5 specie di vertebrati (*Bombina variegata*, *Coronella austriaca*, *Lacerta viridis*, *Musccardinus avellanarius*, *Zamenis longissimus*) e 3 specie di invertebrati (*Parnassius apollo*, *Parnassius mnemosyne*, *Zygaena transalpina*).

In allegato 1 (tabelle9-12) sono riportate le liste delle specie considerate.

2.3 Fase 2- Definizione del costo di attraversamento della matrice per il calcolo della connettività funzionale delle specie e degli habitat

Per ogni specie ed habitat target sono definiti i valori di costo di diffusione (o attraversamento) attraverso la matrice ambientale. La fauna utilizza in modo diverso gli habitat a seconda delle esigenze ecologiche, mentre le specie e le comunità vegetali hanno una maggiore continuità nella distribuzione e nello scambio genico tra popolazioni a seconda delle affinità ecologiche con i diversi habitat. Quindi si assume che gli habitat siano percepiti come diversamente "permeabili" e possano essere attraversati con minore, o maggiore facilità dagli organismi stessi. Questa relazione è quantificata in termini relativi, attraverso la misura del "costo" che l'organismo deve sostenere per percorrerli e dalla distanza da coprire. Alla luce della scala di lavoro assunta (1:25.000) e dell'omogeneità delle caratteristiche fisiografiche dei paesaggi studiati (caratteristiche lito-geomorfologiche e strutturali) i valori di costo sono definiti sulla base dei seguenti criteri:

- a) indicazioni di letteratura da precedenti studi sulla connettività ambiente delle specie,
- b) dati distributivi delle specie,
- c) parere di esperto.

Il costo viene espresso in una scala che varia da 1 (valore minimo, corrispondente al costo associato agli habitat funzionali) a 100 (valore massimo). In considerazione delle diverse strategie di propagazione (disseminazione) e di movimento delle specie, si assume che elementi del paesaggio antropogenici quali infrastrutture viarie e zone urbanizzate non svolgano un ruolo di barriera invalicabile, tuttavia ad essi viene assegnato il valore massimo di costo di attraversamento (minima permeabilità). In particolare per le specie floristiche il costo di spostamento è valutato sulla base della permeabilità della matrice alla diffusione dell'intera comunità vegetale che rappresenta lo specifico habitat potenziale di gravitazione di riferimento.

I criteri utilizzati per il calcolo del costo da associare agli habitat della matrice sono:

specie vegetali:

- contatto dinamico (appartenenza alle diverse tappe della successione delle serie vegetazionali – Sigmato) (Rivas-Martinez, 2005; Blasi, 2010),
- contatto catenale, o ecologico (appartenenza allo stesso Geosigmeto) (Rivas-Martinez, 2005; Blasi, 2010),
- affinità floristiche,
- barriere biologiche.

In linea generale si considera che in una serie vegetazionale le diverse tappe della successione si susseguono in maniera progressiva e regressiva sulla base di un turnover delle specie che, a seconda delle condizioni ecologiche e di disturbo presenti, risultano avvantaggiate (comparsa) o svantaggiate (scomparsa).

Sono state ipotizzate diverse tappe riconducibili ad una serie tipo:

- 1) suolo nudo – facies agricola,
- 2) vegetazione erbacea pioniera,
- 3) vegetazione erbacea stabile (prato stabile, pascolo),
- 4) orli boschivi (vegetazione ad alte erbe dei margini boschivi),
- 5) mantelli (vegetazione arbustiva, alto arbustiva anche complessa),
- 6) boschi/foreste.

Si assume che più vicine sono due tappe della successione maggiore è il contatto ecologico e la commistione floristica. Ad esempio, a parità di serie vegetazionale (Sigmeto), la specie di un habitat appartenente alla tappa della vegetazione erbacea stabile potrà avere maggiori contatti ecologici e floristici con la tappa precedente della vegetazione erbacea pioniera e degli orli boschivi, rispetto alle tappe più distanti.

Per ogni habitat target viene indicato un grado di permeabilità agli habitat affini sulla base della distanza dalle reciproche tappe successionali. Il valore del costo di attraversamento è il reciproco della permeabilità.

Una sintesi esemplificativa del calcolo dei costi per la vegetazione è riportata in figura 5. Il costo è espresso in una scala da 1-100, dove 1 corrisponde al costo di valore minimo associato all'habitat target funzionale (nodo della rete) ed i restanti valori vengono assegnati come segue:

- 2-50 se l'habitat è all'interno dei contatti dinamici,
- 51-70 se l'habitat è all'interno delle affinità catenali e floristiche,
- 71-100 per gli habitat considerati barriere biologiche.

In allegato 1 (tabelle 13-16) si riportano i valori di costo calcolati per gli habitat delle quattro aree di studio.

Si specifica che nel caso di studio riguardante l'area prealpina, il calcolo dei costi di percorrenza ha incluso anche la variabile

- **Appartenenza allo stessa serie (sigmeto) o complesso di serie (geosigmeto) vegetazionale**
Punteggio 1-50
- **Affinità ecologica di habitat naturali o seminaturali di alter geo(serie) vegetazionali**
Punteggio 51-70
- **Importanza delle barriere ecologiche (habitat antropici)**
Punteggio 71-100

Es. aree agricole (seminativi)



Figura5: criteri di calcolo dei costi per la flora ed esempio di attribuzione dei punteggi su scala 1-100.

altitudine che nel contesto specifico, rappresenta un parametro guida per le formazioni prative secondarie al di sotto del limite degli alberi. Inoltre, negli strati informativi disponibili il dettaglio descrittivo delle categorie delle formazioni erbacee è risultato talvolta insufficiente per definire l'affinità ecologica di tali formazioni con la matrice ambientale circostante. In particolare la mancata distinzione tra prati aridi e mesofili non ha consentito l'attribuzione alla più probabile vegetazione potenziale di appartenenza. Per questi prati l'attribuzione alla formazione forestale potenziale è stata risolta ricorrendo all'individuazione della formazione predominante in un'area (buffer) circostante il poligono a prato di ampiezza pari a 150 m. L'assunto in questo caso è che il contesto di vegetazione forestale nell'intorno guidi l'affinità ecologica della formazione considerata.

Specie animali:

Per la fauna si è fatto riferimento alle esigenze ecologiche delle specie indicate in letteratura ed al parere del gruppo di esperti costituenti il gruppo di lavoro. Sulla base di queste esigenze i valori di costo sono stati assegnati in maniera crescente seguendo la seguente scala:

- habitat con funzione di core areas (habitat funzionale) per la specie (costo=1),
- habitat affini alla specie che possono fungere da stepping stone (costo<30),
- habitat seminaturali o artificiali con media permeabilità (tra 30 e 70),
- habitat a bassa o bassissima permeabilità (da 70 a 100).

In allegato 1 (tabelle 13-16) si riportano i valori di costo calcolati per le specie di fauna delle quattro aree di studio.

La successiva applicazione dei valori di costo ai corrispondenti poligoni della Carta degli habitat ha consentito di ottenere la Carta del costo di percorrenza per ogni singola specie o habitat studiato. Si specifica che per l'area montana delle Prealpi Giulie è stato necessario considerare il parametro altitudine per la lettura del territorio in relazione alle caratteristiche ecologiche delle specie faunistiche. Per ogni specie target è stata stabilita una quota altitudinale massima di potenziale presenza. Le zone poste a quote superiori a questo limite sono state escluse dai calcoli successivi in maniera da evitare l'individuazione di possibili percorsi per le specie a quote non compatibili con la loro presenza. Sono stati considerati i seguenti limiti altitudinali per le specie considerate:

1300 m s.l.m per *Lacerta viridis*;

1500 m s.l.m. per *Zamenis longissimus* e *Bombina variegata*;

1800 m s.l.m. per *Musccardinus avellanarius*;

2000 m s.l.m per *Coronella austriaca*.

2.4 Fase 3 - Calcolo della connettività funzionale e costruzione della rete ecologica per singola specie ed habitat target

2.4.1 Il modello spaziale della connettività

La connettività del mosaico ambientale è stata calcolata e cartografata mediante la costruzione di un modello matematico. L'elaborazione ha previsto la conversione in formato raster (risoluzione 10 x 10 m) della Carta di costo ottenuta come risultato della fase precedente e l'applicazione di algoritmi derivati dalla teoria dei grafi (Urban e Keitt, 2001, Galpern et al., 2011) per il calcolo dei percorsi di spostamento ecologicamente meno costosi per ogni singola specie. Tale calcolo tiene conto della distanza fisica tra gli habitat target funzionali, assunti come nodi della rete specie specifica e del costo degli habitat costituenti la matrice attraversata.

In matematica il grafo è una configurazione formata da un insieme di punti (nodi) e un insieme di linee (archi) che uniscono coppie di nodi che nel loro insieme possono rappresentare una specifica relazione. Il grafo di paesaggio, nel contesto della connettività ecologica, è un modello che rappresenta come si organizzano nello spazio gli elementi che si presume svolgano un ruolo funzionale nel movimento delle specie di interesse. Tale modello si compone di un insieme di nodi (habitat funzionali o core areas) e di collegamenti tra i nodi (corridoi ecologici). La sua costruzione prevede l'applicazione di alcuni criteri (Galpern et al., 2011) quali:

1) La direzione degli archi: i collegamenti possono essere orientati in una specifica direzione (senso unico) oppure non orientati (simmetrici o bidirezionali) a seconda del processo che si vuole rappresentare. Ad esempio, il primo caso può essere rappresentato da una dinamica di popolazione di tipo source-sink dove i flussi ecologici hanno un orientamento direzionato in uscita dalle patch di tipo source. Va detto che in termini generali nella maggior parte dei casi vengono utilizzati grafi costruiti sulla base di collegamenti non orientati.

2) La topologia: sta alla base della scelta tra un grafo completo, o un grafo planare. In un grafo completo, tutti i nodi vengono collegati indipendentemente dalla loro posizione; in un grafo planare solo i nodi più prossimi vengono collegati (figura 6). Quest'ultima opzione genera un modello molto più semplice della prima che risulta invece caratterizzata da molti collegamenti talvolta difficili da gestire soprattutto in paesaggi molto estesi, o in presenza di un elevato numero di nodi.

3) Il calcolo delle connessioni: le connessioni possono essere calcolate in funzione di valori che rappresentano il costo di movimento tra i nodi di riferimento. Questo costo può essere calcolato sulla base di diversi parametri quali ad esempio la durata del percorso, la spesa energetica sostenuta, o la difficoltà di movimento. L'opzione più semplice è quella di considerare il paesaggio come spazio binario (idoneo/non idoneo) dove la matrice è uniforme; in questo caso il costo di movimento viene espresso in unità metriche. Un'altra opzione è quella di utilizzare le distanze a costo minimo, derivate da valori di resistenza al movimento assegnati ai diversi habitat che compongono la matrice che quindi viene caratterizzata in termini di livelli di permeabilità diversi (da molto permeabile a barriera poco permeabile o impermeabile). Il calcolo delle distanze a costo minimo (least-cost distance) forniscono, in termini teorici, la migliore rappresentazione della risposta delle specie all'eterogeneità del paesaggio scegliendo la migliore combinazione distanza/costo di attraversamento del percorso. Ovviamente, la definizione dei valori di costo di attraversamento della matrice rappresenta un passaggio molto sensibile nella costruzione del modello.

4) La selezione delle connessioni: questo passaggio riguarda la selezione dei percorsi “migliori” rispetto al notevole numero di percorsi teorici identificati. In letteratura si rileva l'utilizzo di soglie di distanza limite (figura 6) calcolate in relazione all'autoecologia delle specie considerando ad esempio la distanza di dispersione, (Urban et al., 2009, Pinto and Keitt, 2009), oppure l'uso di funzioni che riflettono la probabilità di declino della dispersione con la distanza da percorrere (Urban and Keitt, 2001) ed altre funzioni statistiche (Foltête et al., 2012).

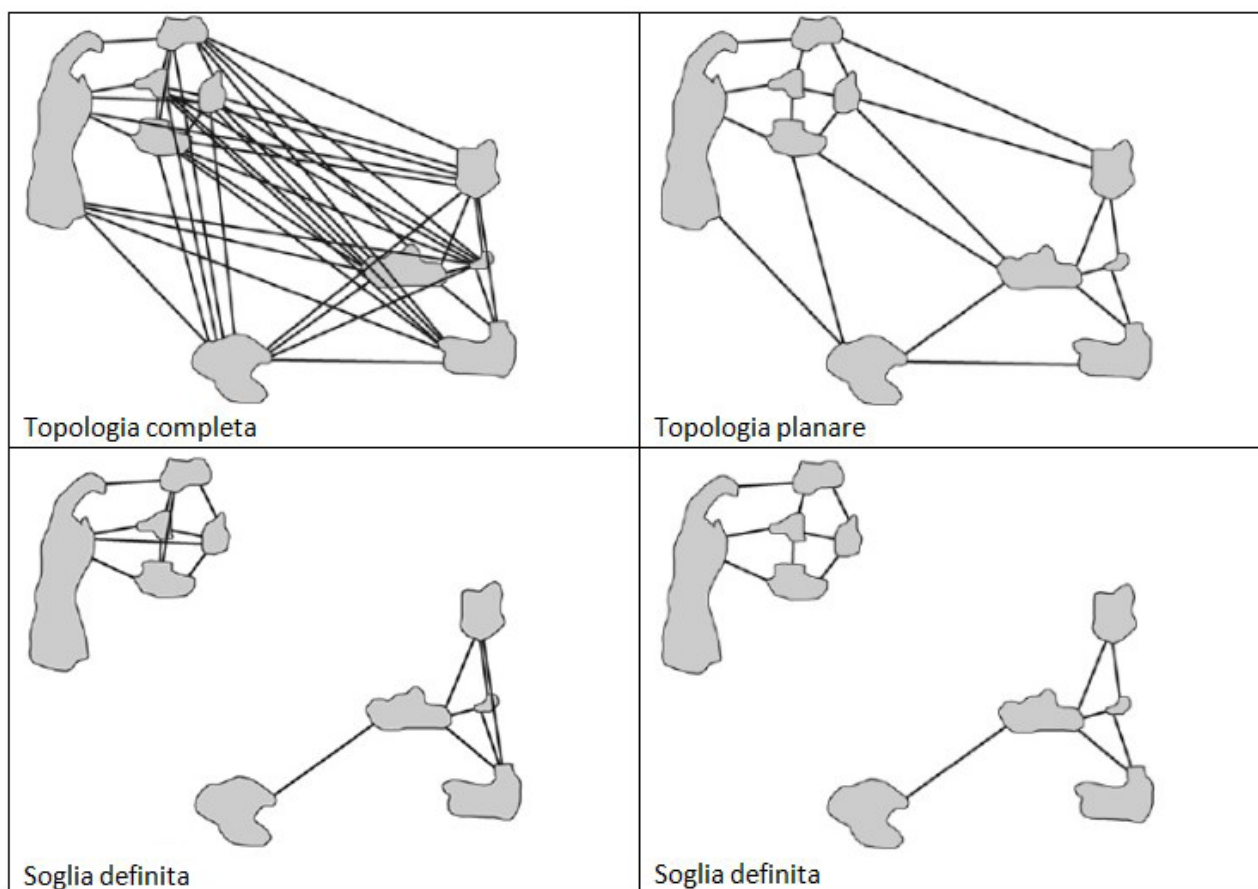


Figura 6: esempio del grafo ottenuto applicando i criteri della topologia completa e della topologia planare e di una soglia di distanza di spostamento (da Foltête et al. '2012' modificato).

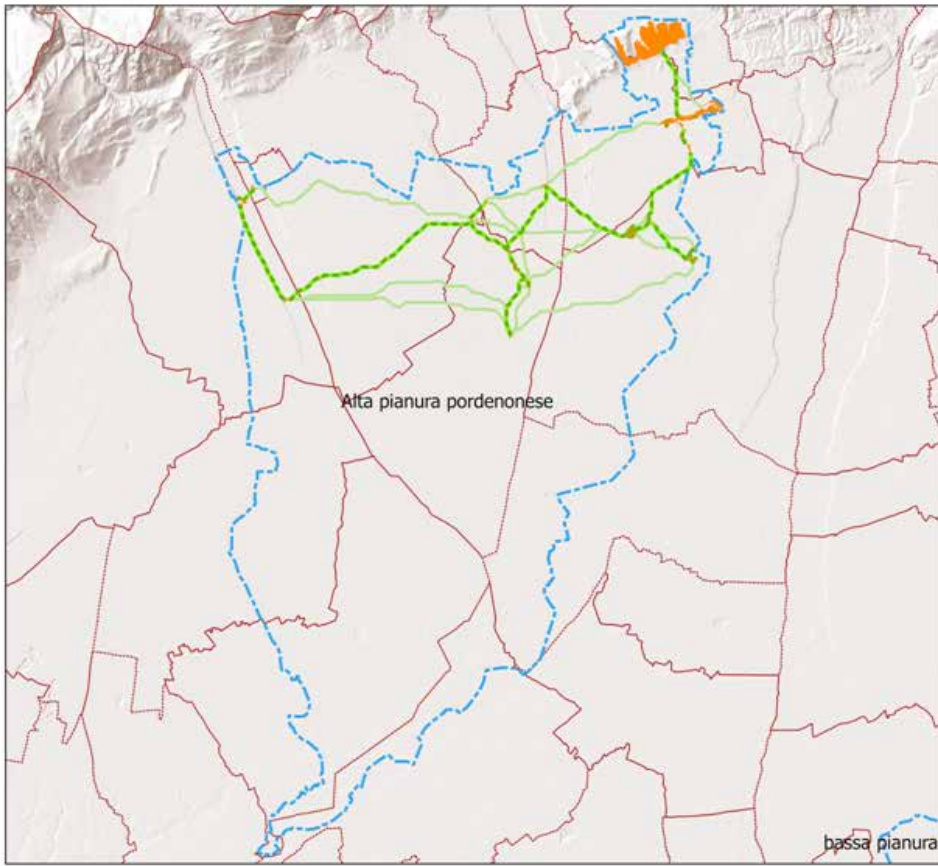
Nel caso di studio il modello spaziale della connettività è stato ottenuto applicando il software open source Graphab (<http://thema.univ-fcomte.fr/productions/graphab>) che consente di ottenere il grafo di paesaggio delle possibili connessioni tra i nodi della rete creando linee di collegamento sulla base di specifici criteri assegnati per il calcolo.

Tali criteri sono:

- collegamenti non orientati;
- grafo a topologia planare;
- calcolo delle distanze a costo minimo calcolati sulla base dei costi di attraversamento della matrice definiti in fase 2 (capitolo 2.3);
- selezione dei collegamenti sulla base della funzione di ottimizzazione Minimum Spanning Tree (Clauzel et al, 2016). Questa consente di connettere le patch considerando i percorsi precedentemente calcolati che nel complesso assumono il minimo costo totale. In questo modo vengono identificate le vie preferenziali di spostamento (ossia le più convenienti) nominate linee di connessione funzionali. Non sono state applicate soglie di distanza minima per poter ottenere lo scenario di connettività potenziale massima per il paesaggio considerato.

2.4.2 La rete ecologica specie specifica

L'unione mediante overlay degli habitat funzionali e delle linee di connessione funzionali ottenute (figura 7,8) consentono di elaborare le carte della rete ecologica locale per la singola specie (fauna) e per il singolo habitat di riferimento (flora).

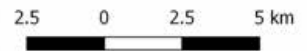


Rete Ecologica Locale

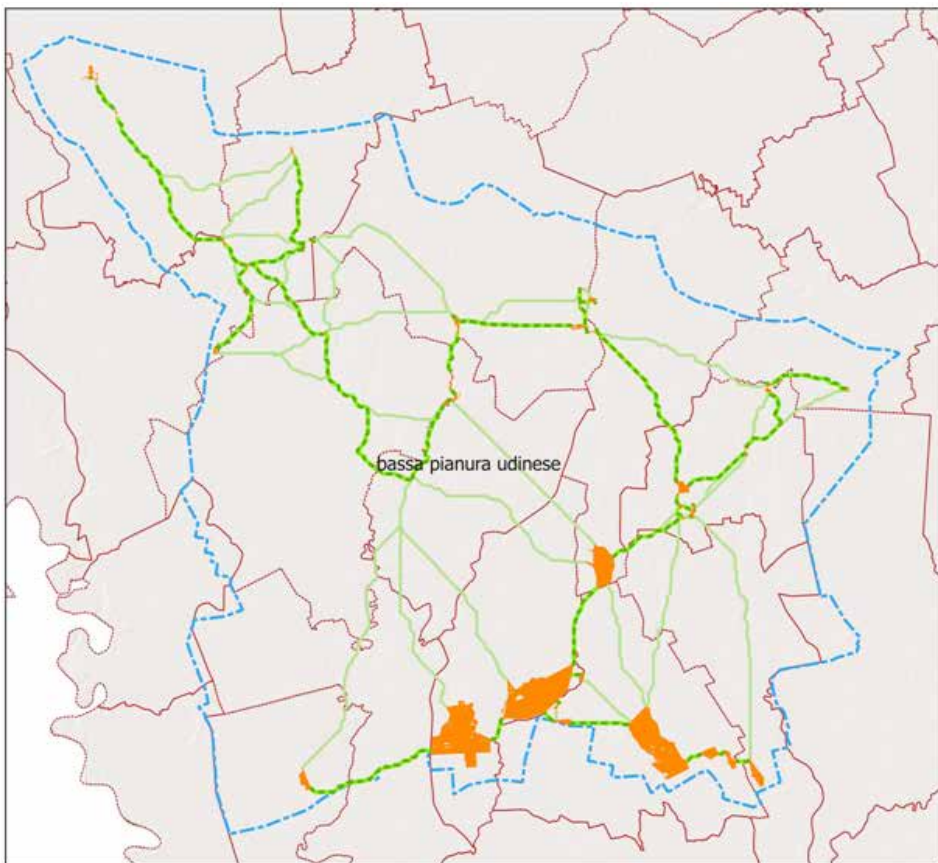
Lucanus cervus

Legenda

- Area di studio
- Habitat funzionali
- Connessioni funzionali
- Connessioni



A



Rete Ecologica Locale

Lucanus cervus

Legenda

- Area di studio
- Habitat funzionali
- Connessioni funzionali
- Connessioni



B

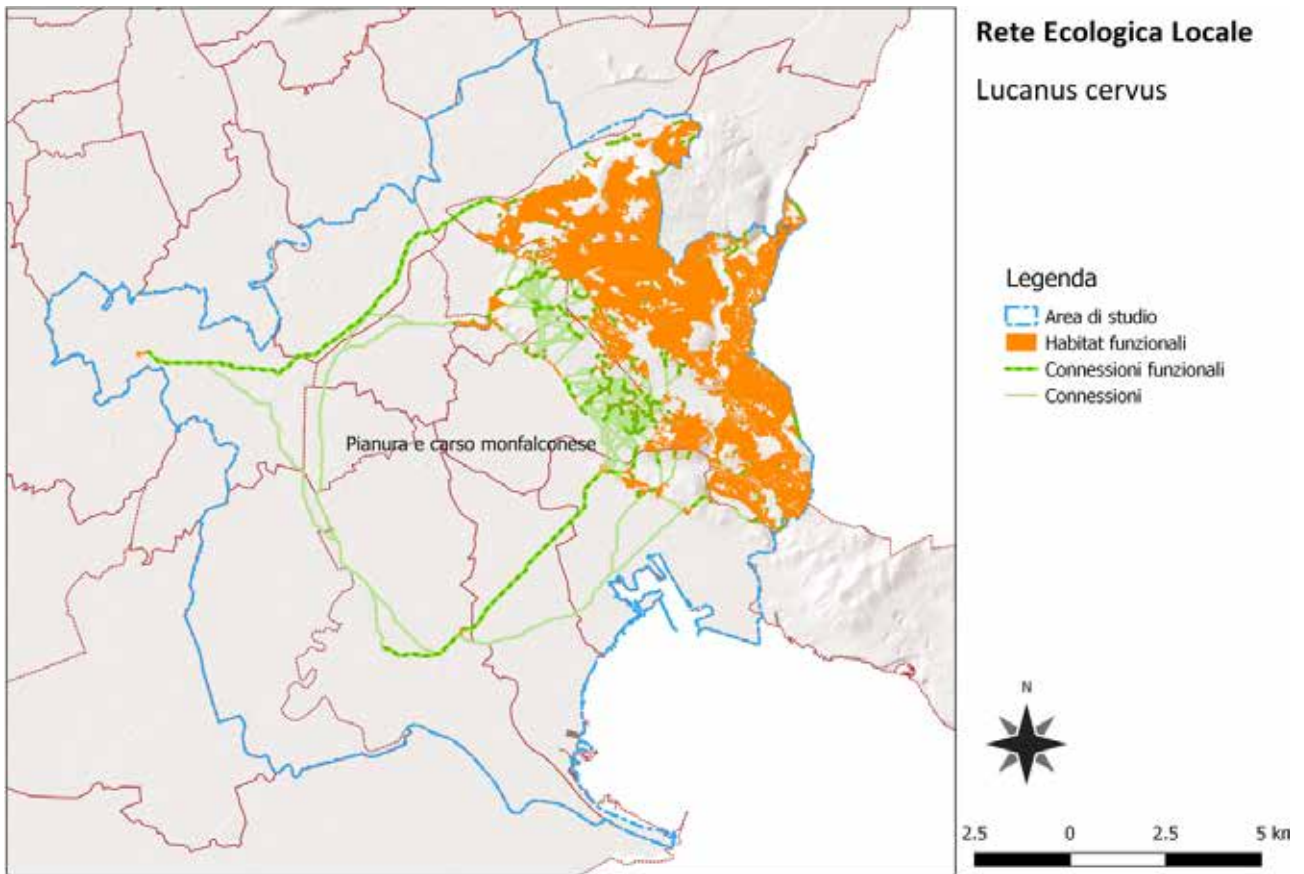
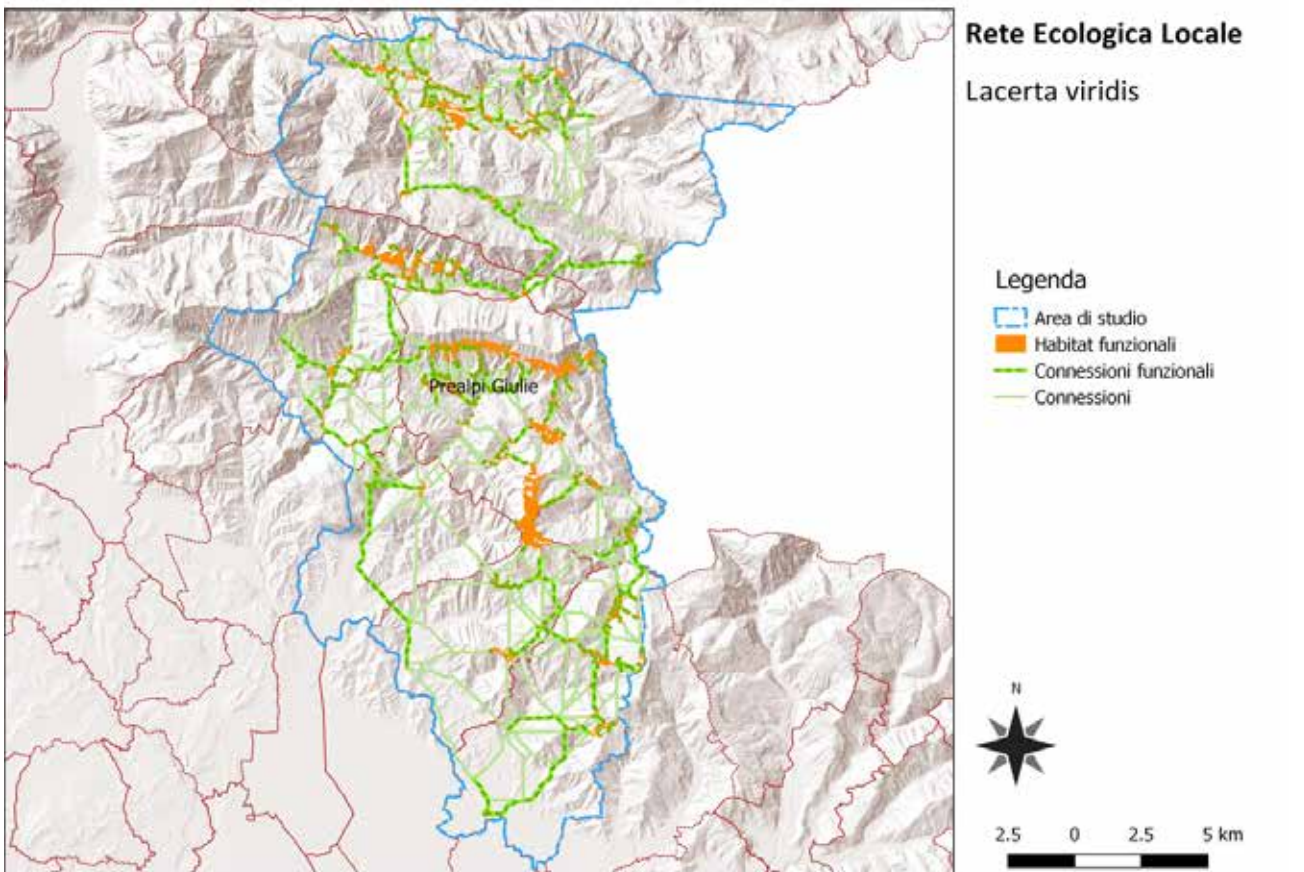
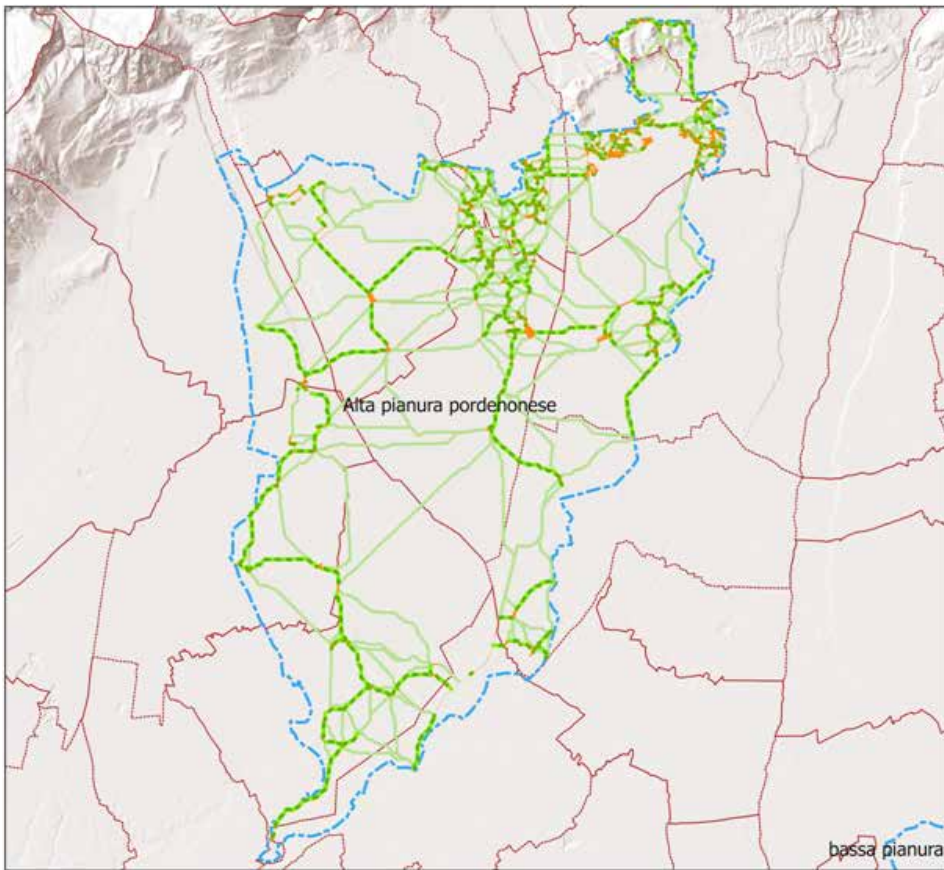


Figura 7: carta della rete ecologica specie specifica (connessioni e habitat funzionali) per le specie *Lucanus cervus* nel paesaggio di Alta pianura (A), Bassa Pianura (B) e nel paesaggio fortemente urbanizzato (C) e di *Lacerta viridis* nelle Prealpi (D)

C

D



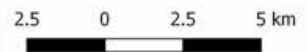


Rete Ecologica Locale

PM1 Prati da sfalcio
dominati da
Arrhenatherum elatius

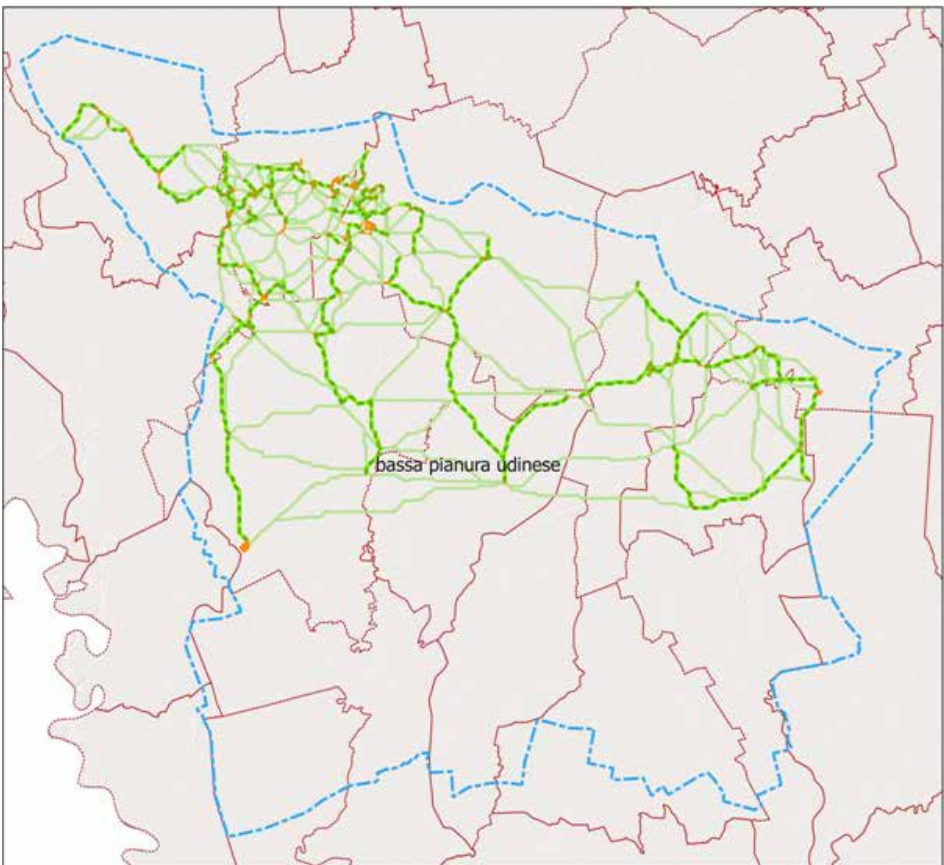
Legenda

- Area di studio
- Habitat funzionali
- Connessioni funzionali
- Connessioni



A

B

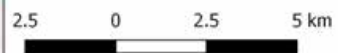


Rete Ecologica Locale

PM1 Prati da sfalcio
dominati da
Arrhenatherum elatius

Legenda

- Habitat funzionali
- Connessioni funzionali
- Connessioni
- Area di studio





Rete Ecologica Locale

PU - Praterie igrofile planiziali-collinari

Legenda

- Area di studio
- Habitat funzionali
- Connessioni funzionali
- Connessioni

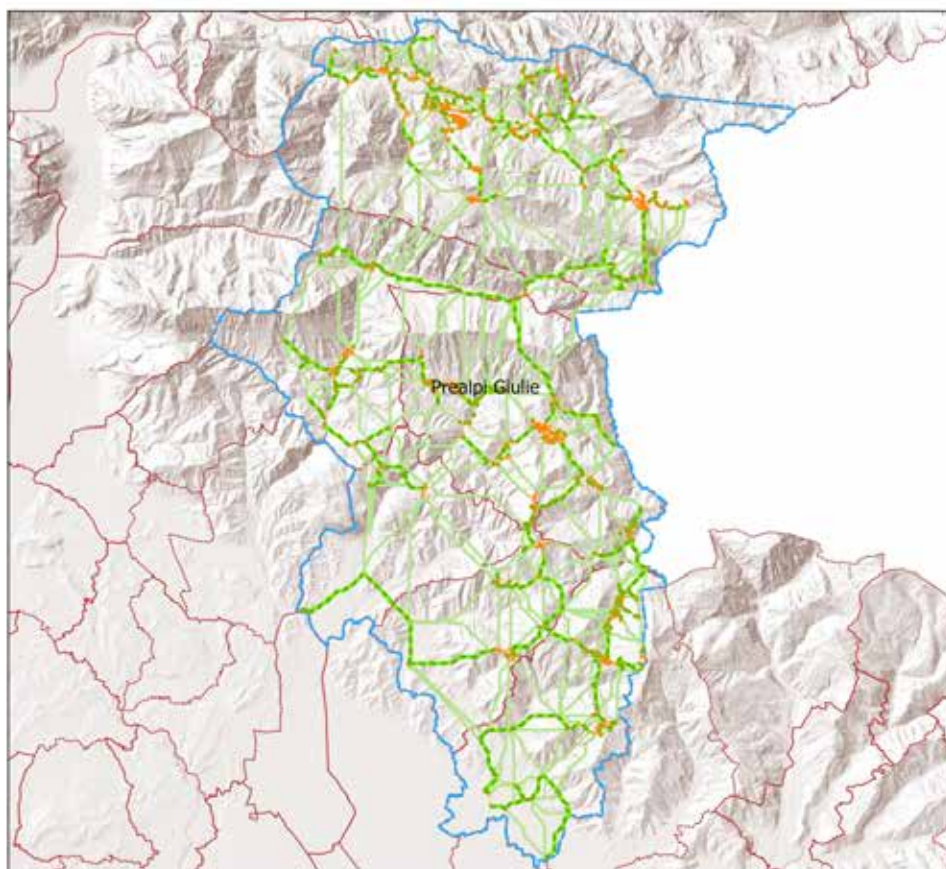


2.5 0 2.5 5 km

C

D

Figura 8: cartografie tematiche relative alla rete ecologica specie specifica (connessioni e habitat funzionali) per gli habitat target dei prati igrofili (PU) e prati da sfalco dominati da *Arrhenatherum elatius* (PM1). Esempi per il paesaggio di Alpa Pianura (A), di Bassa Pianura (B), il paesaggio fortemente urbanizzato (C) e delle Prealpi (D).



Rete Ecologica Locale

PM1 Prati da sfalco dominati da *Arrhenatherum elatius*

Legenda

- Area di studio
- Habitat funzionali
- Connessioni funzionali
- Connessioni



2.5 0 2.5 5 km

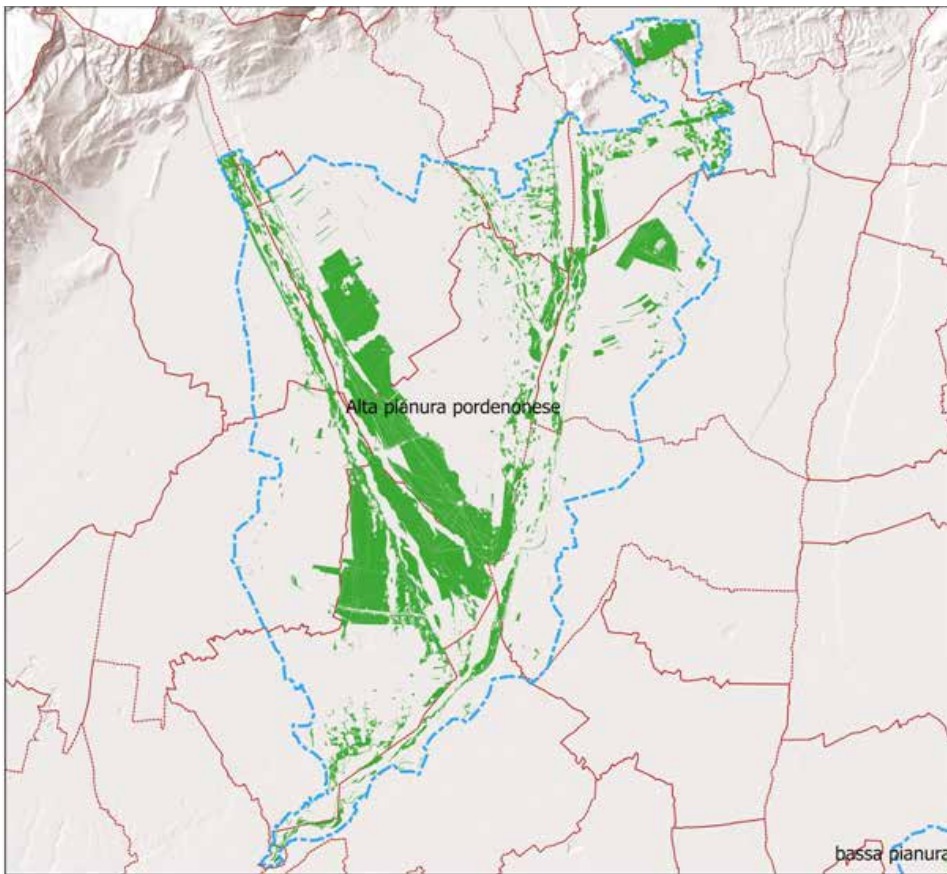
2.4.3 Le linee di connettività discontinue (tepping stones)

Per ognuna delle reti calcolate per le singole specie ed habitat target vengono individuate le aree con caratteristiche adatte alla funzione ecologica di stepping stones, ossia habitat o insiemi di habitat con caratteristiche di idoneità per la specie ma dislocate in maniera discontinua, o isolate rispetto ai nodi della rete. I criteri adottati sono:

- individuazione per ogni specie/habitat target, degli habitat che nella matrice possono svolgere la funzione di stepping stones (costo di attraversamento < 30),
- selezione dell'habitat individuato solo se attraversato da almeno una linea di connessione funzionale.

2.5 Fase 4 - Costruzione della REL (core areas, corridoi ecologici, buffer zones)

Gli strati tematici relativi agli habitat funzionali ed alle connessioni funzionali ottenuti per ogni singola specie/habitat vengono sovrapposti mediante procedura di overlay, ottenendo il quadro complessivo degli elementi della REL potenziale presente nelle quattro aree di studio (figura 9, 10).



Rete Ecologica Locale

Alta pianura pordenonese

Legenda

- Area di studio
- Habitat funzionali

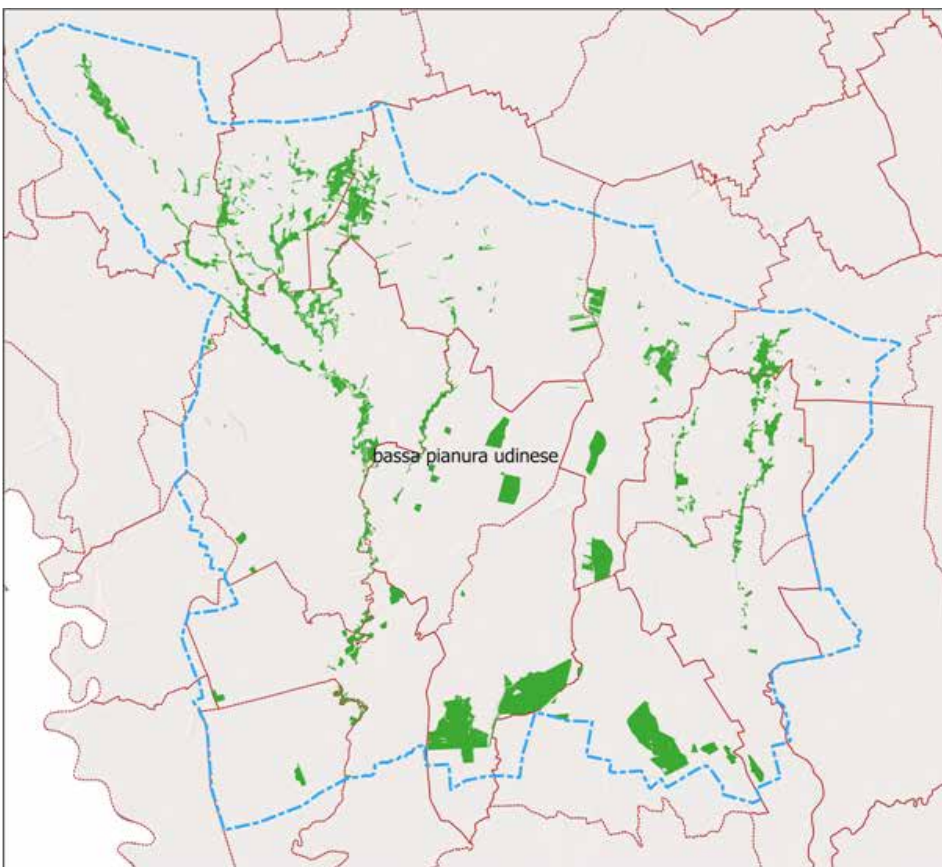


2.5 0 2.5 5 km



A

B



Rete Ecologica Locale

Bassa pianura udinese

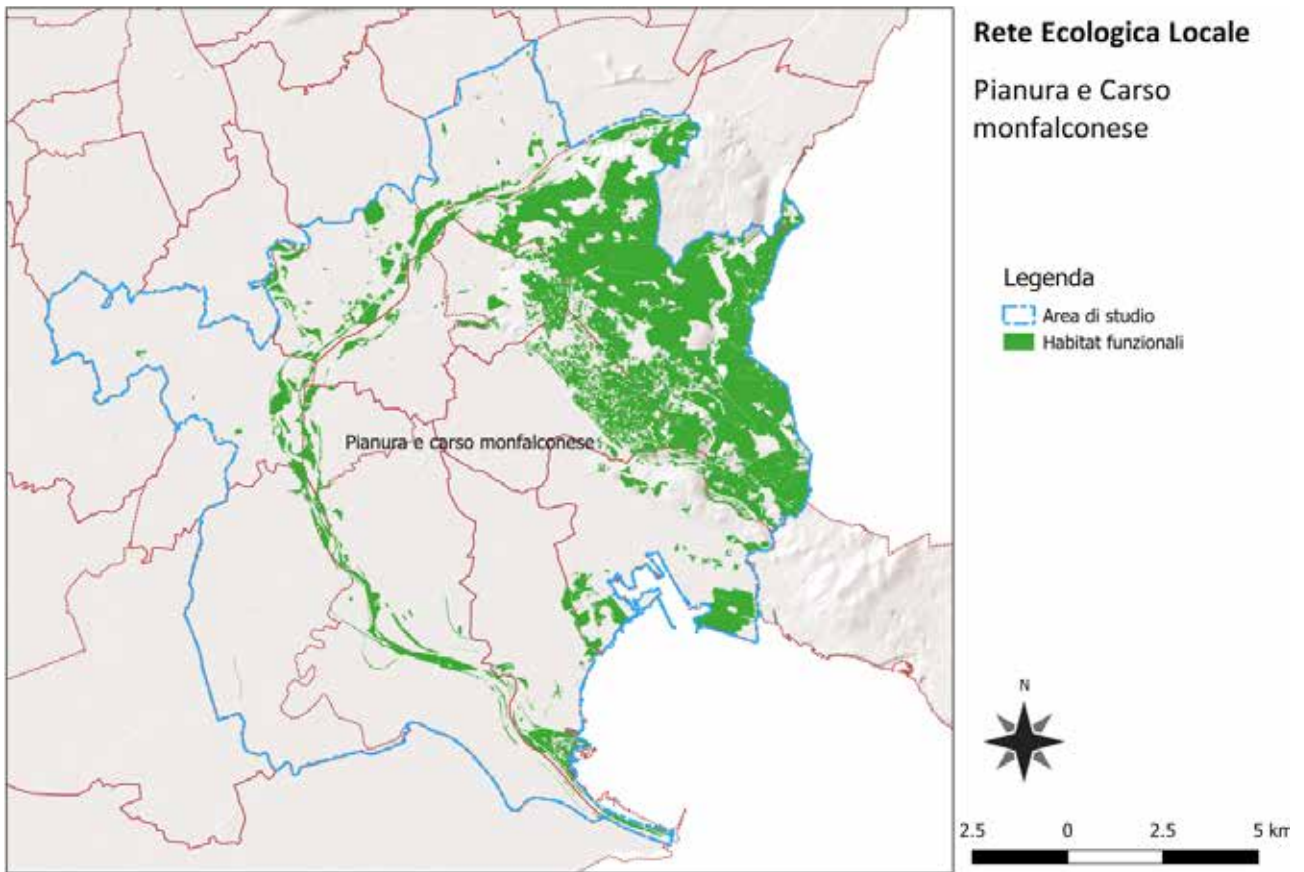
Legenda

- Area di studio
- Habitat funzionali



2.5 0 2.5 5 km

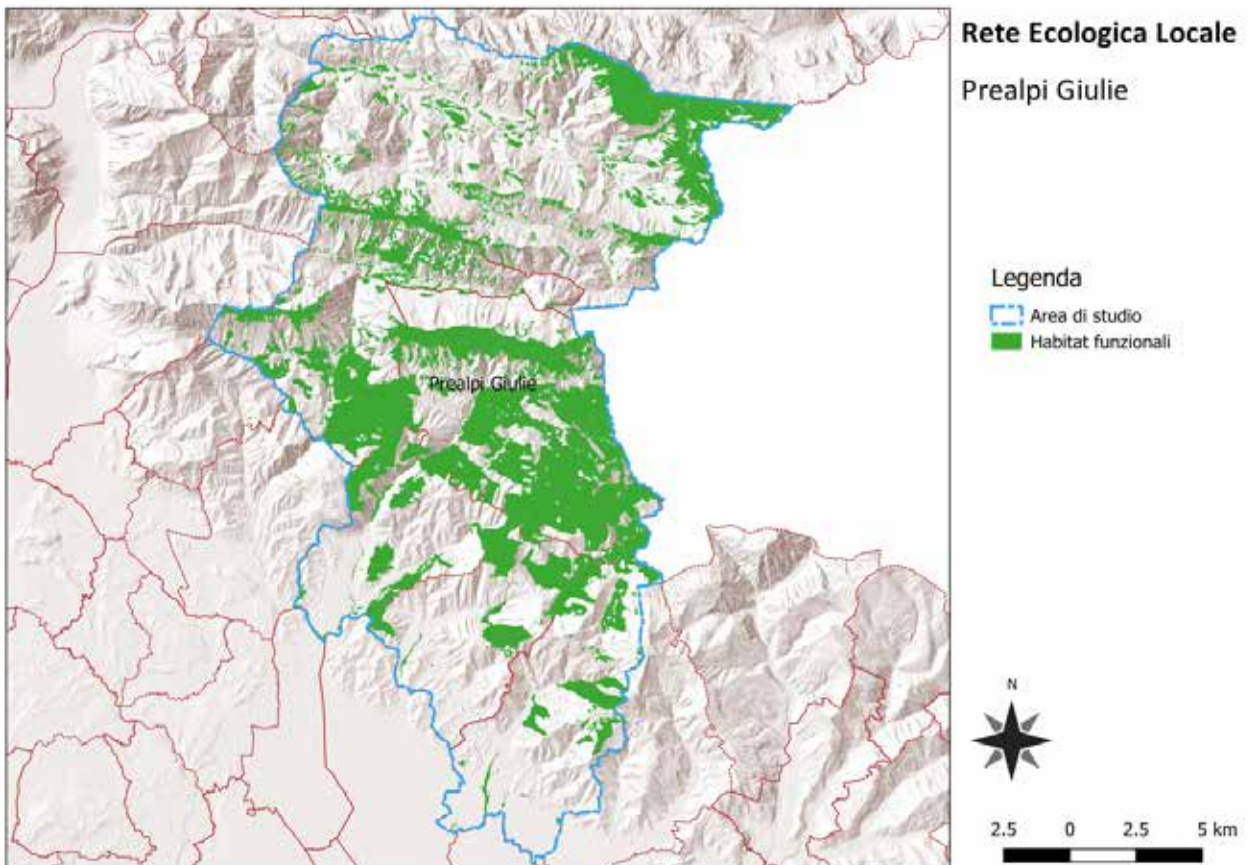


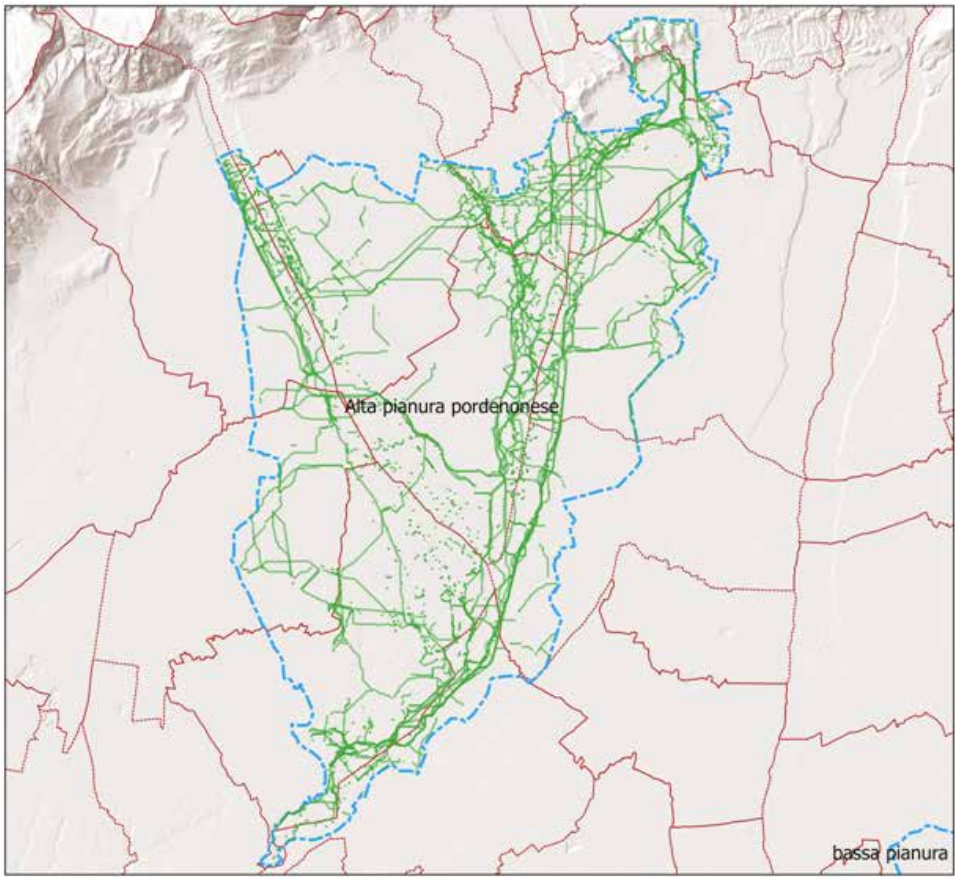


C

Figura 9: quadro complessivo degli habitat funzionali nel paesaggio paesaggio di Alpa Pianura (A), di Bassa Pianura (B), fortemente urbanizzato (C) e delle Prealpi (D).

D



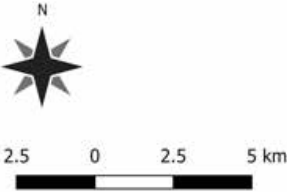


Rete Ecologica Locale

Alta pianura pordenonese

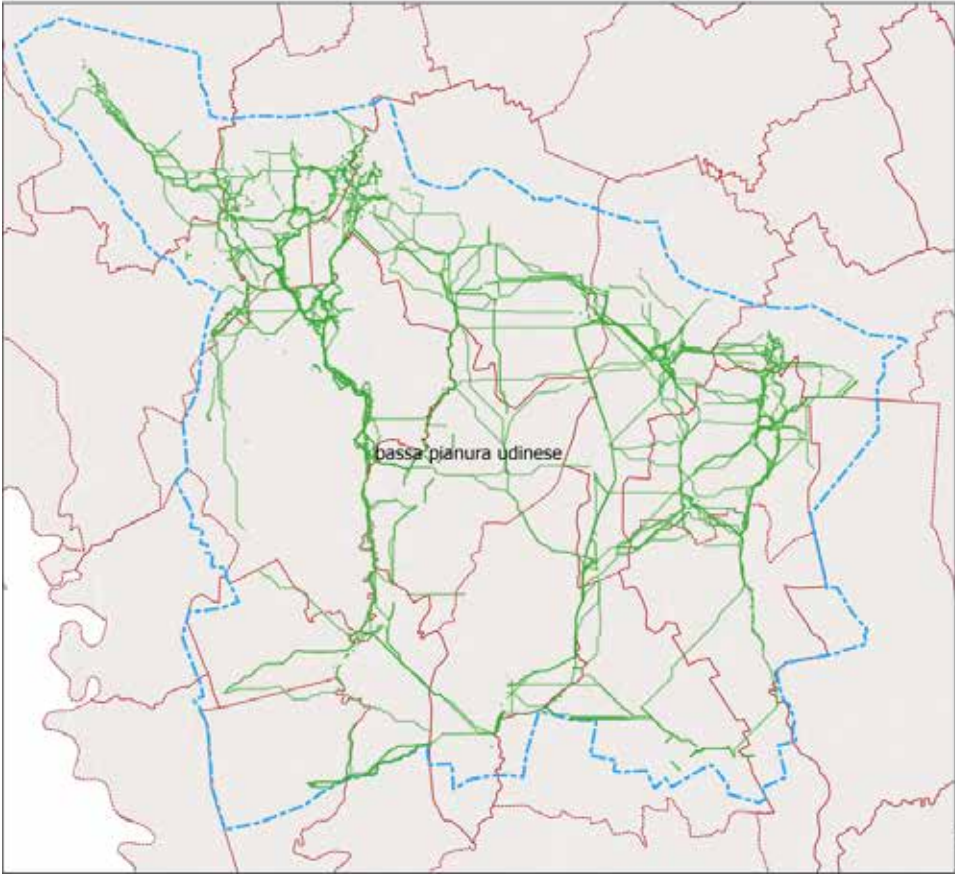
Legenda

- Area di studio
- Connessioni funzionali



A

B

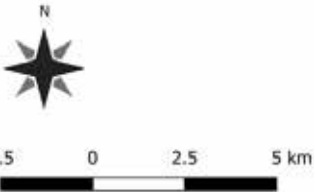


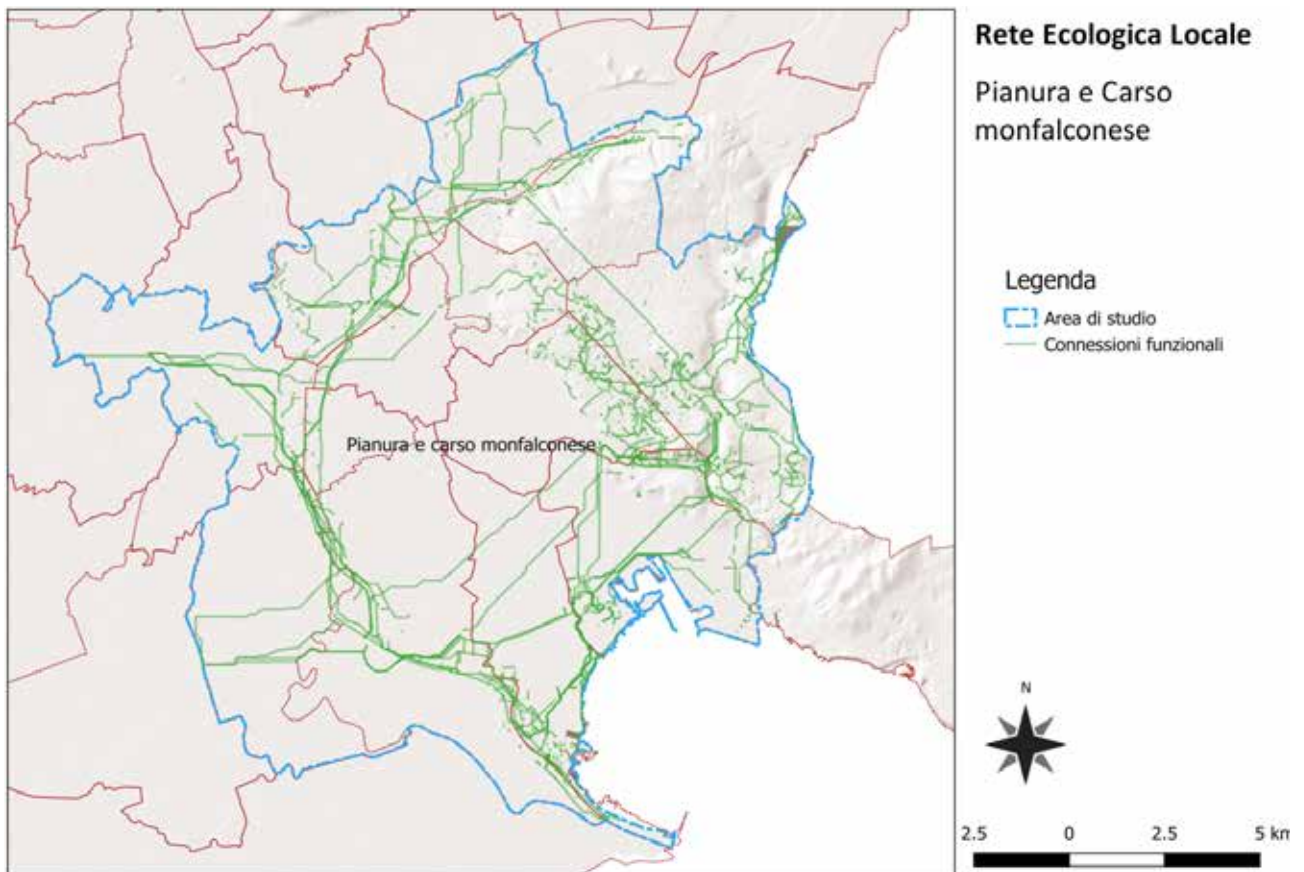
Rete Ecologica Locale

Bassa pianura udinese

Legenda

- Area di studio
- Connessioni funzionali

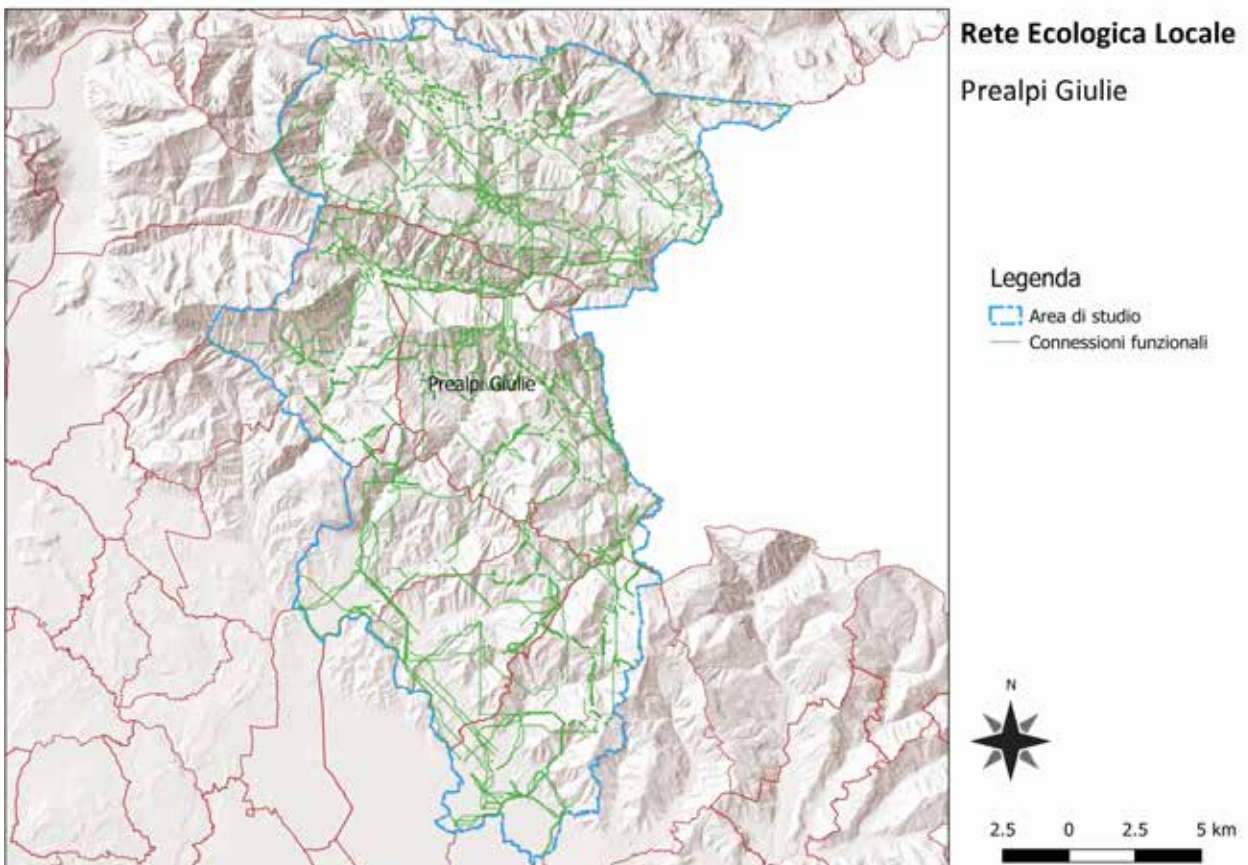




C

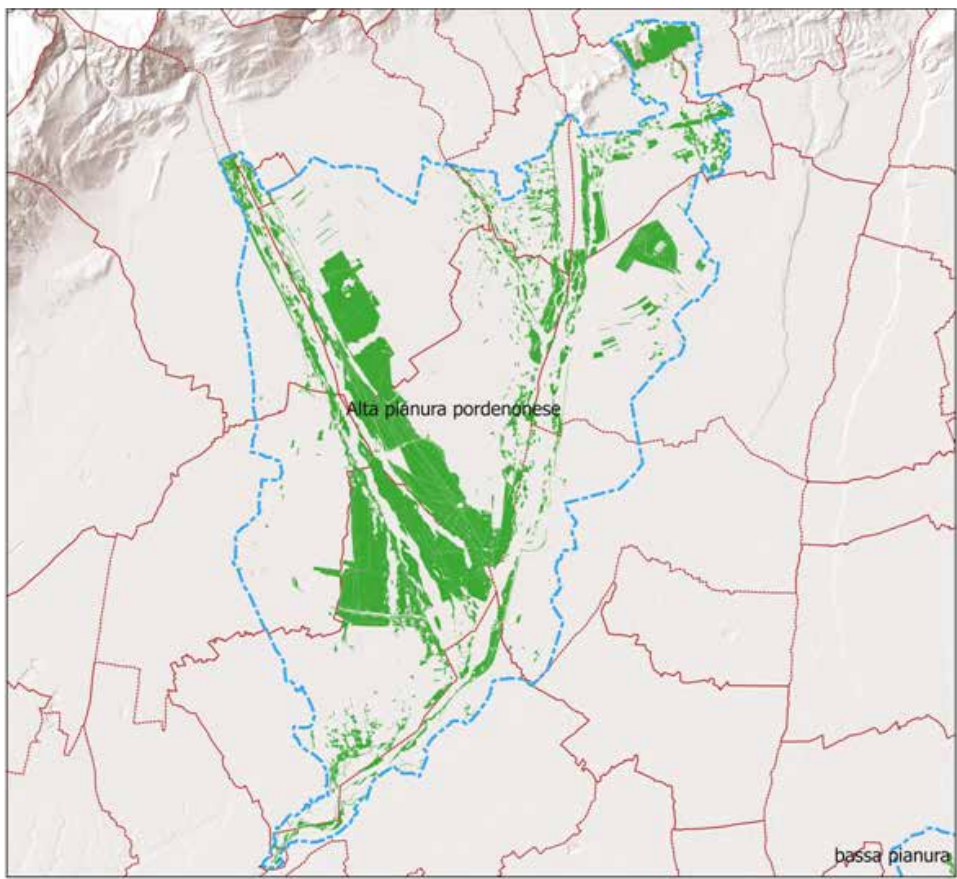
Figura 10: quadro complessivo delle connessioni funzionali nel paesaggio di Alpa Pianura (A), di Bassa Pianura (B), fortemente urbanizzato (C) e delle Prealpi (D)

D



2.5.1 Nodi (core areas) della REL

Le core areas, o nodi, della rete ecologica locale sono ottenuti a partire dal quadro complessivo degli habitat target funzionali come sintesi dei singoli elementi identificati a livello di specie/habitat ottenute mediante procedure di *merge* (figura 11). La fusione di più layer vettoriali avviene in base alla posizione geografica; è conveniente lavorare con tabelle di attributo omogenee per i layers in ingresso per consentire l'aggiornamento della base di dati.

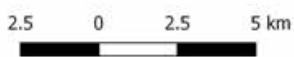


Rete Ecologica Locale

Alta pianura pordenonese

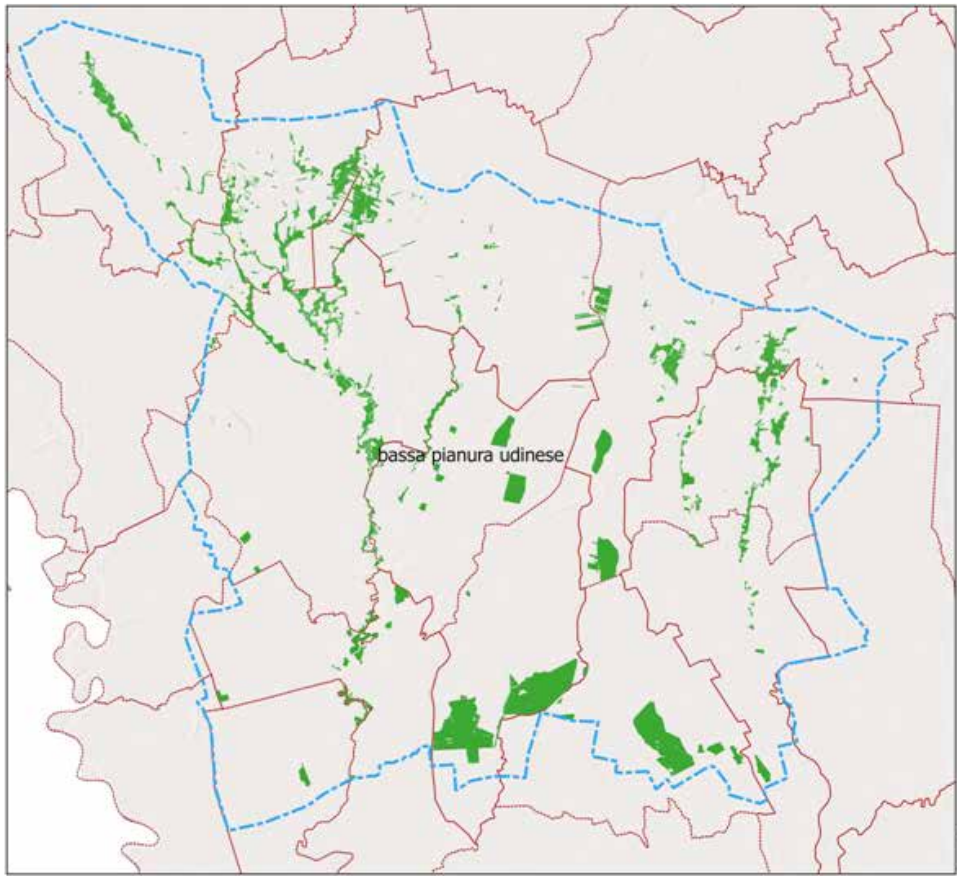
Legenda

- Area di studio
- Nodi



A

B

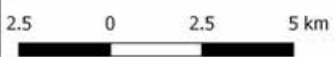


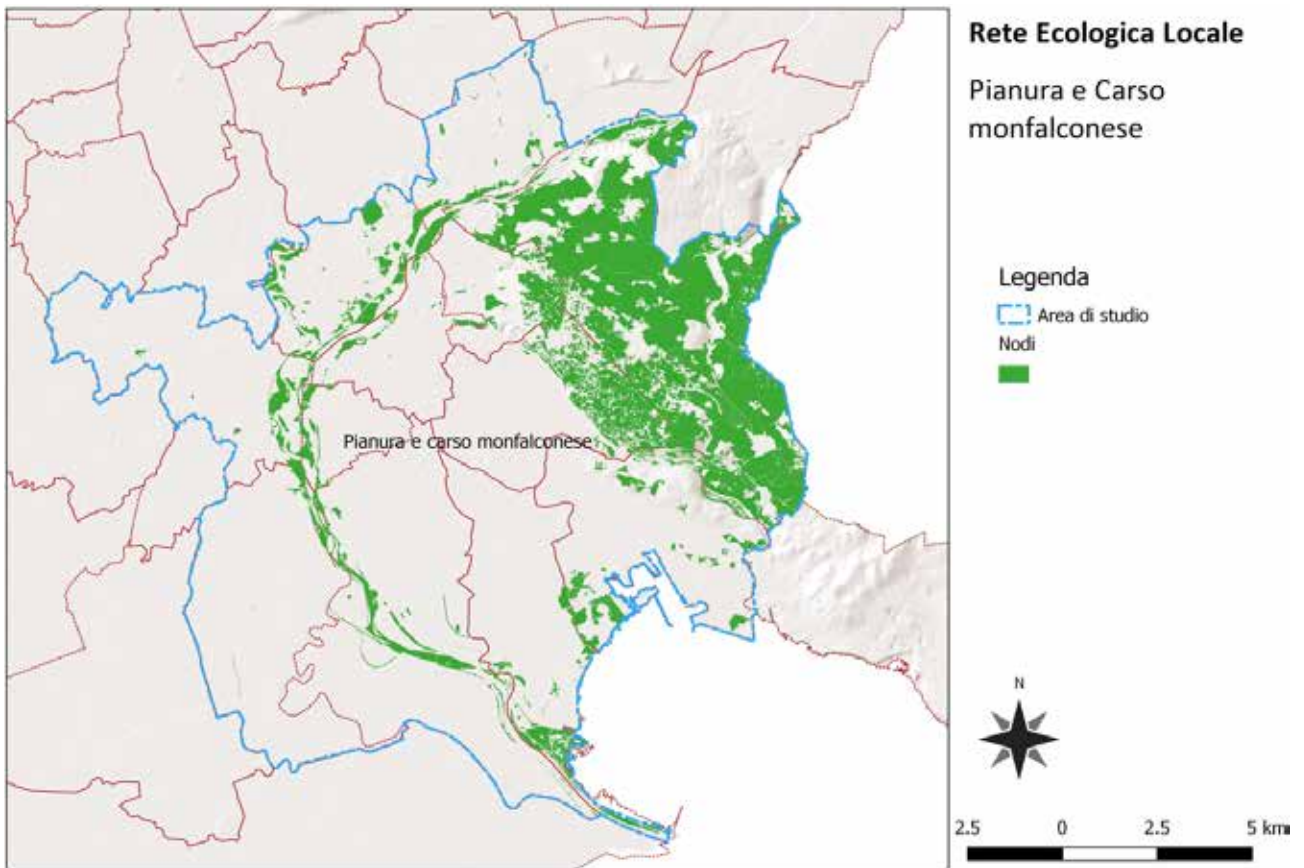
Rete Ecologica Locale

Bassa pianura udinese

Legenda

- Area di studio
- Nodi

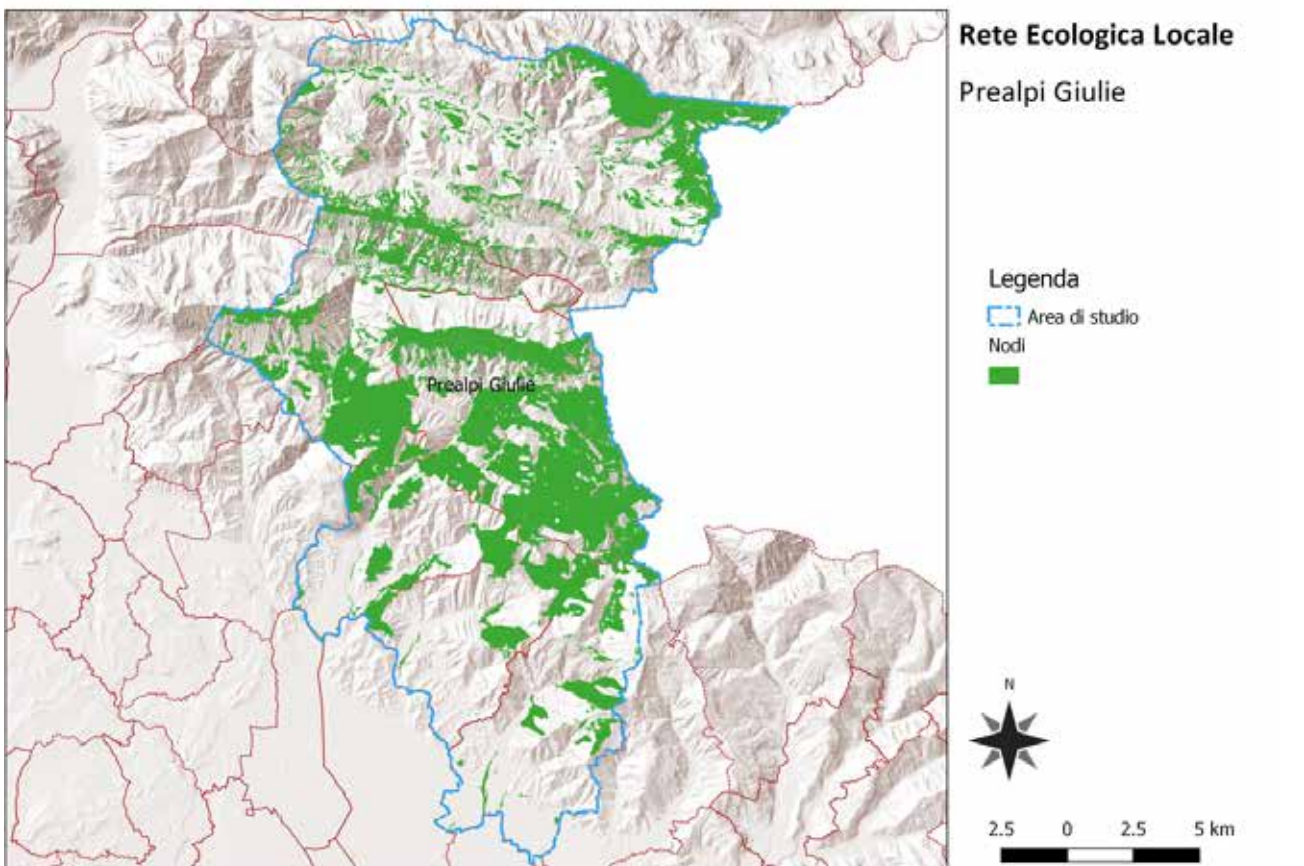




C

Figura 11: carta dei nodi (core areas) della REL dei paesaggi di Alta (A), Bassa Pianura (B), fortemente urbanizzato (C) e delle Prealpi (D).

D



2.5.2 Corridoi ecologici della REL

Corridoi continui

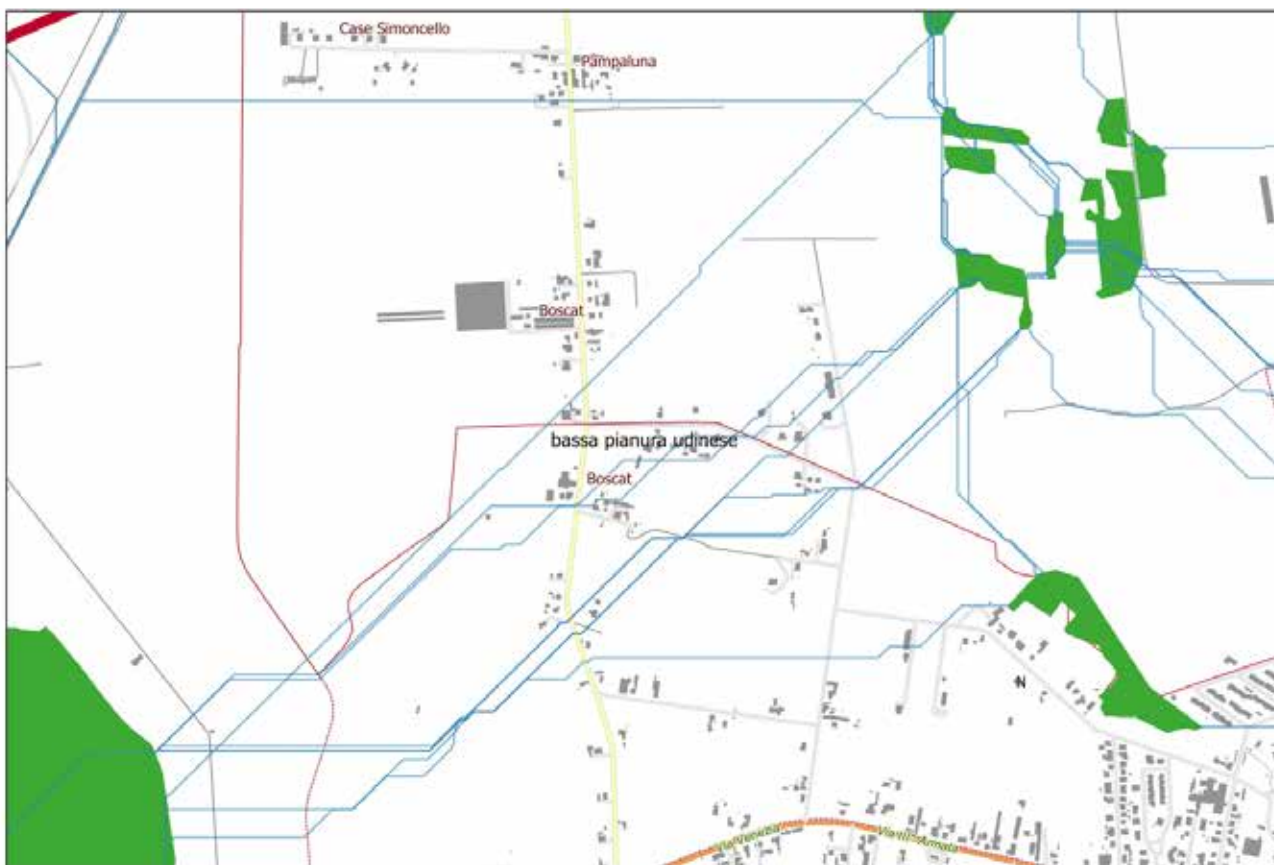
L'esigenza di ricondurre la fitta rete di connessioni (figura 10) derivata dal approccio multi-specie della rete ecologica alle maggiori direttrici di connettività ecologica è stata risolta attraverso la caratterizzazione del territorio in funzione della compresenza di linee di connessione a supporto di diverse specie. In tal modo si è inteso rispondere all'obiettivo stabilito per la REL di sostegno alla biodiversità ed alla definizione di corridoio ecologico assunta preliminarmente (capitolo 1).

Dal punto di vista tecnico la soluzione adottata ha previsto (figura 12a e 12 b):

- 1) la suddivisione dell'area di studio in aree di 2500 m² mediante una griglia di 50m x 50m e la sua sovrapposizione alla carta di sintesi delle connessioni funzionali del paesaggio (figura 12a)
- 2) il calcolo per ogni cella dell'Indice di sviluppo lineare (m), ottenuto come somma delle lunghezze delle linee di connessione funzionale (derivate dall'applicazione Minimum Spanning Tree) complessivamente presenti nella singola cella della griglia (figura 12a);
- 3) la classificazione delle celle in relazione al valore di Indice di sviluppo lineare rispettivamente maggiore e minore alla media calcolata per l'intera area di studio (figura 12b);
- 4) il calcolo di un buffer di 50 m, ottenendo una larghezza minima per i corridoi di 150 m. Tale ampiezza è stata ritenuta coerente con la scala di lavoro utilizzata (1:25.000) e la definizione di corridoio ecologico assunta in fase iniziale ed inteso come fascia di connettività, ossia come porzione di territorio privilegiata per la connessione di habitat, entro la quale definire in fase progettuale le attività di gestione ambientale necessarie (figura 12b).

In questo modo è possibile, da un lato superare il limite imposto dalla geometria strettamente lineare dei percorsi, derivata dalla scelta dello strumento dei grafi ottenendo degli elementi areali in linea con la definizione di corridoio ecologico assunta (APAT, 2003) e dall'altro, di ottenere la classificazione delle nuove direttrici di connettività in relazione alla densità delle connessioni supportata. In figura 12a e si riporta lo schema delle fasi seguite per il calcolo dei corridoi ecologici di tipo continuo.

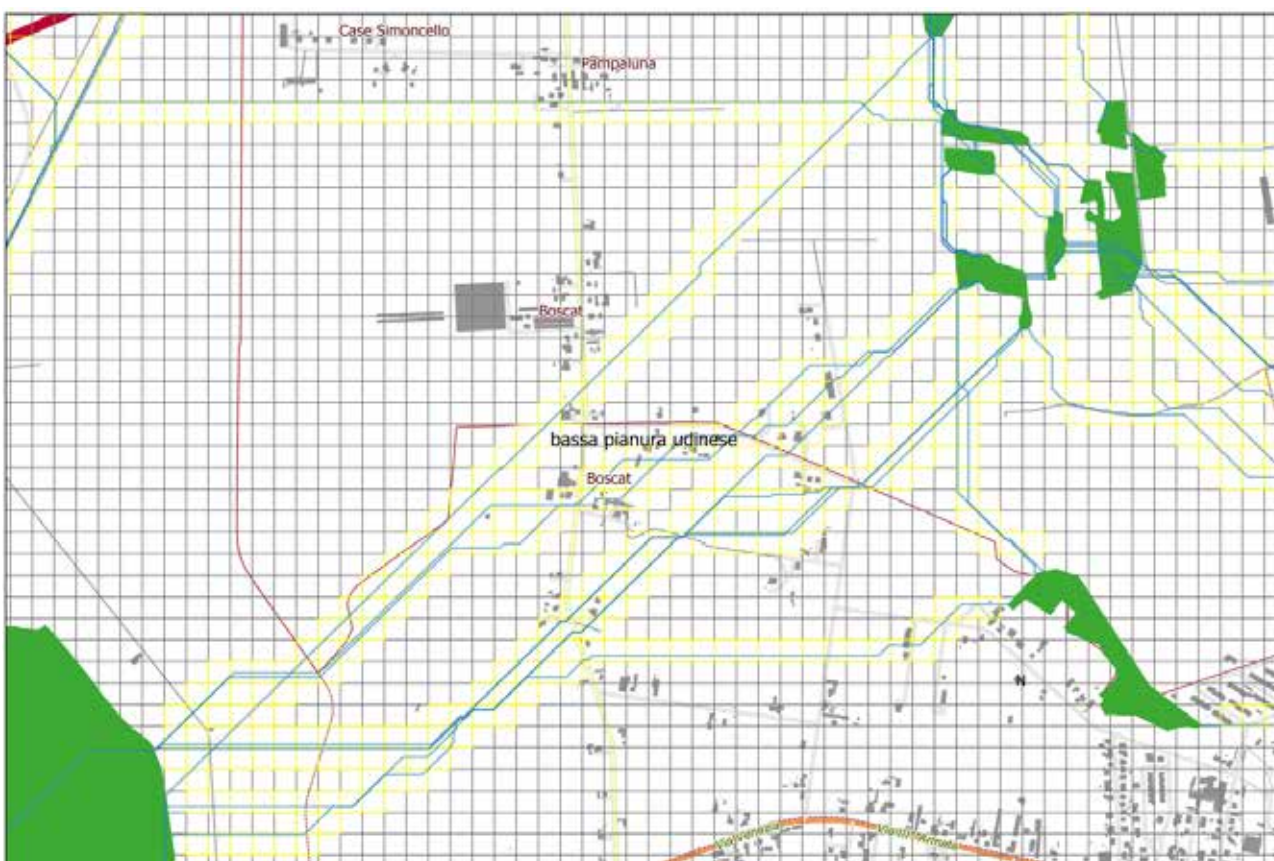
La classificazione dei corridoi ecologici si basa sull'indice di sviluppo lineare ed identifica due classi in base alla "densità" della linee di connessione in essi contenuta. I corridoi di livello I esprimono un Indice di sviluppo lineare superiore alla media dell'area, i corridoi di livello II sono associati a valori di indice inferiori a tale valore medio. La Carta dei corridoi ecologici continui è riportata in figura 13. Mediante operazioni di overlay dei nodi (core areas) alla carta dei corridoi ecologici continui, ottenuta con la procedura di cui sopra, sono state escluse le porzioni di direttrici di connettività collocate internamente alle core areas .

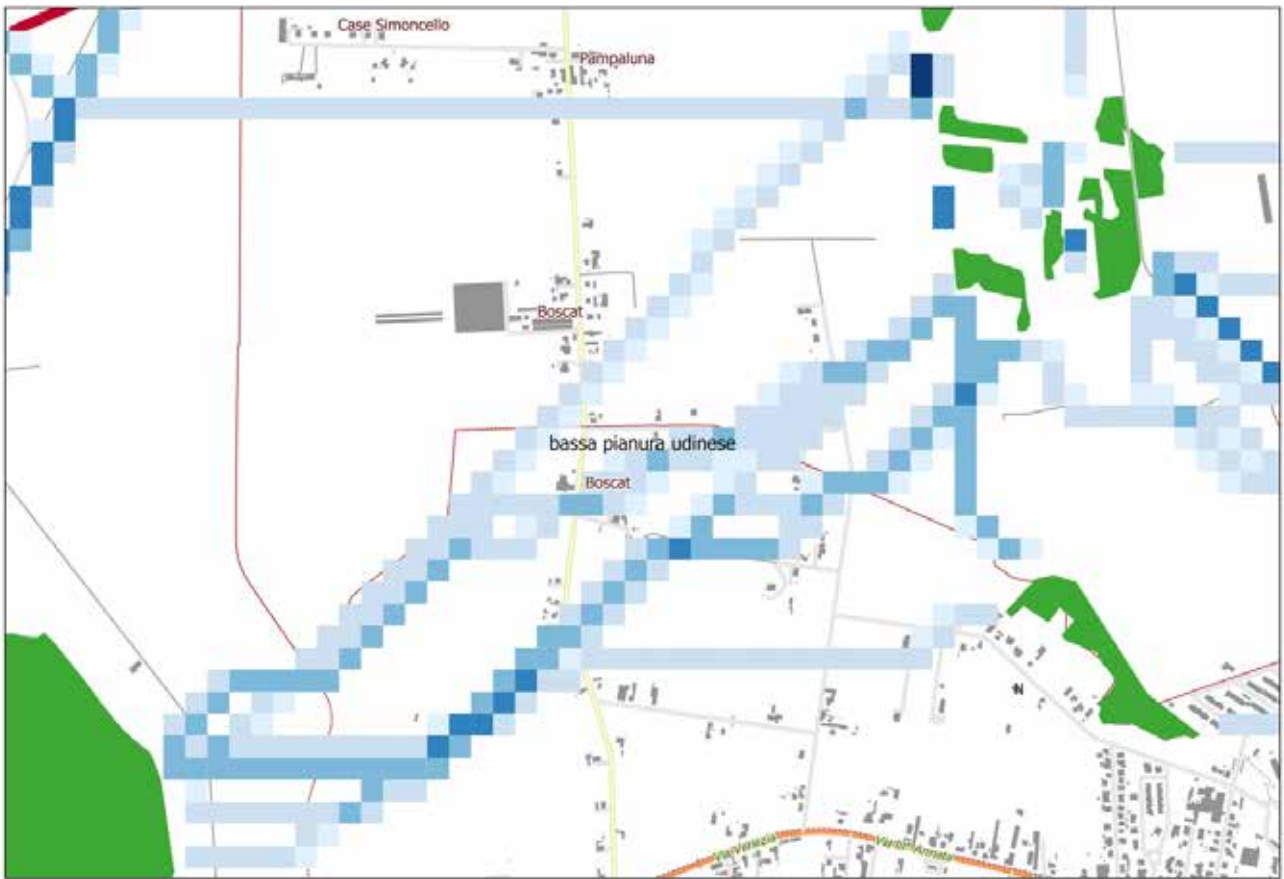


A

Figura 12a: fasi di calcolo dei corridoi. (A) sovrapposizione di una griglia di 50 x 50 m alla carta di sintesi delle connessioni funzionali (B) calcolo dell'Indice di sviluppo lineare delle connessioni (somma delle lunghezze lineari entro la cella)

B

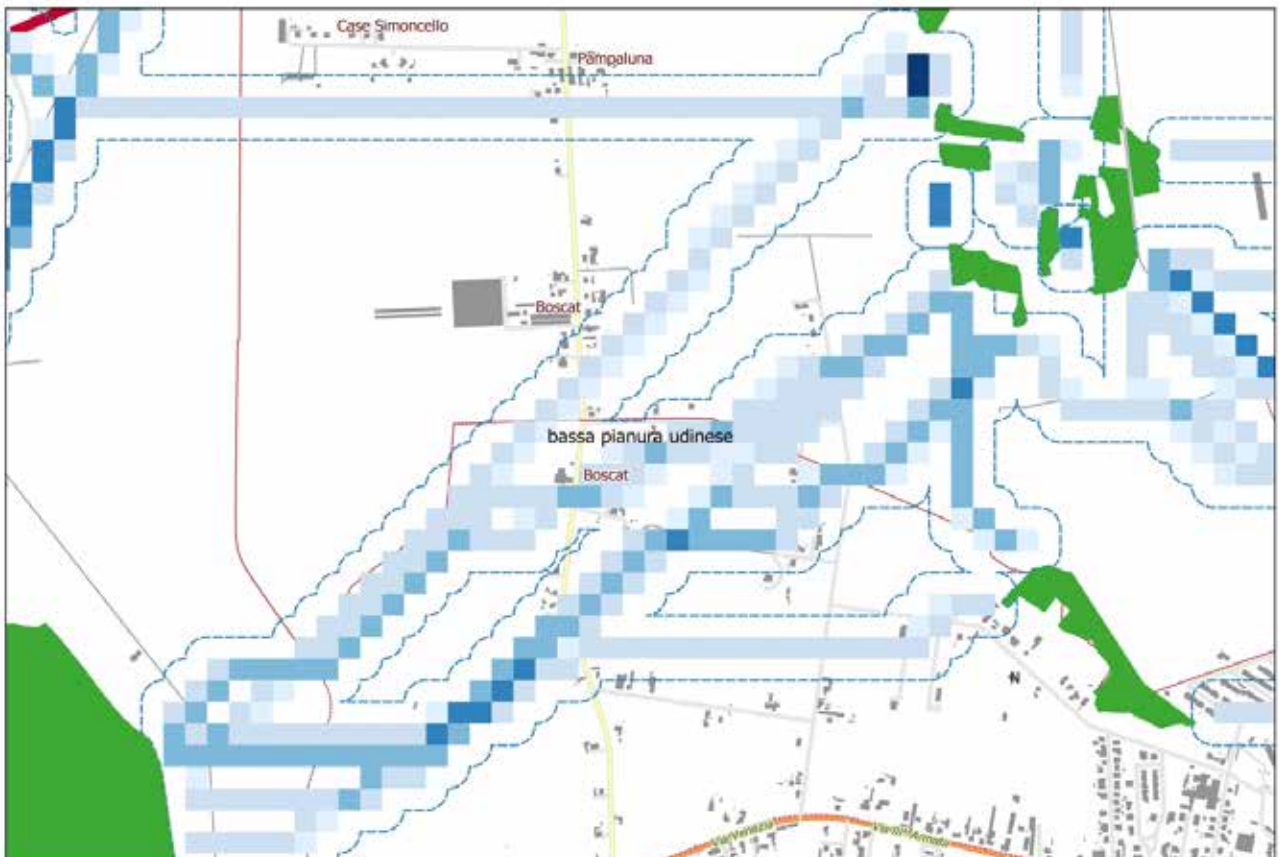


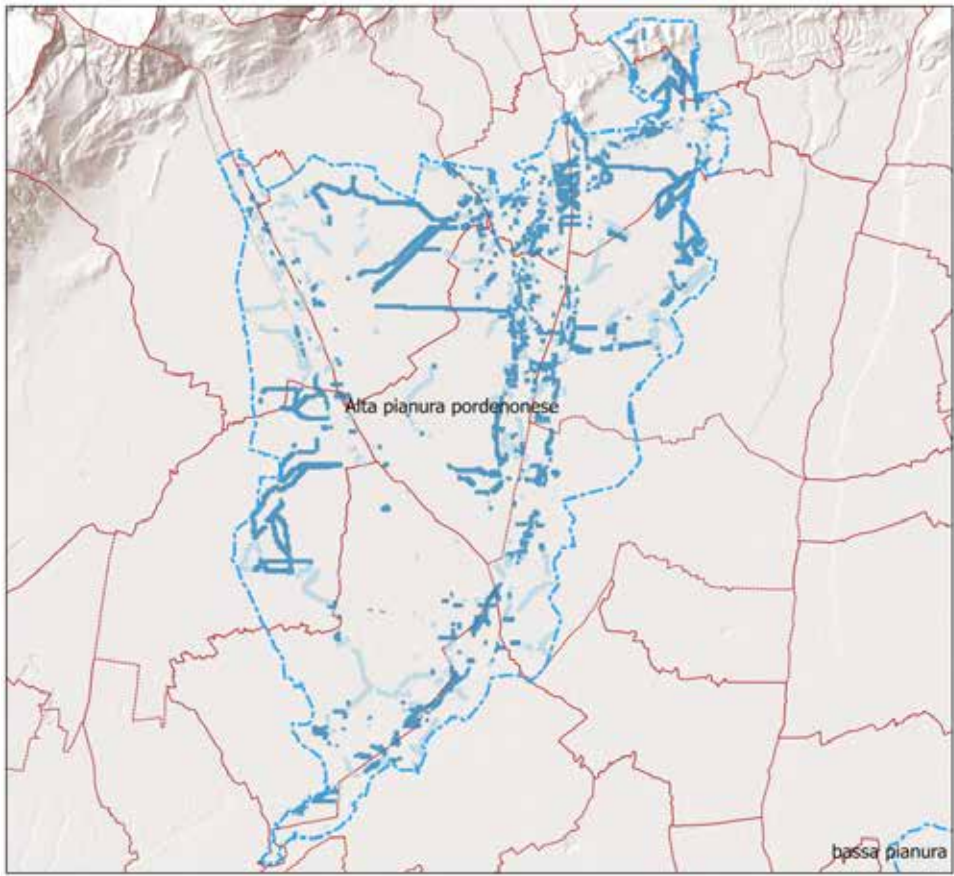


C

Figura12b: fasi di calcolo dei corridoi. (C) selezione delle celle con valore di indice rispettivamente maggiore e minore alla media calcolata per l'intera area di studio, calcolo di un buffer di 50 m (D).

D



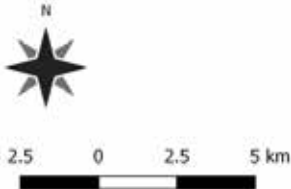


Rete Ecologica Locale

Alta pianura pordenonese

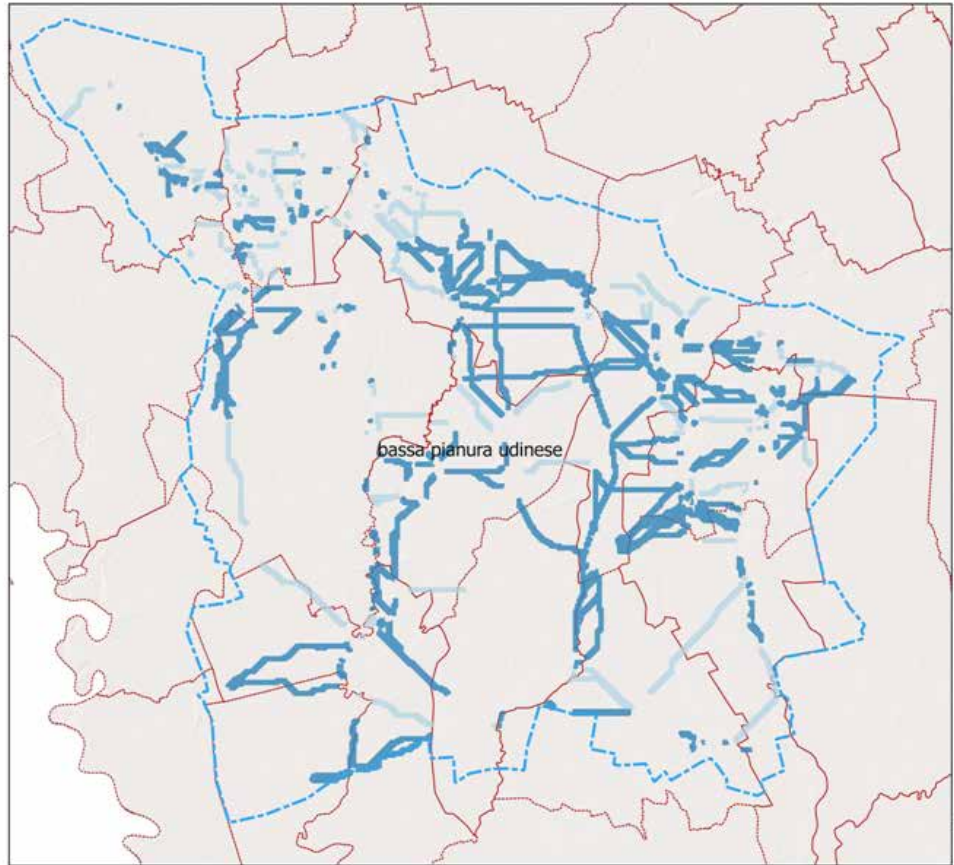
Legenda

- Area di studio
- Corridoi continui
- I livello
- II livello



A

B

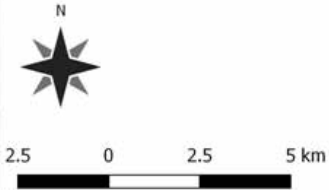


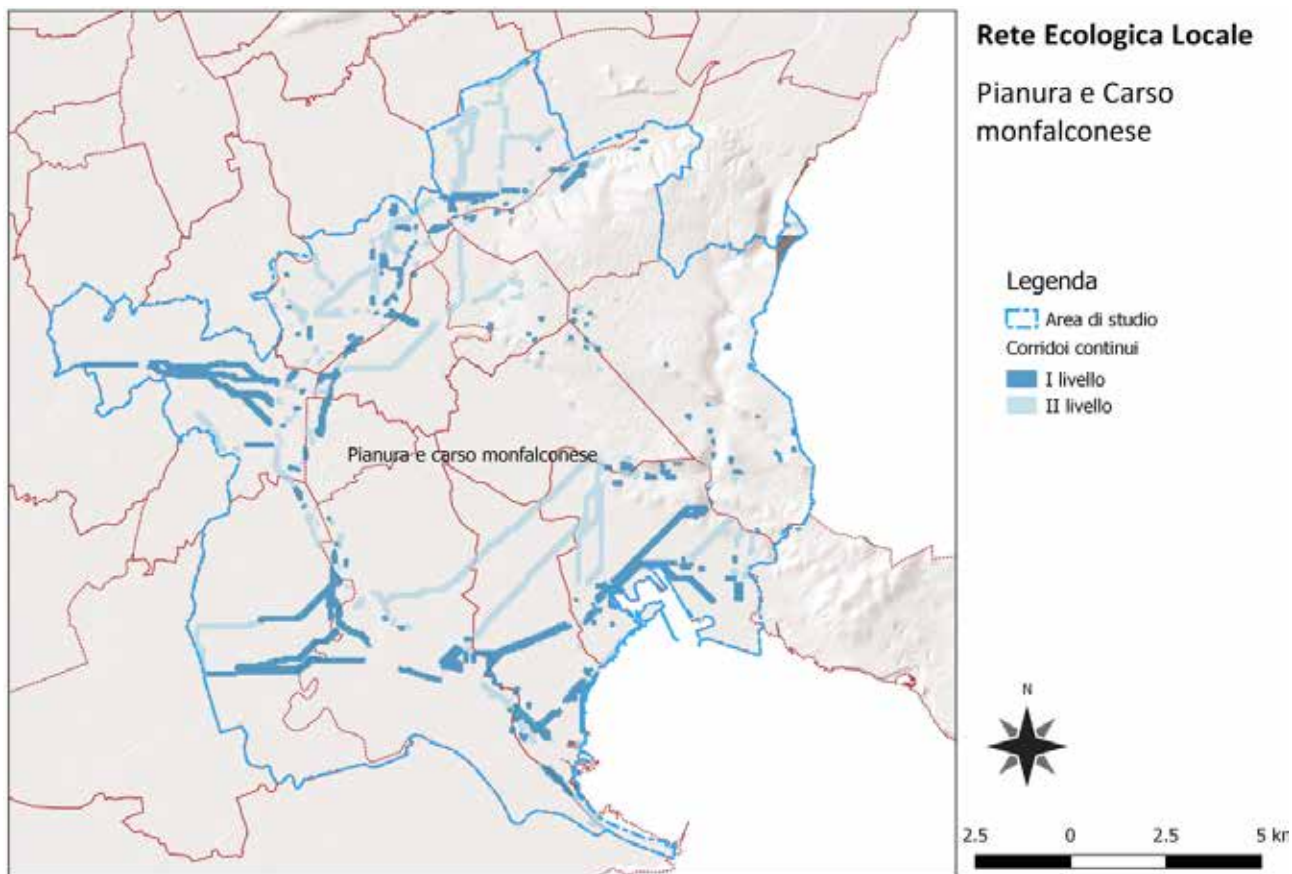
Rete Ecologica Locale

Bassa pianura udinese

Legenda

- Area di studio
- Corridoi continui
- I livello
- II livello

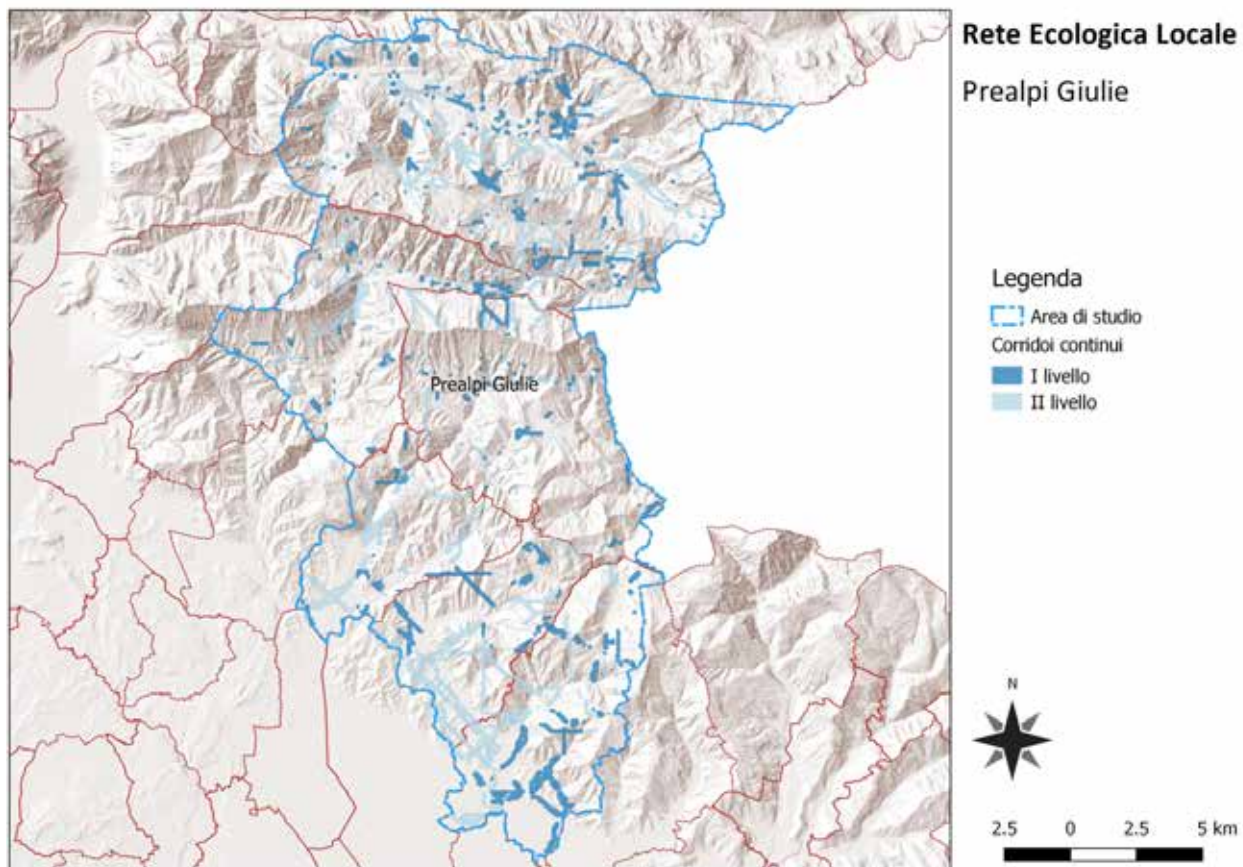




C

Figura 13: Carta dei corridoi continui ottenuta per il paesaggio di Alta Pianura (A), di Bassa Pianura (B), urbanizzato (C) e prealpino (D). Viene evidenziata la classificazione in due livelli dei corridoi.

D



Corridoi discontinui (stepping stones)

I corridoi discontinui (stepping stones) della REL sono stati ottenuti mediante overlay degli elementi definiti per i singoli habitat/specie target (vedi paragrafo 2.3.4). La Carta dei corridoi ecologici discontinui o stepping stones è riportata nelle figure 14 - 17. Al fine di caratterizzare tali corridoi è stato introdotto l'Indice di specie supportate, che misura il numero di specie/habitat target per cui l'area risulta idonea alla specifica funzione di supporto allo spostamento. I corridoi discontinui sono quindi stati classificati in due classi:

- corridoio discontinuo (stepping stones) di livello I, se supportano più di una specie /habitat target tra quelli scelti,
- corridoio discontinuo (stepping stones) di livello II se supportano una specie/habitat target scelti.

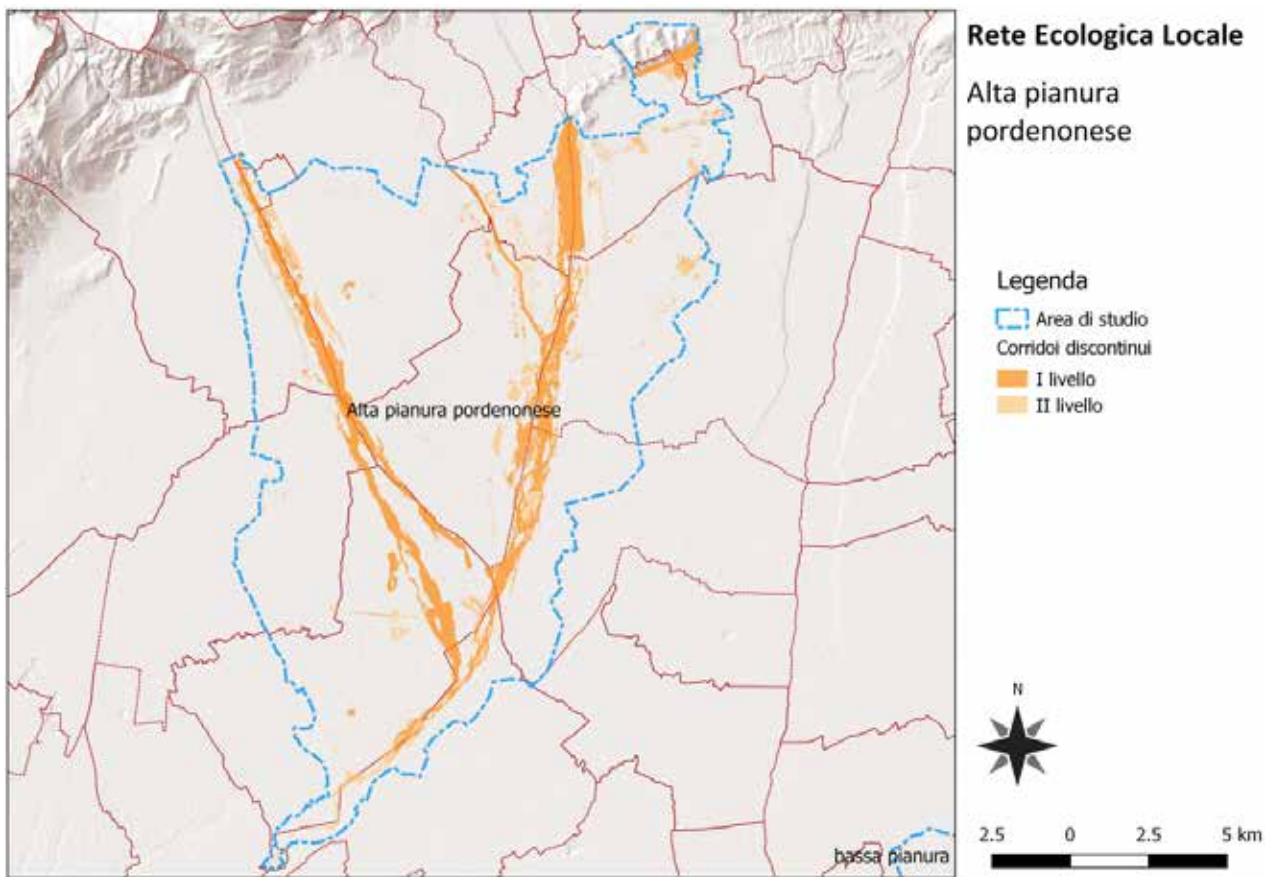
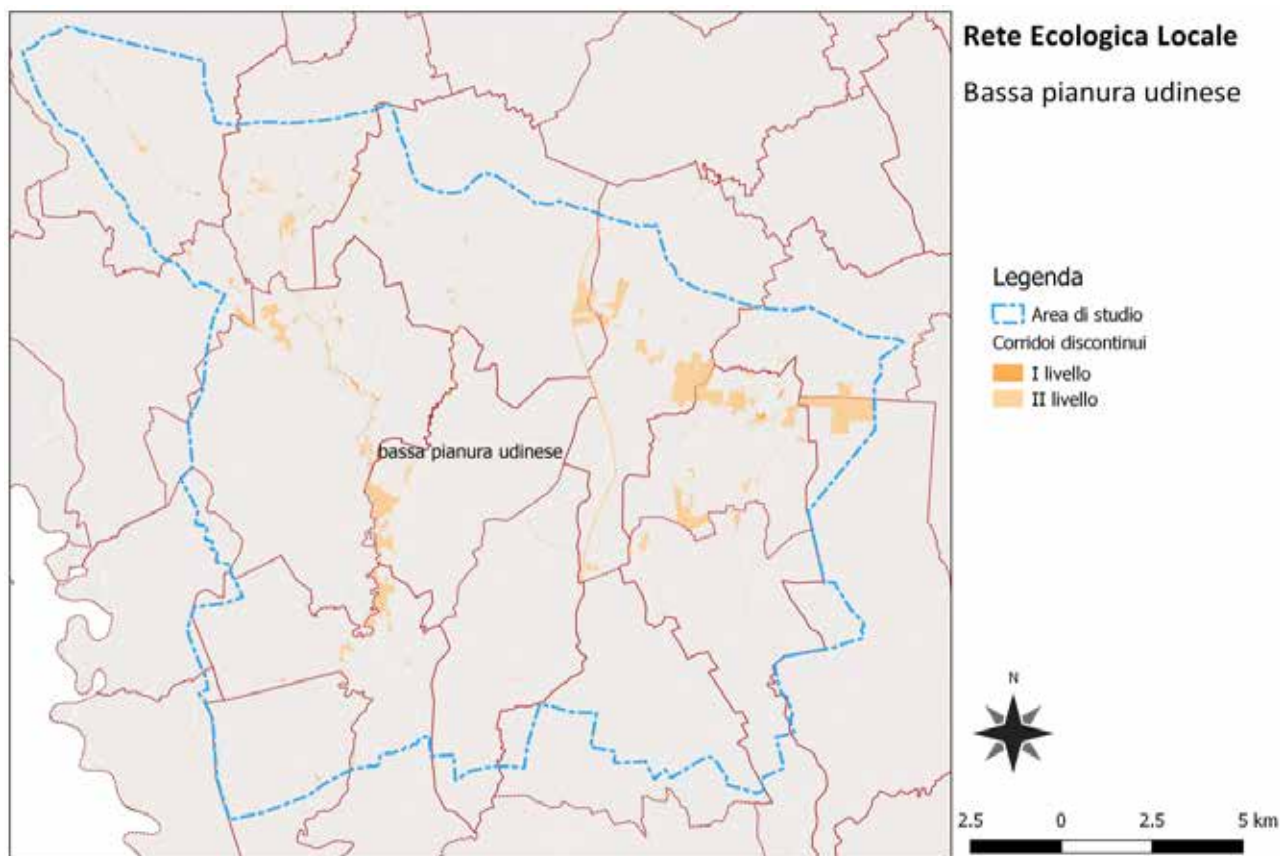


Figura 14: Carta dei Corridoi Ecologici discontinui (stepping stones) del paesaggio di alta pianura. Viene riportata la classificazione dei Corridoi in relazione all'Indice di supporto alle specie (corridoi discontinui di livello I, se supportano più di un habitat/specie target scelti, corridoi discontinui di livello II se supportano solo una tra habitat/specie target scelti).

Figura 15: Carta dei Corridoi Ecologici discontinui (stepping stones) del paesaggio di bassa pianura. Viene riportata la classificazione dei Corridoi in relazione all'Indice di supporto alle specie (corridoi discontinui di livello I, se supportano più di un habitat/specie target scelti, corridoi discontinui di livello II se supportano solo una tra habitat/specie target scelti).





Rete Ecologica Locale

Pianura e Carso monfalconese

Legenda

- Area di studio
- Corridoi discontinui
- I livello
- II livello

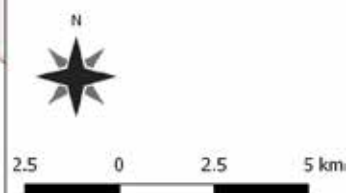
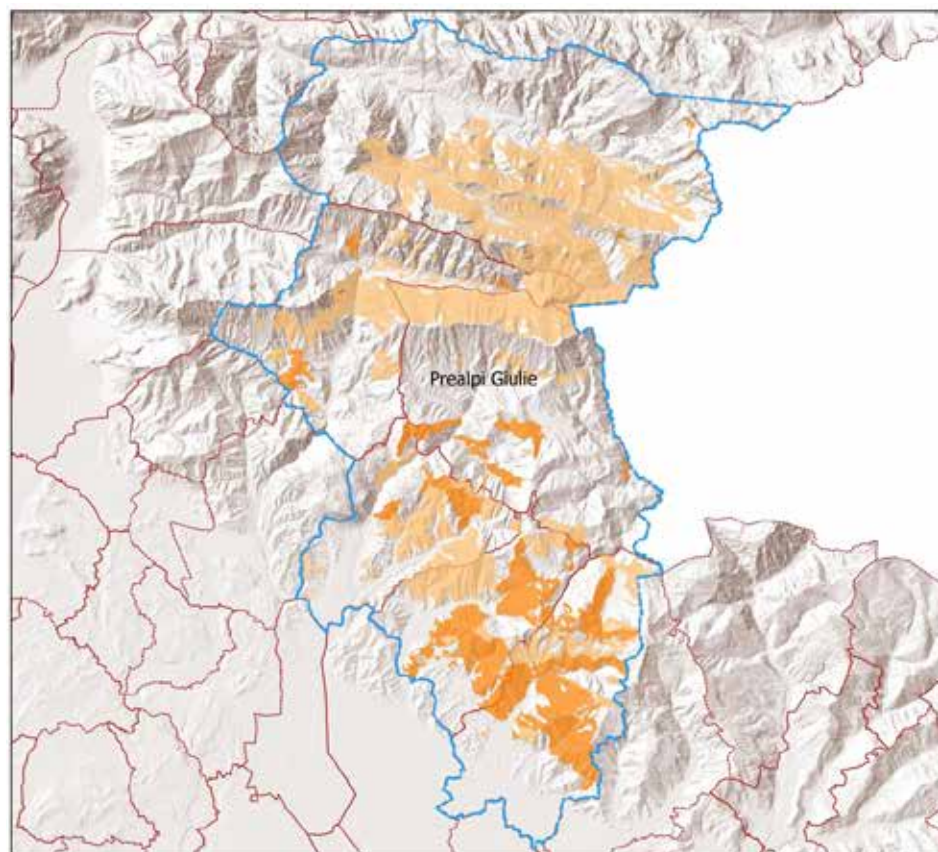


Figura 16: Carta dei corridoi ecologici discontinui (stepping stones) del paesaggio urbanizzato della pianura e Carso monfalconese. Viene riportata la classificazione dei Corridoi in relazione all'Indice di supporto alle specie (corridoi discontinui di livello I, se supportano più di un habitat/specie target scelti, corridoi discontinui di livello II se supportano solo una tra habitat/specie target scelti).

Figura 17: carta dei corridoi ecologici discontinui (stepping stones) del paesaggio prealpino delle Prealpi Giulie. Viene riportata la classificazione dei Corridoi in relazione all'Indice di supporto alle specie (corridoi discontinui di livello I, se supportano più di un habitat/specie target scelti, corridoi discontinui di livello II se supportano solo una tra habitat/specie target scelti).

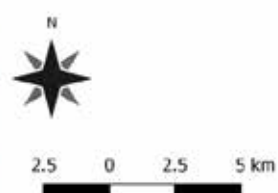


Rete Ecologica Locale

Prealpi Giulie

Legenda

- Area di studio
- Corridoi discontinui
- I livello
- II livello



2.5.3 La Carta della Rete Ecologica Locale

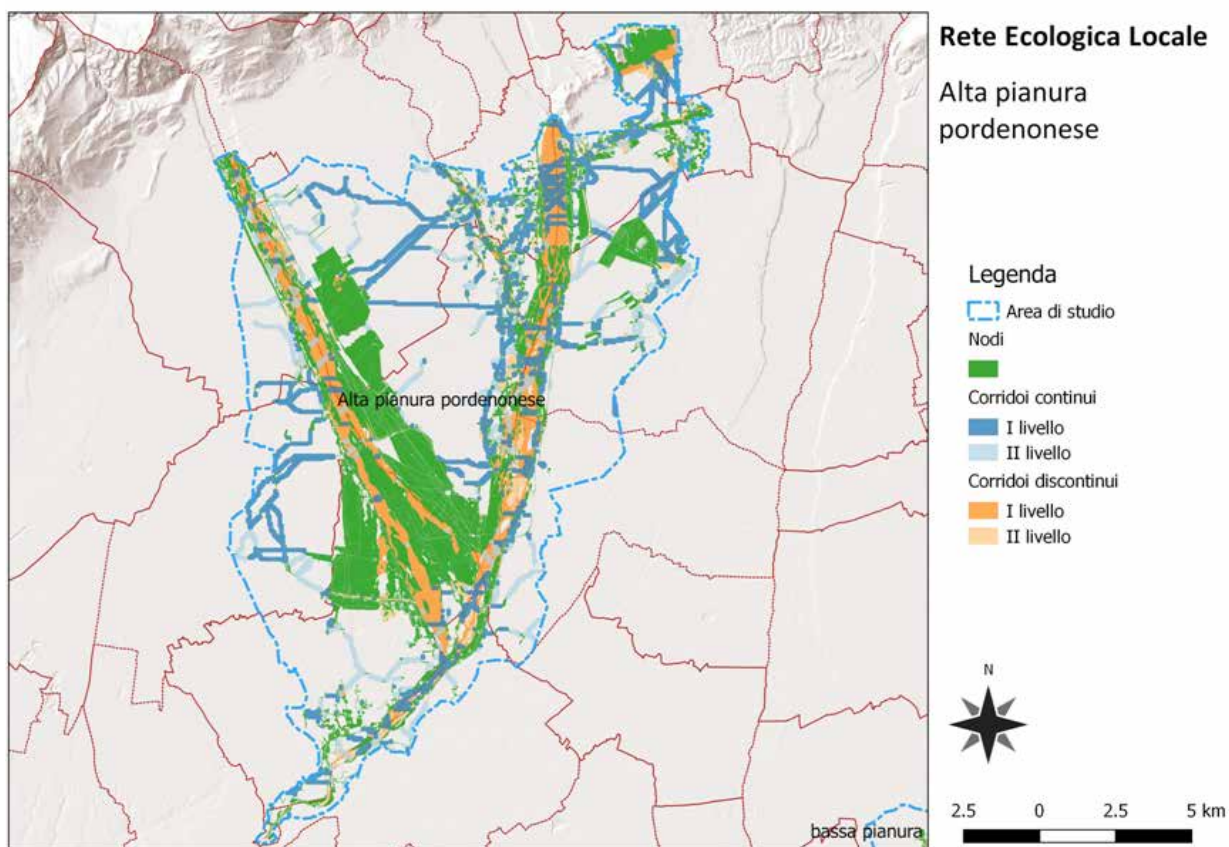
Le carte della Rete Ecologica Locale di alta pianura, di bassa pianura, del paesaggio urbanizzato della pianura e Carso monfalconese e del paesaggio prealpino delle Prealpi Giulie (figure 18 - 21) sono state realizzate mediante procedura di overlay dei diversi strati tematici ottenuti per i diversi elementi componenti, ossia rispettivamente della Carta dei nodi (core areas), Carta dei corridoi continui e Carta dei corridoi discontinui (stepping stones).

Nella fase di rappresentazione finale della REL è stata elaborata una ulteriore caratterizzazione dei corridoi ecologici continui in relazione alle coperture del suolo fortemente impermeabilizzate, per le quali le azioni di miglioramento ambientale risultano più complesse quali le aree urbanizzate e le aree industriali. Le aree urbane e industriali sono state rilevate a partire dalla carta degli habitat e di uso del suolo già indicate precedentemente, il successivo overlay con la Carta dei corridoi ecologici ha consentito di individuare i corridoi, o le porzioni di corridoi, che intersecano tali coperture. Gli elementi di connettività così caratterizzati sono stati nominati corridoi ad alta antropizzazione (figure 22 e 23).

Aree tampone (buffer areas)

Le aree tampone sono state assunte come elemento essenziale della rete per la loro funzione di mitigazione rispetto ai disturbi esterni che possono interessare gli elementi che costituiscono la REL. Alla luce di questo ruolo si prevede la presenza di aree tampone, sia per le aree core, sia per i corridoi ecologici continui e discontinui al fine di individuare aree di attenzione particolare in termini di gestione degli usi/coperture del suolo. Tuttavia il loro dimensionamento viene demandato ad una fase progettuale più avanzata, al fine di poter cogliere le specifiche necessità degli elementi della REL in relazione al contesto in cui sono collocati.

Figura 18: Carta della Rete Ecologica Locale del paesaggio di Alta Pianura



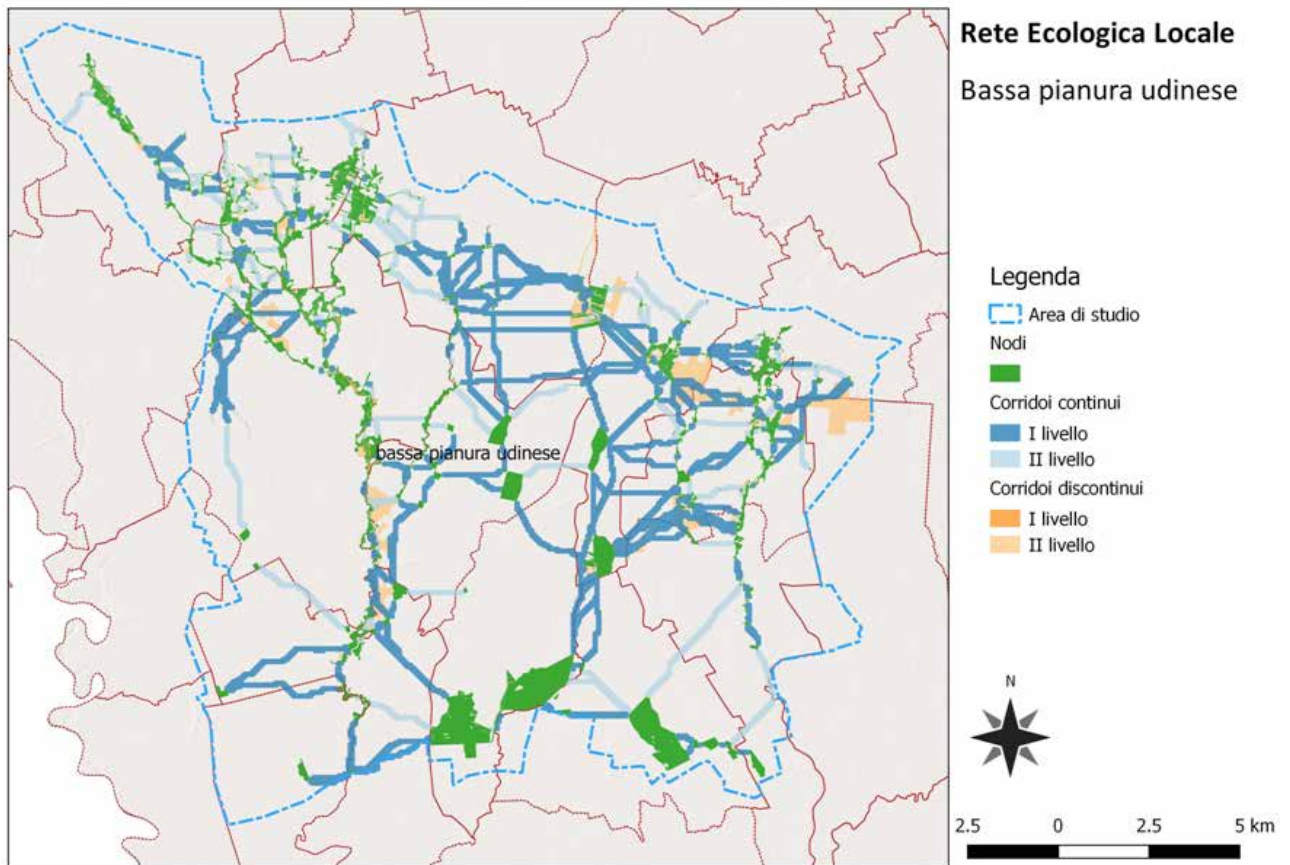
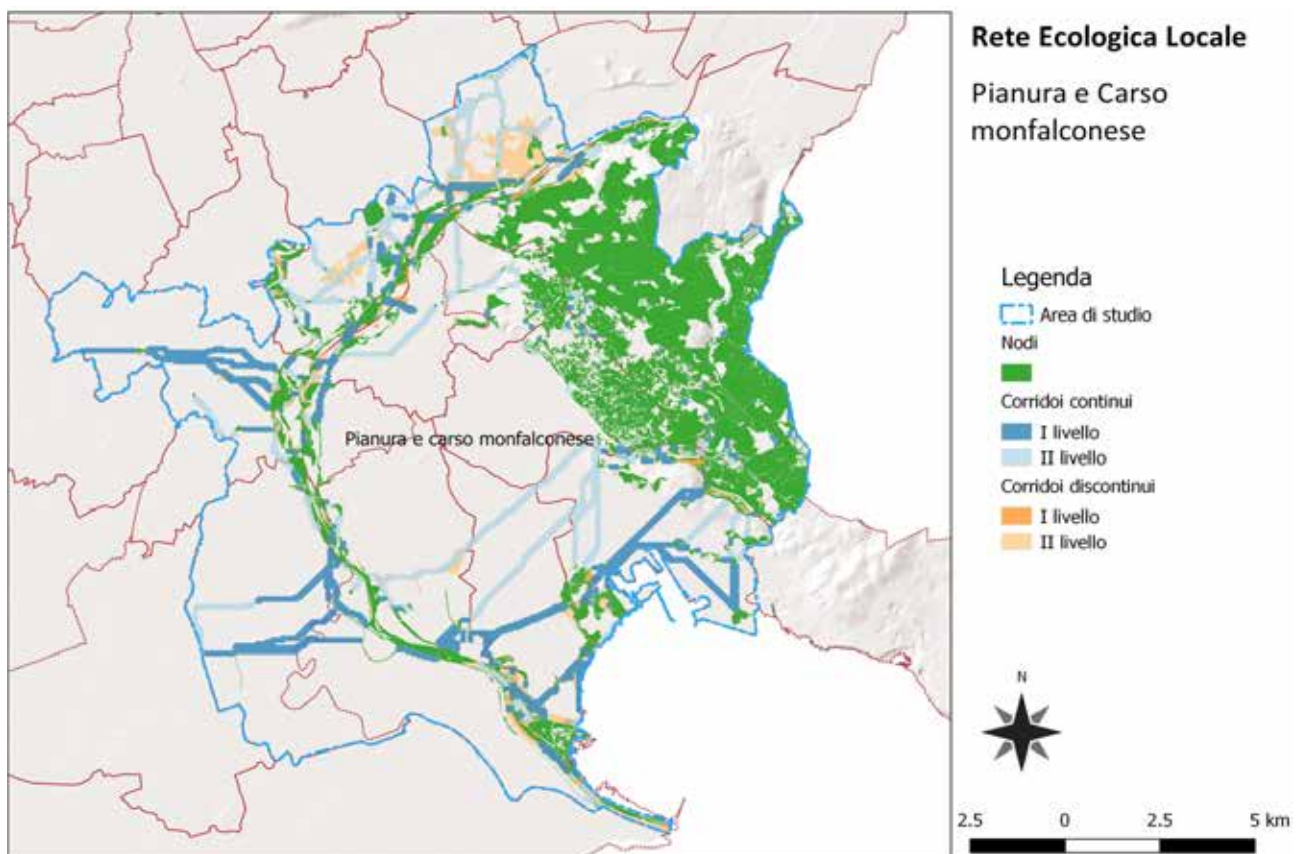


Figura 19: Carta della Rete Ecologica Locale del paesaggio di Bassa Pianura

Figura 20: Carta della Rete Ecologica Locale del paesaggio urbanizzato della pianura e Carso monfalconese.



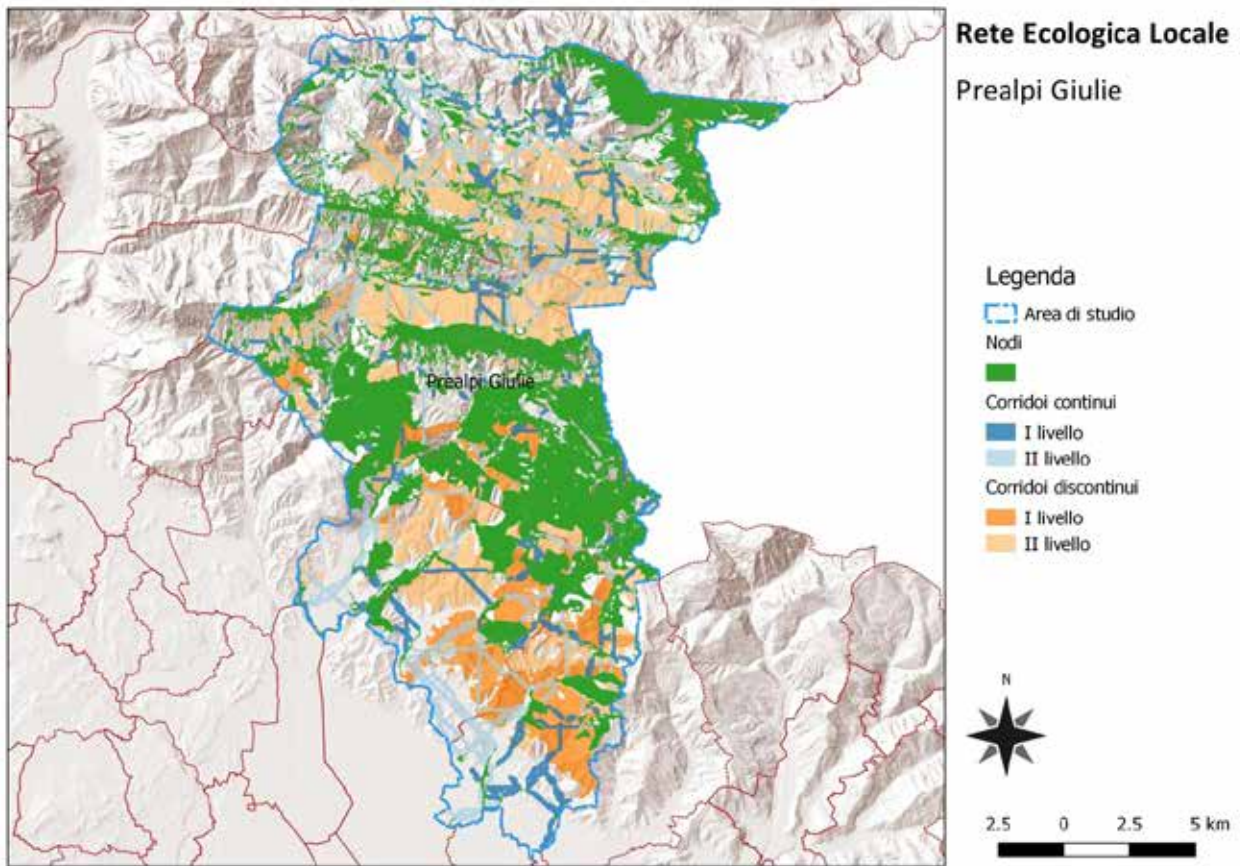
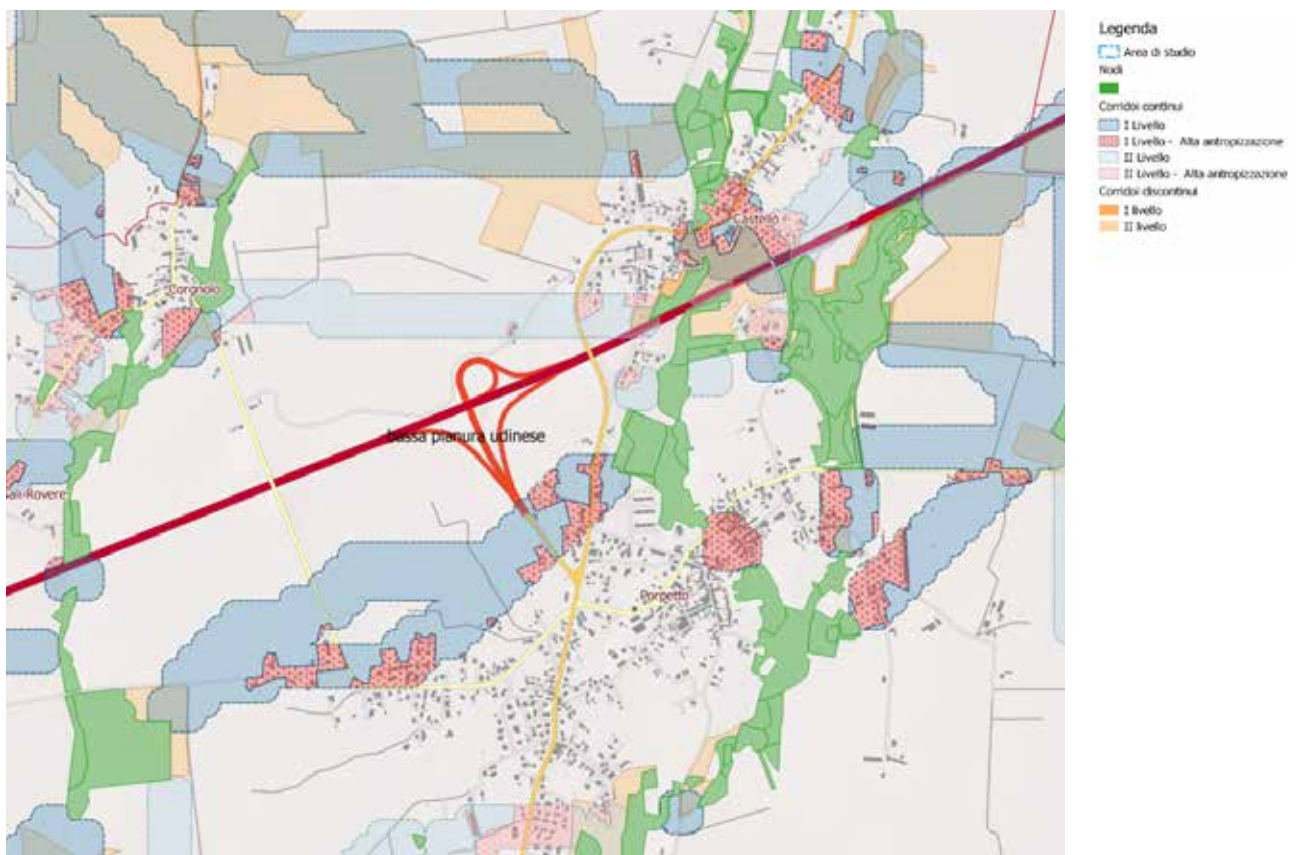
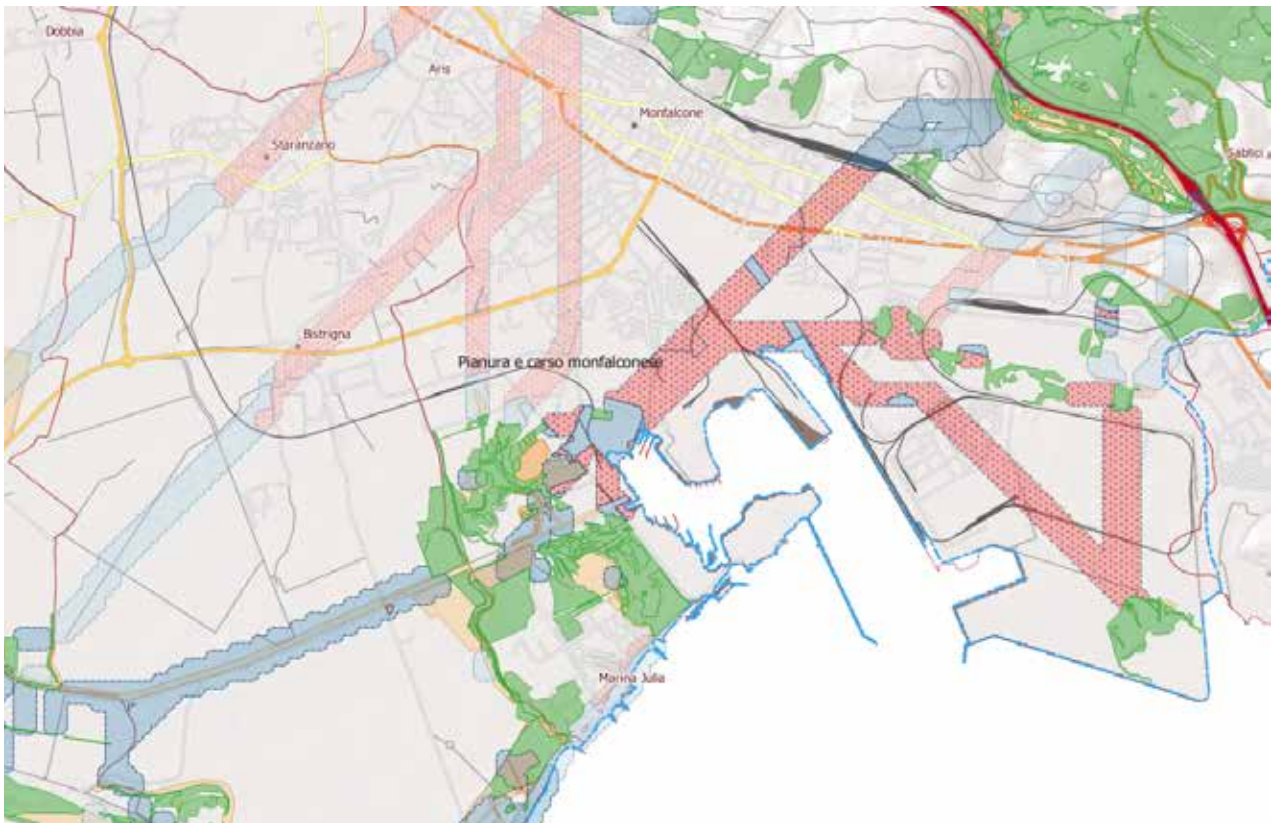


Figura 21: Carta della Rete Ecologica Locale del paesaggio prealpino delle Prealpi Giulie.

Figura 22: particolari cartografici dei corridoi della REL caratterizzati in relazione alla densità di connessioni ed alla corrispondenza con coperture del suolo di tipo urbano e industriale relativi all'area di studio del paesaggio della Bassa Pianura.





Legenda

Area di studio

Nodi



Corridoi continui

I Livello

I Livello - Alta antropizzazione

II Livello

II Livello - Alta antropizzazione

Corridoi discontinui

I livello

II livello

Figura 23: particolari cartografici dei corridoi della REL caratterizzati in relazione alla densità di connessioni ed alla corrispondenza con coperture del suolo di tipo urbano o industriale relativi all'area di studio del paesaggio urbanizzato della pianura e Carso monfalconese.

Bibliografia citata

- APAT (Agenzia Protezione Ambiente e per i Servizi Tecnici), 2003. Gestione delle aree di collegamento ecologico-funzionale. Indirizzi e modalità operative per l'adeguamento degli strumenti di pianificazione del territorio in funzione della costruzione di reti ecologiche a scala locale. Vol. 26, Manuali e linee guida APAT.
- Blasi C. (ed.), 2010. La Vegetazione d'Italia. Palombi & Partner S.r.l. Roma. Blasi C. (ed.), 2010. La vegetazione d'Italia, Carta delle Serie di Vegetazione, scala 1:500 000. Palombi & Partner S.r.l. Roma.
- Clauzel C., Foltête J.C., Girardet X., Vuidel G., 2016. Graphab 2.0 User Manual. <http://thema.univ-fcomte.fr/productions/graphab/en-doc.html> (ultimo accesso ottobre 2016)
- Foltête J.C., Clauzel C., Vuidel G., 2012. A software tool dedicated to the modelling of landscape networks, *Environmental Modelling & Software*, 38: 316-327.
- Galpern, P., Manseau, M., & Fall, A. 2011. Patch-based graphs of landscape connectivity: A guide to construction, analysis and application for conservation. *Biological Conservation* 144: 44–55.
- Pinto, N., Keitt, T.H., 2009. Beyond the least-cost path: evaluating corridor redundancy using a graph-theoretic approach. *Landsc. Ecol.* 24, 256e266.
- Poldini L., Oriolo G., Vidali M., Tomasella M., Stoch F. & Orel G., 2006. Manuale degli habitat del Friuli Venezia Giulia. Strumento a supporto della valutazione d'impatto ambientale (VIA), ambientale strategica (VAS) e d'incidenza ecologica (VIEc). Region. Autonoma Friuli Venezia Giulia – Direz. Centrale ambiente e lavori pubblici – Servizio valutazione impatto ambientale, Univ. Studi Trieste – Dipart. Biologia, <http://www.regione.fvg.it/ambiente.htm>
- Rivas-Martinez, S. 2005. Notions on dynamic-catenal phytosociology as a basis of landscape science. *Plant Biosystems - An International Journal Dealing with all Aspects of Plant Biology* 139: 135–144.
- Urban, D., Keitt, T. 2001. Landscape Connectivity: A Graph-Theoretic Perspective. *Ecology* 82: 1205.
- Urban, D.L., Minor, E.S., Treml, E.A., Schick, R.S., 2009. Graph models of land mosaics. *Ecol. Lett.* 12, 260e273

Allegato 1

Tabella 1: specie target di flora scelte per il paesaggio di alta pianura pordenonese

| Nome specie | Codice habitat FVG | Descrizione. | Ail. II | natura2000 Denominazione |
|---|--------------------|---|---------|---|
| <i>Adenophora liliifolia</i> (L.)Ledeb. ex A.DC. | BL19 | Ostrio-querçeti su suoli basici del piano collinare delle Prealpi | | |
| <i>Aira elegantissima</i> Schur | PC6 | Praterie xerofile semi-evolute sui primi terrazzi alluvionali (magredo) dell'avantefra alpino con <i>Schoenus nigricans</i> | 62A0 | Praterie aride submediterraneo-orientali (<i>Scozzonefetalia villosae</i>) |
| <i>Allium angulosum</i> L. | PU3 | Praterie igrofile pianiziali-collinari dominate da <i>Molinia caerulea</i> | 6410 | Praterie a <i>Molinia</i> su terreni calcarei e argillosi (<i>Molinion caeruleae</i>) |
| <i>Allium suaveolens</i> Jacq. | PU3 | Praterie igrofile pianiziali-collinari dominate da <i>Molinia caerulea</i> | 6410 | Praterie a <i>Molinia</i> su terreni calcarei e argillosi (<i>Molinion caeruleae</i>) |
| <i>Anacamptis pyramidalis</i> (L.)Rich. | PC10 | Praterie evolute su suolo calcareo delle Prealpi | 62A0 | Praterie aride submediterraneo-orientali (<i>Scozzonefetalia villosae</i>) |
| <i>Anagallis tenella</i> (L.)L. | UP4 | Torbiere basse alcaline con alto apporto idrico della pianura dominate da <i>Schoenus nigricans</i> | 7230 | Torbiere basse alcaline |
| <i>Anterorchis coriophora</i> (L.)E.Klein & Strack subsp. <i>fragrans</i> (Pollini)E.Klein & Strack | PC5 | Praterie xerofile primitive su alluvioni calcaree (magredo) dell'avantefra alpino | 62A0 | Praterie aride submediterraneo-orientali (<i>Scozzonefetalia villosae</i>) |
| <i>Armeria helodes</i> Martini & Poldini | UP4 | Torbiere basse alcaline con alto apporto idrico della pianura dominate da <i>Schoenus nigricans</i> | 7230 | Torbiere basse alcaline |
| <i>Brassica glabrescens</i> Poldini | PC5 | Praterie xerofile primitive su alluvioni calcaree (magredo) dell'avantefra alpino | 62A0 | Praterie aride submediterraneo-orientali (<i>Scozzonefetalia villosae</i>) |
| <i>Carex dioica</i> L. | UP7 | Torbiere basse alcaline subalpine dominate da <i>Carex davalliana</i> | 7230 | Torbiere basse alcaline |
| <i>Centaurea forojulensis</i> Poldini | UP4 | Torbiere basse alcaline con alto apporto idrico della pianura dominate da <i>Schoenus nigricans</i> | 7230 | Torbiere basse alcaline |
| <i>Cephalanthera damasonium</i> (Mill.)Druce | BL19 | Ostrio-querçeti su suoli basici del piano collinare delle Prealpi | | |
| <i>Cephalanthera longifolia</i> (L.)Fritsch | BL19 | Ostrio-querçeti su suoli basici del piano collinare delle Prealpi | | |
| <i>Crambe tataria</i> Sebeók | PC8 | Praterie evolute su suoli ferrizzati dei terrazzi fluviali stabilizzati (magredi) dell'avantefra alpino | 62A0 | Praterie aride submediterraneo-orientali (<i>Scozzonefetalia villosae</i>) |
| <i>Dactylofiza fuchsii</i> (Druce)Soó subsp. <i>fuchsii</i> | BL19 | Ostrio-querçeti su suoli basici del piano collinare delle Prealpi | | |
| <i>Dactylofiza incarnata</i> (L.)Soó subsp. <i>cruenta</i> (O.F.Müll.)P.D.Sell | UP7 | Torbiere basse alcaline subalpine dominate da <i>Carex davalliana</i> | 7230 | Torbiere basse alcaline |
| <i>Dactylofiza incarnata</i> (L.)Soó subsp. <i>incarnata</i> | UP7 | Torbiere basse alcaline subalpine dominate da <i>Carex davalliana</i> | 7230 | Torbiere basse alcaline |
| <i>Dactylofiza majalis</i> (Rchb.)P.F.Hunt & Summerh. subsp. <i>majalis</i> | PU3 | Praterie igrofile pianiziali-collinari dominate da <i>Molinia caerulea</i> | 6410 | Praterie a <i>Molinia</i> su terreni calcarei e argillosi (<i>Molinion caeruleae</i>) |
| <i>Dactylofiza praetermissa</i> (Druce)Soó | UP7 | Torbiere basse alcaline subalpine dominate da <i>Carex davalliana</i> | 7230 | Torbiere basse alcaline |
| <i>Dactylofiza traunsteineri</i> (Saut. ex Rchb.)Soó subsp. <i>lapponica</i> (Hartm.)Soó | PU3 | Praterie igrofile pianiziali-collinari dominate da <i>Molinia caerulea</i> | 6410 | Praterie a <i>Molinia</i> su terreni calcarei e argillosi (<i>Molinion caeruleae</i>) |
| <i>Dactylofiza traunsteineri</i> (Saut. ex Rchb.)Soó subsp. <i>traunsteineri</i> | PU3 | Praterie igrofile pianiziali-collinari dominate da <i>Molinia caerulea</i> | 6410 | Praterie a <i>Molinia</i> su terreni calcarei e argillosi (<i>Molinion caeruleae</i>) |
| <i>Epipactis atrorubens</i> (Hoffm. ex Bernh.)Besser subsp. <i>atrorubens</i> | BL22 | Ostrifeti su substrati carbonatici primitivi con <i>Erica carnea</i> | | |
| <i>Epipactis helleborine</i> (L.)Crantz subsp. <i>helleborine</i> | BL19 | Ostrio-querçeti su suoli basici del piano collinare delle Prealpi | | |
| <i>Epipactis muelleri</i> Godfrey | BL19 | Ostrio-querçeti su suoli basici del piano collinare delle Prealpi | | |
| <i>Epipactis palustris</i> (L.)Crantz | PU3 | Praterie igrofile pianiziali-collinari dominate da <i>Molinia caerulea</i> | 6410 | Praterie a <i>Molinia</i> su terreni calcarei e argillosi (<i>Molinion caeruleae</i>) |

| Nome specie | Codice habitat FVG | Descrizione. | All. II | naturazoo Denominazione |
|--|--------------------|--|---------|---|
| <i>Erucastrum palustre</i> (Pirona)Vis. | UP4 | Torbiere basse alcaline con alto apporto idrico della pianura dominate da <i>Schoenus nigricans</i> | 7230 | Torbiere basse alcaline |
| <i>Euphorbia triflora</i> Schott subsp.kemeri (Huter)Poldini | BL22 | Ostietri su substrati carbonatici primitivi con <i>Erica carnea</i> | | |
| <i>Euphorbia triflora</i> Schott subsp.kemeri (Huter)Poldini | PC5 | Praterie xerofile primitive su alluvioni calcaree (magredo) dell'avanterra alpino | 62A0 | Praterie aride submediterraneo-orientali (Scorzoneretalia villosae) |
| <i>Euphrasia marchesettii</i> Wettst. | PU3 | Praterie igrofile planiziali-collinari dominate da <i>Molinia caerulea</i> | 6410 | Praterie a Molinia su terreni calcarei e argillosi (Molinion caeruleae) |
| <i>Gentiana pneumonanthe</i> L. subsp. pneumonanthe | PU3 | Praterie igrofile planiziali-collinari dominate da <i>Molinia caerulea</i> | 6410 | Praterie a Molinia su terreni calcarei e argillosi (Molinion caeruleae) |
| <i>Gymnadenia conopsea</i> (L.)R.Br. subsp. conopsea | PC8 | Praterie evolute su suoli ferrettizzati dei terrazzi fluviali stabilizzati (magredi) dell'avanterra alpino | 62A0 | Praterie aride submediterraneo-orientali (Scorzoneretalia villosae) |
| <i>Gymnadenia odoratissima</i> (L.)Rich. | BL22 | Ostietri su substrati carbonatici primitivi con <i>Erica carnea</i> | | |
| <i>Herminium monorchis</i> (L.)R.Br. | PC10 | Praterie evolute su suolo calcareo delle Prealpi | 62A0 | Praterie aride submediterraneo-orientali (Scorzoneretalia villosae) |
| <i>Hydrocotyle vulgaris</i> L. | PU3 | Praterie igrofile planiziali-collinari dominate da <i>Molinia caerulea</i> | 6410 | Praterie a Molinia su terreni calcarei e argillosi (Molinion caeruleae) |
| <i>Iris sibirica</i> L. | PU3 | Praterie igrofile planiziali-collinari dominate da <i>Molinia caerulea</i> | 6410 | Praterie a Molinia su terreni calcarei e argillosi (Molinion caeruleae) |
| <i>Knautia ressmannii</i> (Pach.)Briq. | PC7 | Praterie xerofile su substrato calcareo di pendio (magredo) prealpine | 62A0 | Praterie aride submediterraneo-orientali (Scorzoneretalia villosae) |
| <i>Leontodon berinii</i> (Bartl.)Roth | AA6 | Vegetazione erbacea delle ghiaie del medio corso dei fiumi | 3220 | Fiumi alpini e loro vegetazione riparia erbacea |
| <i>Leucanthemum platylepis</i> Borbás | PC8 | Praterie evolute su suoli ferrettizzati dei terrazzi fluviali stabilizzati (magredi) dell'avanterra alpino | 62A0 | Praterie aride submediterraneo-orientali (Scorzoneretalia villosae) |
| <i>Lilium martagon</i> L. | BL11 | Carpineti del piano collinare | 91L0 | Quercu-carpineti illirici (Erythronio-Carpinion) |
| <i>Linum trigynum</i> L. | PC10 | Praterie evolute su suolo calcareo delle Prealpi | 62A0 | Praterie aride submediterraneo-orientali (Scorzoneretalia villosae) |
| <i>Liparis loeselii</i> (L.)Rich. | UP4 | Torbiere basse alcaline con alto apporto idrico della pianura dominate da <i>Schoenus nigricans</i> | 7230 | Torbiere basse alcaline |
| <i>Listera ovata</i> (L.)R.Br. | BL19 | Ostrio-querceti su suoli basici del piano collinare delle Prealpi | | |
| <i>Matthiola fruticulosa</i> (L.)Maire subsp. valesiaca (Boiss.)P.W.Ball | PC5 | Praterie xerofile primitive su alluvioni calcaree (magredo) dell'avanterra alpino | 62A0 | Praterie aride submediterraneo-orientali (Scorzoneretalia villosae) |
| <i>Narcissus radiiflorus</i> Salisb. | PC8 | Praterie evolute su suoli ferrettizzati dei terrazzi fluviali stabilizzati (magredi) dell'avanterra alpino | 62A0 | Praterie aride submediterraneo-orientali (Scorzoneretalia villosae) |
| <i>Neottia nidus-avis</i> (L.)Rich. | BL11 | Carpineti del piano collinare | 91L0 | Quercu-carpineti illirici (Erythronio-Carpinion) |
| <i>Ophrys bertoloniiformis</i> O. & E. Danesch subsp. benacensis Reisi | PC10 | Praterie evolute su suolo calcareo delle Prealpi | 62A0 | Praterie aride submediterraneo-orientali (Scorzoneretalia villosae) |
| <i>Ophrys incubacea</i> Bianca ex Tod. | PC8 | Praterie evolute su suoli ferrettizzati dei terrazzi fluviali stabilizzati (magredi) dell'avanterra alpino | 62A0 | Praterie aride submediterraneo-orientali (Scorzoneretalia villosae) |
| <i>Ophrys sphegodes</i> Mill. subsp. sphegodes | PC8 | Praterie evolute su suoli ferrettizzati dei terrazzi fluviali stabilizzati (magredi) dell'avanterra alpino | 62A0 | Praterie aride submediterraneo-orientali (Scorzoneretalia villosae) |
| <i>Orchis laxiflora</i> Lam. subsp. laxiflora | PU3 | Praterie igrofile planiziali-collinari dominate da <i>Molinia caerulea</i> | 6410 | Praterie a Molinia su terreni calcarei e argillosi (Molinion caeruleae) |
| <i>Orchis mascula</i> (L.)L. subsp. mascula | BL11 | Carpineti del piano collinare | 91L0 | Quercu-carpineti illirici (Erythronio-Carpinion) |
| <i>Orchis mascula</i> (L.)L. subsp. signifera (Vest)Soó | BL11 | Carpineti del piano collinare | 91L0 | Quercu-carpineti illirici |

| Nome specie | Codice habitat FVG | Descrizione. | All. II | natura2000 Denominazione |
|--|--------------------|---|---------|---|
| | | | | (Erythronio-Carpinione) |
| <i>Orchis militaris</i> L. | PC10 | Praterie evolute su suolo calcareo delle Prealpi | 02A0 | Praterie aride submediterraneo-orientali (<i>Scorzoneretalia villosae</i>) |
| <i>Orchis morio</i> L. subsp. <i>morio</i> | PC8 | Praterie evolute su suoli ferrettizzati dei terrazzi fluviali stabilizzati (magredi) dell'avanterra alpino | 02A0 | Praterie aride submediterraneo-orientali (<i>Scorzoneretalia villosae</i>) |
| <i>Orchis palustris</i> Jacq. | PU3 | Praterie igrofile planiziali-collinari dominate da <i>Molinia caerulea</i> | 0410 | Praterie a <i>Molinia</i> su terreni calcarei e argillosi (<i>Molinion caeruleae</i>) |
| <i>Orchis papilionacea</i> L. subsp. <i>papilionacea</i> | PC0 | Praterie xerofile semi-evolute sui primi terrazzi alluvionali (magredo) dell'avanterra alpino con <i>Schoenus nigricans</i> | 02A0 | Praterie aride submediterraneo-orientali (<i>Scorzoneretalia villosae</i>) |
| <i>Orchis tridentata</i> Scop. subsp. <i>tridentata</i> | PC10 | Praterie evolute su suolo calcareo delle Prealpi | 02A0 | Praterie aride submediterraneo-orientali (<i>Scorzoneretalia villosae</i>) |
| <i>Orchis ustulata</i> L. subsp. <i>ustulata</i> | PC10 | Praterie evolute su suolo calcareo delle Prealpi | 02A0 | Praterie aride submediterraneo-orientali (<i>Scorzoneretalia villosae</i>) |
| <i>Plantago altissima</i> L. | PU3 | Praterie igrofile planiziali-collinari dominate da <i>Molinia caerulea</i> | 0410 | Praterie a <i>Molinia</i> su terreni calcarei e argillosi (<i>Molinion caeruleae</i>) |
| <i>Platanthera bifolia</i> (L.)Rich. subsp. <i>bifolia</i> | BL11 | Carpinieti del piano collinare | 91L0 | Quercio-carpinieti illirici (<i>Erythronio-Carpinione</i>) |
| <i>Platanthera chlorantha</i> (Custer)Rchb. subsp. <i>chlorantha</i> | BL11 | Carpinieti del piano collinare | 91L0 | Quercio-carpinieti illirici (<i>Erythronio-Carpinione</i>) |
| <i>Pulsatilla montana</i> (Hoppe)Rchb. subsp. <i>montana</i> | PC8 | Praterie evolute su suoli ferrettizzati dei terrazzi fluviali stabilizzati (magredi) dell'avanterra alpino | 02A0 | Praterie aride submediterraneo-orientali (<i>Scorzoneretalia villosae</i>) |
| <i>Ranunculus aesontinus</i> Pignatti | PU3 | Praterie igrofile planiziali-collinari dominate da <i>Molinia caerulea</i> | 0410 | Praterie a <i>Molinia</i> su terreni calcarei e argillosi (<i>Molinion caeruleae</i>) |
| <i>Rhinanthus pampaninii</i> Chabert subsp. <i>pampaninii</i> | PC8 | Praterie evolute su suoli ferrettizzati dei terrazzi fluviali stabilizzati (magredi) dell'avanterra alpino | 02A0 | Praterie aride submediterraneo-orientali (<i>Scorzoneretalia villosae</i>) |
| <i>Salix rosmarinifolia</i> L. | PU3 | Praterie igrofile planiziali-collinari dominate da <i>Molinia caerulea</i> | 0410 | Praterie a <i>Molinia</i> su terreni calcarei e argillosi (<i>Molinion caeruleae</i>) |
| <i>Senecio fontanicola</i> Grulich & Hodálová | UP4 | Torbiere basse alcaline con alto apporto idrico della pianura dominate da <i>Schoenus nigricans</i> | 7230 | Torbiere basse alcaline |
| <i>Serapias vomeracea</i> (Burm.f.)Briq. subsp. <i>vomeracea</i> | PC8 | Praterie evolute su suoli ferrettizzati dei terrazzi fluviali stabilizzati (magredi) dell'avanterra alpino | 02A0 | Praterie aride submediterraneo-orientali (<i>Scorzoneretalia villosae</i>) |
| <i>Sesleria caerulea</i> (L.)Ard. subsp. <i>caerulea</i> | UP4 | Torbiere basse alcaline con alto apporto idrico della pianura dominate da <i>Schoenus nigricans</i> | 7230 | Torbiere basse alcaline |
| <i>Spiranthes aestivalis</i> (Poir.)Rich. | UP4 | Torbiere basse alcaline con alto apporto idrico della pianura dominate da <i>Schoenus nigricans</i> | 7230 | Torbiere basse alcaline |
| <i>Spiranthes spiralis</i> (L.)Chevall. | PC8 | Praterie evolute su suoli ferrettizzati dei terrazzi fluviali stabilizzati (magredi) dell'avanterra alpino | 02A0 | Praterie aride submediterraneo-orientali (<i>Scorzoneretalia villosae</i>) |
| <i>Succisella inflexa</i> (Kluk)Beck | PU3 | Praterie igrofile planiziali-collinari dominate da <i>Molinia caerulea</i> | 0410 | Praterie a <i>Molinia</i> su terreni calcarei e argillosi (<i>Molinion caeruleae</i>) |
| <i>Traunsteinera globosa</i> (L.)Rchb. | PC10 | Praterie evolute su suolo calcareo delle Prealpi | 02A0 | Praterie aride submediterraneo-orientali (<i>Scorzoneretalia villosae</i>) |

Tabella 2: specie target di flora scelte per il paesaggio di bassa pianura udinese

| Nome specie | Codice habitat FVG | Descrizione. | All. II | natura2000 Denominazione |
|-------------|--------------------|--------------|---------|--------------------------|
|-------------|--------------------|--------------|---------|--------------------------|

| | | | | |
|--|-----------------|---|-------|---|
| <i>Allium angulosum</i> L. | PU ₃ | Praterie igrofile planiziali-collinari dominate da <i>Molinia caerulea</i> | 6410 | Praterie a <i>Molinia</i> su terreni calcarei e argillosi (<i>Molinion caeruleae</i>) |
| <i>Allium suaveolens</i> Jacq. | PU ₃ | Praterie igrofile planiziali-collinari dominate da <i>Molinia caerulea</i> | 6410 | Praterie a <i>Molinia</i> su terreni calcarei e argillosi (<i>Molinion caeruleae</i>) |
| <i>Anacamptis pyramidalis</i> (L.)Rich. | PC10 | Praterie evolute su suolo calcareo delle Prealpi | 62A0 | Praterie aride submediterraneo-orientali (<i>Scorzoneretalia villosae</i>) |
| <i>Anagallis tenella</i> (L.)L. | UP4 | Torbiere basse alcaline con alto apporto idrico della pianura dominate da <i>Schoenus nigricans</i> | 7230 | Torbiere basse alcaline |
| <i>Anteriorchis coriophora</i> (L.)E.Klein & Strack subsp. <i>fragrans</i> (Pollini)E.Klein & Strack | PU ₃ | Praterie igrofile planiziali-collinari dominate da <i>Molinia caerulea</i> | 6410 | Praterie a <i>Molinia</i> su terreni calcarei e argillosi (<i>Molinion caeruleae</i>) |
| <i>Armeria helodes</i> Martini & Poldini | UP4 | Torbiere basse alcaline con alto apporto idrico della pianura dominate da <i>Schoenus nigricans</i> | 7230 | Torbiere basse alcaline |
| <i>Calamagrostis canescens</i> (Weber)Roth subsp. <i>canescens</i> | BU10 | Boschi dominati da <i>Alnus glutinosa</i> | 91E0* | Foreste alluvionali con <i>Alnus glutinosa</i> e <i>Fraxinus excelsior</i> (<i>Alno-Padion, Alnion incanae, Salicion albae</i>) |
| <i>Carex elongata</i> L. | BU10 | Boschi dominati da <i>Alnus glutinosa</i> | 91E0* | Foreste alluvionali con <i>Alnus glutinosa</i> e <i>Fraxinus excelsior</i> (<i>Alno-Padion, Alnion incanae, Salicion albae</i>) |
| <i>Centaurea forojuvensis</i> Poldini | UP4 | Torbiere basse alcaline con alto apporto idrico della pianura dominate da <i>Schoenus nigricans</i> | 7230 | Torbiere basse alcaline |
| <i>Cirsium canum</i> (L.)All. | PU ₃ | Praterie igrofile planiziali-collinari dominate da <i>Molinia caerulea</i> | 6410 | Praterie a <i>Molinia</i> su terreni calcarei e argillosi (<i>Molinion caeruleae</i>) |
| <i>Dactylorhiza majalis</i> (Rchb.)P.F.Hunt & Summerth. subsp. <i>majalis</i> | PU ₃ | Praterie igrofile planiziali-collinari dominate da <i>Molinia caerulea</i> | 6410 | Praterie a <i>Molinia</i> su terreni calcarei e argillosi (<i>Molinion caeruleae</i>) |
| <i>Dactylorhiza traunsteineri</i> (Saut. ex Rchb.)Soó subsp. <i>lapponica</i> (Hartm.)Soó | PU ₃ | Praterie igrofile planiziali-collinari dominate da <i>Molinia caerulea</i> | 6410 | Praterie a <i>Molinia</i> su terreni calcarei e argillosi (<i>Molinion caeruleae</i>) |
| <i>Dactylorhiza traunsteineri</i> (Saut. ex Rchb.)Soó subsp. <i>traunsteineri</i> | PU ₃ | Praterie igrofile planiziali-collinari dominate da <i>Molinia caerulea</i> | 6410 | Praterie a <i>Molinia</i> su terreni calcarei e argillosi (<i>Molinion caeruleae</i>) |
| <i>Epipactis palustris</i> (L.)Crantz | PU ₃ | Praterie igrofile planiziali-collinari dominate da <i>Molinia caerulea</i> | 6410 | Praterie a <i>Molinia</i> su terreni calcarei e argillosi (<i>Molinion caeruleae</i>) |
| <i>Erucastrum palustre</i> (Pirona)Vis. | UP4 | Torbiere basse alcaline con alto apporto idrico della pianura dominate da <i>Schoenus nigricans</i> | 7230 | Torbiere basse alcaline |
| <i>Euphorbia esula</i> L. subsp. <i>esula</i> | PC10 | Praterie evolute su suolo calcareo delle Prealpi | 62A0 | Praterie aride submediterraneo-orientali (<i>Scorzoneretalia villosae</i>) |
| <i>Euphorbia villosa</i> Waldst. & Kit. ex Willd. | PU ₃ | Praterie igrofile planiziali-collinari dominate da <i>Molinia caerulea</i> | 6410 | Praterie a <i>Molinia</i> su terreni calcarei e argillosi (<i>Molinion caeruleae</i>) |
| <i>Euphrasia marchesettii</i> Wettst. | PU ₃ | Praterie igrofile planiziali-collinari dominate da <i>Molinia caerulea</i> | 6410 | Praterie a <i>Molinia</i> su terreni calcarei e argillosi (<i>Molinion caeruleae</i>) |
| <i>Gentiana pneumonanthe</i> L. subsp. <i>pneumonanthe</i> | PU ₃ | Praterie igrofile planiziali-collinari dominate da <i>Molinia caerulea</i> | 6410 | Praterie a <i>Molinia</i> su terreni calcarei e argillosi (<i>Molinion caeruleae</i>) |
| <i>Gymnadenia conopsea</i> (L.)R.Br. subsp. <i>conopsea</i> | PC10 | Praterie evolute su suolo calcareo delle Prealpi | 62A0 | Praterie aride submediterraneo-orientali (<i>Scorzoneretalia villosae</i>) |
| <i>Herminium monorchis</i> (L.)R.Br. | PC10 | Praterie evolute su suolo calcareo delle Prealpi | 62A0 | Praterie aride submediterraneo-orientali (<i>Scorzoneretalia villosae</i>) |
| <i>Hydrocotyle vulgaris</i> L. | PU ₃ | Praterie igrofile planiziali-collinari dominate da <i>Molinia caerulea</i> | 6410 | Praterie a <i>Molinia</i> su terreni calcarei e argillosi (<i>Molinion caeruleae</i>) |

| | | | | |
|--|-----------------|---|------|---|
| <i>Iris sibirica</i> L. | PU ₃ | Praterie igrofile planiziali-collinari dominate da <i>Molinia caerulea</i> | 6410 | Praterie a <i>Molinia</i> su terreni calcarei e argillosi (<i>Molinion caeruleae</i>) |
| <i>Leontodon saxatilis</i> Lam. | PU ₃ | Praterie igrofile planiziali-collinari dominate da <i>Molinia caerulea</i> | 6410 | Praterie a <i>Molinia</i> su terreni calcarei e argillosi (<i>Molinion caeruleae</i>) |
| <i>Linum trigynum</i> L. | PC10 | Praterie evolute su suolo calcareo delle Prealpi | 62A0 | Praterie aride submediterraneo-orientali (<i>Scorzoneretalia villosae</i>) |
| <i>Liparis loeselii</i> (L.)Rich. | UP4 | Torbiere basse alcaline con alto apporto idrico della pianura dominate da <i>Schoenus nigricans</i> | 7230 | Torbiere basse alcaline |
| <i>Ophrys bertoloniformis</i> O. & E. Danesch subsp. <i>benacensis</i> Reisigl | PC10 | Praterie evolute su suolo calcareo delle Prealpi | 62A0 | Praterie aride submediterraneo-orientali (<i>Scorzoneretalia villosae</i>) |
| <i>Ophrys incubacea</i> Bianca ex Tod. | PC10 | Praterie evolute su suolo calcareo delle Prealpi | 62A0 | Praterie aride submediterraneo-orientali (<i>Scorzoneretalia villosae</i>) |
| <i>Ophrys sphegodes</i> Mill. subsp. <i>sphogodes</i> | PC10 | Praterie evolute su suolo calcareo delle Prealpi | 62A0 | Praterie aride submediterraneo-orientali (<i>Scorzoneretalia villosae</i>) |
| <i>Orchis laxiflora</i> Lam. subsp. <i>laxiflora</i> | PU ₃ | Praterie igrofile planiziali-collinari dominate da <i>Molinia caerulea</i> | 6410 | Praterie a <i>Molinia</i> su terreni calcarei e argillosi (<i>Molinion caeruleae</i>) |
| <i>Orchis mascula</i> (L.)L. subsp. <i>mascula</i> | PC10 | Praterie evolute su suolo calcareo delle Prealpi | 62A0 | Praterie aride submediterraneo-orientali (<i>Scorzoneretalia villosae</i>) |
| <i>Orchis militaris</i> L. | PC10 | Praterie evolute su suolo calcareo delle Prealpi | 62A0 | Praterie aride submediterraneo-orientali (<i>Scorzoneretalia villosae</i>) |
| <i>Orchis morio</i> L. subsp. <i>morio</i> | PC10 | Praterie evolute su suolo calcareo delle Prealpi | 62A0 | Praterie aride submediterraneo-orientali (<i>Scorzoneretalia villosae</i>) |
| <i>Orchis palustris</i> Jacq. | PU ₃ | Praterie igrofile planiziali-collinari dominate da <i>Molinia caerulea</i> | 6410 | Praterie a <i>Molinia</i> su terreni calcarei e argillosi (<i>Molinion caeruleae</i>) |
| <i>Orchis tridentata</i> Scop. subsp. <i>tridentata</i> | PC10 | Praterie evolute su suolo calcareo delle Prealpi | 62A0 | Praterie aride submediterraneo-orientali (<i>Scorzoneretalia villosae</i>) |
| <i>Orchis ustulata</i> L. subsp. <i>ustulata</i> | PC10 | Praterie evolute su suolo calcareo delle Prealpi | 62A0 | Praterie aride submediterraneo-orientali (<i>Scorzoneretalia villosae</i>) |
| <i>Plantago altissima</i> L. | PU ₃ | Praterie igrofile planiziali-collinari dominate da <i>Molinia caerulea</i> | 6410 | Praterie a <i>Molinia</i> su terreni calcarei e argillosi (<i>Molinion caeruleae</i>) |
| <i>Platanthera bifolia</i> (L.)Rich. subsp. <i>bifolia</i> | PU ₃ | Praterie igrofile planiziali-collinari dominate da <i>Molinia caerulea</i> | 6410 | Praterie a <i>Molinia</i> su terreni calcarei e argillosi (<i>Molinion caeruleae</i>) |
| <i>Platanthera chlorantha</i> (Custer)Rchb. subsp. <i>chlorantha</i> | PU ₃ | Praterie igrofile planiziali-collinari dominate da <i>Molinia caerulea</i> | 6410 | Praterie a <i>Molinia</i> su terreni calcarei e argillosi (<i>Molinion caeruleae</i>) |
| <i>Ranunculus aesontinus</i> Pignatti | PU ₃ | Praterie igrofile planiziali-collinari dominate da <i>Molinia caerulea</i> | 6410 | Praterie a <i>Molinia</i> su terreni calcarei e argillosi (<i>Molinion caeruleae</i>) |
| <i>Salix rosmarinifolia</i> L. | PU ₃ | Praterie igrofile planiziali-collinari dominate da <i>Molinia caerulea</i> | 6410 | Praterie a <i>Molinia</i> su terreni calcarei e argillosi (<i>Molinion caeruleae</i>) |
| <i>Senecio fontanicola</i> Grulich & Hodálová | UP4 | Torbiere basse alcaline con alto apporto idrico della pianura dominate da <i>Schoenus nigricans</i> | 7230 | Torbiere basse alcaline |
| <i>Sesleria caerulea</i> (L.)Ard. subsp. <i>caerulea</i> | UP4 | Torbiere basse alcaline con alto apporto idrico della pianura dominate da <i>Schoenus nigricans</i> | 7230 | Torbiere basse alcaline |

| | | | | |
|---|-----|---|------|---|
| <i>Spiranthes aestivalis</i> (Poir.)Rich. | UP4 | Torbiere basse alcaline con alto apporto idrico della pianura dominate da <i>Schoenus nigricans</i> | 7230 | Torbiere basse alcaline |
| <i>Succisella inflexa</i> (Kluk)Beck | PU3 | Praterie igrofile planiziali-collinari dominate da <i>Molinia caerulea</i> | 6410 | Praterie a <i>Molinia</i> su terreni calcarei e argillosi (<i>Molinion caeruleae</i>) |

Tabella 3: specie target di flora scelte per il paesaggio urbanizzato della pianura e Carso monfalconese

| Nome specie | Codice habitat FVG | Descrizione | All. II | naturaz000 Denominazione |
|--|--------------------|--|---------|---|
| <i>Achillea nobilis</i> L. | PC4 | Praterie (landa) xero-termofile su substrato calcareo del Carso | 02A0 | Praterie aride submediterraneo-orientali (<i>Scorzoneretalia villosae</i>) |
| <i>Achillea pannonica</i> Scheele | PC4 | Praterie (landa) xero-termofile su substrato calcareo del Carso | 02A0 | Praterie aride submediterraneo-orientali (<i>Scorzoneretalia villosae</i>) |
| <i>Achillea setacea</i> Waldst. & Kit. | PC4 | Praterie (landa) xero-termofile su substrato calcareo del Carso | 02A0 | Praterie aride submediterraneo-orientali (<i>Scorzoneretalia villosae</i>) |
| <i>Achillea virescens</i> (Fenzl)Heimerl | PC4 | Praterie (landa) xero-termofile su substrato calcareo del Carso | 02A0 | Praterie aride submediterraneo-orientali (<i>Scorzoneretalia villosae</i>) |
| <i>Aeluropus litoralis</i> (Gouan)Parl. | CA9 | Vegetazioni su suoli salati a suffrutici succulenti | 1420 | Cespuglieti alofili mediterranei e termo-atlantici (<i>Sarcocometea fruticosi</i>) |
| <i>Aira elegantissima</i> Schur | PC1 | Praterelli aridi pionieri discontinui | 0110 * | Pratelli erbosi calcarei o basifili degli Alysso-Sedion albi |
| <i>Allium angulosum</i> L. | PU3 | Praterie igrofile planiziali-collinari dominate da <i>Molinia caerulea</i> | 6410 | Praterie a <i>Molinia</i> su terreni calcarei e argillosi (<i>Molinion caeruleae</i>) |
| <i>Allium suaveolens</i> Jacq. | PU3 | Praterie igrofile planiziali-collinari dominate da <i>Molinia caerulea</i> | 6410 | Praterie a <i>Molinia</i> su terreni calcarei e argillosi (<i>Molinion caeruleae</i>) |
| <i>Anacamptis pyramidalis</i> (L.)Rich. | PC10 | Praterie evolute su suolo calcareo delle Prealpi | 02A0 | Praterie aride submediterraneo-orientali (<i>Scorzoneretalia villosae</i>) |
| <i>Anteriorchis coriophora</i> (L.)E.Klein & Strack s.l. | PC9 | Prato-pascolo su terre rosse del Carso | 02A0 | Praterie aride submediterraneo-orientali (<i>Scorzoneretalia villosae</i>) |
| <i>Anteriorchis coriophora</i> (L.)E.Klein & Strack subsp. <i>fragrans</i> (Pollini)E.Klein & Strack | PU3 | Praterie igrofile planiziali-collinari dominate da <i>Molinia caerulea</i> | 6410 | Praterie a <i>Molinia</i> su terreni calcarei e argillosi (<i>Molinion caeruleae</i>) |
| <i>Asphodelus albus</i> Mill. subsp. <i>delphiniensis</i> (Gren. & Godr.)Z.Díaz & Valdés | PC4 | Praterie (landa) xero-termofile su substrato calcareo del Carso | 02A0 | Praterie aride submediterraneo-orientali (<i>Scorzoneretalia villosae</i>) |
| <i>Astragalus monspessulanus</i> L. subsp. <i>illyricus</i> (Bernh.)Chater | PC9 | Prato-pascolo su terre rosse del Carso | 02A0 | Praterie aride submediterraneo-orientali (<i>Scorzoneretalia villosae</i>) |
| <i>Astragalus purpureus</i> Lam. subsp. <i>gremlii</i> (Burnat)Asch. & Graebn. | PC10 | Praterie evolute su suolo calcareo delle Prealpi | 02A0 | Praterie aride submediterraneo-orientali (<i>Scorzoneretalia villosae</i>) |
| <i>Astragalus vesicarius</i> L. subsp. <i>carniolicus</i> (Kern.)Chater var. <i>carniolicus</i> | PC4 | Praterie (landa) xero-termofile su substrato calcareo del Carso | 02A0 | Praterie aride submediterraneo-orientali (<i>Scorzoneretalia villosae</i>) |
| <i>Calamagrostis canescens</i> (Weber)Roth subsp. <i>canescens</i> | BU10 | Boschi dominati da <i>Alnus glutinosa</i> | 91E0 * | Foreste alluvionali con <i>Alnus glutinosa</i> e <i>Fraxinus excelsior</i> (<i>Alno-Padion</i> , <i>Alnion incanae</i> , |

| Nome specie | Codice habitat FVG | Descrizione | All. II | natura2000 Denominazione |
|---|--------------------|---|---------|---|
| | | | | Salicion albae) |
| Carex elongata L. | BU10 | Boschi dominati da <i>Alnus glutinosa</i> | 91E0 * | Foreste alluvionali con <i>Alnus glutinosa</i> e <i>Fraxinus excelsior</i> (Alno-Padion, <i>Alnus incanae</i> , <i>Salicion albae</i>) |
| Centaurea cristata Bartl. | PC4 | Praterie (landa) xero-termofile su substrato calcareo del Carso | 62A0 | Praterie aride submediterraneo-orientali (<i>Scorzoneretalia villosae</i>) |
| Centaurea forojulienensis Poldini | UP4 | Torbiere basse alcaline con alto apporto idrico della pianura dominate da <i>Schoenus nigricans</i> | 7230 | Torbiere basse alcaline |
| Cephalanthera rubra (L.)Rich. | PC9 | Prato-pascolo su terre rosse del Carso | 62A0 | Praterie aride submediterraneo-orientali (<i>Scorzoneretalia villosae</i>) |
| Ceratophyllum submersum L. subsp. submersum | AC6 | Fiumi di risorgiva ed altri corsi d'acqua con vegetazione sommersa radicante | 3200 | Corsi d'acqua planiziali e montani con vegetazione di <i>Ranunculus fluitantis</i> e <i>Callitriche-Batrachion</i> |
| Cirsium canum (L.)All. | PU3 | Praterie igrofile planiziali-collinari dominate da <i>Molinia caerulea</i> | 6410 | Praterie a <i>Molinia</i> su terreni calcarei e argillosi (<i>Molinion caeruleae</i>) |
| Cirsium heterophyllum (L.)Hill | PU1 | Vegetazioni ad alte erbe su suoli umidi dominate da <i>Filipendula ulmaria</i> | 6430 | Orli igrofilo ad alte erbe planiziali e dei piani montano ed alpino |
| Dactylorhiza majalis (Rchb.)P.F.Hunt & Summerh. subsp. majalis | PU3 | Praterie igrofile planiziali-collinari dominate da <i>Molinia caerulea</i> | 6410 | Praterie a <i>Molinia</i> su terreni calcarei e argillosi (<i>Molinion caeruleae</i>) |
| Dactylorhiza traunsteineri (Saut. ex Rchb.)Soó subsp. traunsteineri | PU3 | Praterie igrofile planiziali-collinari dominate da <i>Molinia caerulea</i> | 6410 | Praterie a <i>Molinia</i> su terreni calcarei e argillosi (<i>Molinion caeruleae</i>) |
| Dianthus sylvestris Wulfen subsp. tergestinus (Rchb.)Hayek | PC4 | Praterie (landa) xero-termofile su substrato calcareo del Carso | 62A0 | Praterie aride submediterraneo-orientali (<i>Scorzoneretalia villosae</i>) |
| Elytrigia elongata (Host)Nevski | CA4 | Praterie su suoli salmastri dominate da grandi giunchi | 1410 | Prati salati mediterranei (<i>Juncetalia maritimi</i>) |
| Epipactis palustris (L.)Crantz | PU3 | Praterie igrofile planiziali-collinari dominate da <i>Molinia caerulea</i> | 6410 | Praterie a <i>Molinia</i> su terreni calcarei e argillosi (<i>Molinion caeruleae</i>) |
| Euphrasia marchesettii Wettst. | PU3 | Praterie igrofile planiziali-collinari dominate da <i>Molinia caerulea</i> | 6410 | Praterie a <i>Molinia</i> su terreni calcarei e argillosi (<i>Molinion caeruleae</i>) |
| Gentiana pneumonanthe L. subsp. pneumonanthe | PU3 | Praterie igrofile planiziali-collinari dominate da <i>Molinia caerulea</i> | 6410 | Praterie a <i>Molinia</i> su terreni calcarei e argillosi (<i>Molinion caeruleae</i>) |
| Gymnadenia conopsea (L.)R.Br. subsp. conopsea | PC10 | Praterie evolute su suolo calcareo delle Prealpi | 62A0 | Praterie aride submediterraneo-orientali (<i>Scorzoneretalia villosae</i>) |
| Hippuris vulgaris L. | AC6 | Fiumi di risorgiva ed altri corsi d'acqua con vegetazione sommersa radicante | 3200 | Corsi d'acqua planiziali e montani con vegetazione di <i>Ranunculus fluitantis</i> e <i>Callitriche-Batrachion</i> |
| Hottonia palustris L. | AF7 | Specchi d'acqua poco profondi con oscillazioni di livello a vegetazione radicante | 3200 | Corsi d'acqua planiziali e montani con vegetazione di <i>Ranunculus fluitantis</i> e <i>Callitriche-Batrachion</i> |
| Iris cengiali Ambrosi ex A.Kern. subsp. illyrica (Asch. & Graebn.)Poldini | PC4 | Praterie (landa) xero-termofile su substrato calcareo del Carso | 62A0 | Praterie aride submediterraneo-orientali (<i>Scorzoneretalia villosae</i>) |
| Iris sibirica L. | PU3 | Praterie igrofile planiziali-collinari dominate da <i>Molinia caerulea</i> | 6410 | Praterie a <i>Molinia</i> su terreni calcarei e argillosi (<i>Molinion caeruleae</i>) |
| Lagurus ovatus L. subsp. ovatus | CP5 | Pratelli delle dune grigie ricchi in briofite e terofite | 2130 * | Dune fisse a vegetazione erbacea (dune grigie) |
| Leontodon saxatilis Lam. | PU3 | Praterie igrofile planiziali-collinari dominate | 6410 | Praterie a <i>Molinia</i> su |

| Nome specie | Codice habitat FVG | Descrizione | All. II | naturazoo Denominazione |
|--|--------------------|--|---------|--|
| | | da <i>Molinia caerulea</i> | | terreni calcarei e argillosi (<i>Molinia caerulea</i>) |
| <i>Leucanthemum platylepis</i> Borbás | PC4 | Praterie (landa) xero-termofile su substrato calcareo del Carso | 02A0 | Praterie aride submediterraneo-orientali (<i>Scorzoneretalia villosae</i>) |
| <i>Lilium carniolicum</i> Bernh. ex Koch | PC10 | Praterie evolute su suolo calcareo delle Prealpi | 02A0 | Praterie aride submediterraneo-orientali (<i>Scorzoneretalia villosae</i>) |
| <i>Limonium bellidifolium</i> (Gouan) Dumort. | CA9 | Vegetazioni su suoli salati a suffrutici succulenti | 1420 | Cespuglieti alofili mediterranei e termo-atlantici (<i>Sarcocometea fruticosi</i>) |
| <i>Limonium densissimum</i> (Pignatti) Pignatti | CA6 | Praterie su suoli da salati a salmastri dominate da <i>Puccinellia festuciformis</i> con <i>Limonium serotinum</i> | 1510 * | Steppe salate mediterranee (<i>Limonieta</i>) |
| <i>Limonium virgatum</i> (Willd.) Fourr. | CA6 | Praterie su suoli da salati a salmastri dominate da <i>Puccinellia festuciformis</i> con <i>Limonium serotinum</i> | 1510 * | Steppe salate mediterranee (<i>Limonieta</i>) |
| <i>Linum austriacum</i> L. subsp. <i>tommasinii</i> (Rchb.) Greuter & Burdet | PC1 | Praterelli aridi pionieri discontinui | 0110 * | Pratelli erbosi calcarei o basifili degli <i>Alyso-Sedion albi</i> |
| <i>Linum maritimum</i> L. | CA4 | Praterie su suoli salmastri dominate da grandi giunchi | 1410 | Prati salati mediterranei (<i>Juncetalia maritimi</i>) |
| <i>Linum trigynum</i> L. | PC10 | Praterie evolute su suolo calcareo delle Prealpi | 02A0 | Praterie aride submediterraneo-orientali (<i>Scorzoneretalia villosae</i>) |
| <i>Lycopus exaltatus</i> Ehrh. | BU5 | Boschi ripari planiziali dominati da <i>Salix alba</i> e/o <i>Populus nigra</i> | 02A0 | Foreste a galleria di <i>Salix alba</i> e <i>Populus alba</i> |
| <i>Minuartia hybrida</i> (Vill.) Schischk. subsp. <i>hybrida</i> | PC1 | Praterelli aridi pionieri discontinui | 0110 * | Pratelli erbosi calcarei o basifili degli <i>Alyso-Sedion albi</i> |
| <i>Minuartia mediterranea</i> (Ledeb.) Maly | PC1 | Praterelli aridi pionieri discontinui | 0110 * | Pratelli erbosi calcarei o basifili degli <i>Alyso-Sedion albi</i> |
| <i>Monerma cylindrica</i> (Willd.) Coss. & Durieu | CA2 | Vegetazioni su suoli limoso-argillosi salmastri con disseccamento estivo a salicornie diploidi | 1910 | Vegetazione pioniera di <i>Salicornia</i> e altre specie annue delle zone fangose e sabbiose |
| <i>Muscari tenuiflorum</i> Tausch | PC10 | Praterie evolute su suolo calcareo delle Prealpi | 02A0 | Praterie aride submediterraneo-orientali (<i>Scorzoneretalia villosae</i>) |
| <i>Myosotis discolor</i> Pers. subsp. <i>discolor</i> | PC1 | Praterelli aridi pionieri discontinui | 0110 * | Pratelli erbosi calcarei o basifili degli <i>Alyso-Sedion albi</i> |
| <i>Najas minor</i> All. | AC6 | Fiumi di risorgiva ed altri corsi d'acqua con vegetazione sommersa radicante | 3200 | Corsi d'acqua planiziali e montani con vegetazione di <i>Ranunculus fluitans</i> e <i>Callitriche-Batrachion</i> |
| <i>Onobrychis arenaria</i> (Kit.) DC. subsp. <i>tommasinii</i> (Jord.) Asch. & Graebn. | PC9 | Prato-pascolo su terre rosse del Carso | 02A0 | Praterie aride submediterraneo-orientali (<i>Scorzoneretalia villosae</i>) |
| <i>Ophrys apifera</i> Huds. subsp. <i>apifera</i> | PC9 | Prato-pascolo su terre rosse del Carso | 02A0 | Praterie aride submediterraneo-orientali (<i>Scorzoneretalia villosae</i>) |
| <i>Ophrys bertoloniformis</i> O. & E. Danesch subsp. <i>benacensis</i> Reising | PC10 | Praterie evolute su suolo calcareo delle Prealpi | 02A0 | Praterie aride submediterraneo-orientali (<i>Scorzoneretalia villosae</i>) |
| <i>Ophrys incubacea</i> Bianca ex Tod. | PC4 | Praterie (landa) xero-termofile su substrato calcareo del Carso | 02A0 | Praterie aride submediterraneo-orientali (<i>Scorzoneretalia villosae</i>) |
| <i>Ophrys sphegodes</i> Mill. subsp. <i>sphogodes</i> | PC10 | Praterie evolute su suolo calcareo delle Prealpi | 02A0 | Praterie aride submediterraneo-orientali (<i>Scorzoneretalia villosae</i>) |

| Nome specie | Codice habitat FVG | Descrizione | All. II | natura2000 Denominazione |
|--|--------------------|--|---------|--|
| | | | | villosae) |
| <i>Orchis laxiflora</i> Lam. subsp. <i>laxiflora</i> | PU3 | Praterie igrofile planiziali-collinari dominate da <i>Molinia caerulea</i> | 0410 | Praterie a <i>Molinia</i> su terreni calcarei e argillosi (<i>Molinia caeruleae</i>) |
| <i>Orchis mascula</i> (L.)L. subsp. <i>mascula</i> | PC9 | Prato-pascolo su terre rosse del Carso | 02A0 | Praterie aride submediterraneo-orientali (<i>Scorzoneretalia villosae</i>) |
| <i>Orchis mascula</i> (L.)L. subsp. <i>signifera</i> (Vest)Soó | PC9 | Prato-pascolo su terre rosse del Carso | 02A0 | Praterie aride submediterraneo-orientali (<i>Scorzoneretalia villosae</i>) |
| <i>Orchis militaris</i> L. | PC4 | Praterie (landa) xero-termofile su substrato calcareo del Carso | 02A0 | Praterie aride submediterraneo-orientali (<i>Scorzoneretalia villosae</i>) |
| <i>Orchis morio</i> L. subsp. <i>morio</i> | PC4 | Praterie (landa) xero-termofile su substrato calcareo del Carso | 02A0 | Praterie aride submediterraneo-orientali (<i>Scorzoneretalia villosae</i>) |
| <i>Orchis pallens</i> L. | PC1 | Praterelli aridi pionieri discontinui | 0110 * | Pratelli erbosi calcarei o basifili degli <i>Alyso-Sedion albi</i> |
| <i>Orchis palustris</i> Jacq. | PU3 | Praterie igrofile planiziali-collinari dominate da <i>Molinia caerulea</i> | 0410 | Praterie a <i>Molinia</i> su terreni calcarei e argillosi (<i>Molinia caeruleae</i>) |
| <i>Orchis papilionacea</i> L. subsp. <i>papilionacea</i> | PC4 | Praterie (landa) xero-termofile su substrato calcareo del Carso | 02A0 | Praterie aride submediterraneo-orientali (<i>Scorzoneretalia villosae</i>) |
| <i>Orchis simia</i> Lam. | PC4 | Praterie (landa) xero-termofile su substrato calcareo del Carso | 02A0 | Praterie aride submediterraneo-orientali (<i>Scorzoneretalia villosae</i>) |
| <i>Orchis spitzelii</i> Saut. ex Koch | PC9 | Prato-pascolo su terre rosse del Carso | 02A0 | Praterie aride submediterraneo-orientali (<i>Scorzoneretalia villosae</i>) |
| <i>Orchis tridentata</i> Scop. subsp. <i>tridentata</i> | PC10 | Praterie evolute su suolo calcareo delle Prealpi | 02A0 | Praterie aride submediterraneo-orientali (<i>Scorzoneretalia villosae</i>) |
| <i>Orchis ustulata</i> L. subsp. <i>ustulata</i> | PC10 | Praterie evolute su suolo calcareo delle Prealpi | 02A0 | Praterie aride submediterraneo-orientali (<i>Scorzoneretalia villosae</i>) |
| <i>Orobanche picridis</i> F.W.Schultz | PC4 | Praterie (landa) xero-termofile su substrato calcareo del Carso | 02A0 | Praterie aride submediterraneo-orientali (<i>Scorzoneretalia villosae</i>) |
| <i>Parapholis incurva</i> (L.)C.E.Hubb. | CA2 | Vegetazioni su suoli limoso-argillosi salmastri con disseccamento estivo a salicornie diploidi | 1310 | Vegetazione pioniera di <i>Salicornia</i> e altre specie annue delle zone fangose e sabbiose |
| <i>Parapholis strigosa</i> (Dumort.)C.E.Hubb. | CA2 | Vegetazioni su suoli limoso-argillosi salmastri con disseccamento estivo a salicornie diploidi | 1310 | Vegetazione pioniera di <i>Salicornia</i> e altre specie annue delle zone fangose e sabbiose |
| <i>Pisum sativum</i> L. subsp. <i>elatius</i> (M.Bieb.)Asch. & Graebn. | PC4 | Praterie (landa) xero-termofile su substrato calcareo del Carso | 02A0 | Praterie aride submediterraneo-orientali (<i>Scorzoneretalia villosae</i>) |
| <i>Plantago altissima</i> L. | PU3 | Praterie igrofile planiziali-collinari dominate da <i>Molinia caerulea</i> | 0410 | Praterie a <i>Molinia</i> su terreni calcarei e argillosi (<i>Molinia caeruleae</i>) |
| <i>Plantago coronopus</i> L. subsp. <i>coronopus</i> | CA2 | Vegetazioni su suoli limoso-argillosi salmastri con disseccamento estivo a salicornie diploidi | 1310 | Vegetazione pioniera di <i>Salicornia</i> e altre specie annue delle zone fangose e sabbiose |
| <i>Platanthera bifolia</i> (L.)Rich. subsp. <i>bifolia</i> | PU3 | Praterie igrofile planiziali-collinari dominate | 0410 | Praterie a <i>Molinia</i> su |

| Nome specie | Codice habitat FVG | Descrizione | All. II | natura2000 Denominazione |
|--|--------------------|--|---------|---|
| | | da <i>Molinia caerulea</i> | | terreni calcarei e argillosi (<i>Molinion caeruleae</i>) |
| <i>Platanthera chlorantha</i> (Custer) Rchb. subsp. <i>chlorantha</i> | PU3 | Praterie igrofile planiziali-collinari dominate da <i>Molinia caerulea</i> | 0410 | Praterie a <i>Molinia</i> su terreni calcarei e argillosi (<i>Molinion caeruleae</i>) |
| <i>Polygonum monspeliensis</i> (L.) Desf. | CA6 | Praterie su suoli da salati a salmastri dominate da <i>Puccinellia festuciformis</i> con <i>Limonium serotinum</i> | 1510 * | Steppe salate mediterranee (<i>Limonietalia</i>) |
| <i>Polygonum viridis</i> (Gouan) Breistr. | CA4 | Praterie su suoli salmastri dominate da grandi giunchi | 1410 | Prati salati mediterranei (<i>Juncetalia maritimi</i>) |
| <i>Potamogeton bertholdii</i> Fieber | AC6 | Fiumi di risorgiva ed altri corsi d'acqua con vegetazione sommersa radicante | 3260 | Corsi d'acqua planiziali e montani con vegetazione di <i>Ranuncion fluitantis</i> e <i>Callitricho-Batrachion</i> |
| <i>Psilurus incurvus</i> (Gouan) Schinz & Thell. | PC1 | Praterelli aridi pionieri discontinui | 0110 * | Pratelli erbosi calcarei o basifili degli <i>Alyso-Sedion albi</i> |
| <i>Puccinellia fasciculata</i> (Torr.) E.P. Bicknell subsp. <i>fasciculata</i> | CA6 | Praterie su suoli da salati a salmastri dominate da <i>Puccinellia festuciformis</i> con <i>Limonium serotinum</i> | 1510 * | Steppe salate mediterranee (<i>Limonietalia</i>) |
| <i>Pulsatilla montana</i> (Hoppe) Rchb. subsp. <i>montana</i> | PC4 | Praterie (landa) xero-termofile su substrato calcareo del Carso | 02A0 | Praterie aride submediterraneo-orientali (<i>Scorzoneretalia villosae</i>) |
| <i>Ranunculus aesontinus</i> Pignatti | PU3 | Praterie igrofile planiziali-collinari dominate da <i>Molinia caerulea</i> | 0410 | Praterie a <i>Molinia</i> su terreni calcarei e argillosi (<i>Molinion caeruleae</i>) |
| <i>Ranunculus circinatus</i> Sibth. | AF7 | Specchi d'acqua poco profondi con oscillazioni di livello a vegetazione radicante | 3260 | Corsi d'acqua planiziali e montani con vegetazione di <i>Ranuncion fluitantis</i> e <i>Callitricho-Batrachion</i> |
| <i>Ranunculus illyricus</i> L. | PC9 | Prato-pascolo su terre rosse del Carso | 02A0 | Praterie aride submediterraneo-orientali (<i>Scorzoneretalia villosae</i>) |
| <i>Ranunculus muricatus</i> L. | PU3 | Praterie igrofile planiziali-collinari dominate da <i>Molinia caerulea</i> | 0410 | Praterie a <i>Molinia</i> su terreni calcarei e argillosi (<i>Molinion caeruleae</i>) |
| <i>Rorippa lippizensis</i> (Wulfen) Rchb. | PC4 | Praterie (landa) xero-termofile su substrato calcareo del Carso | 02A0 | Praterie aride submediterraneo-orientali (<i>Scorzoneretalia villosae</i>) |
| <i>Sagittaria sagittifolia</i> L. | AC6 | Fiumi di risorgiva ed altri corsi d'acqua con vegetazione sommersa radicante | 3260 | Corsi d'acqua planiziali e montani con vegetazione di <i>Ranuncion fluitantis</i> e <i>Callitricho-Batrachion</i> |
| <i>Salicornia emerici</i> Duval-Jouve | CA3 | Vegetazioni su suoli limoso-argillosi salmastri senza disseccamento estivo a salicornie tetraploidi | 1310 | Vegetazione pioniera di <i>Salicornia</i> e altre specie annue delle zone fangose e sabbiose |
| <i>Salicornia veneta</i> Pignatti & Lausi | CA3 | Vegetazioni su suoli limoso-argillosi salmastri senza disseccamento estivo a salicornie tetraploidi | 1310 | Vegetazione pioniera di <i>Salicornia</i> e altre specie annue delle zone fangose e sabbiose |
| <i>Satureja subspicata</i> Bartl. ex Vis. subsp. <i>liburnica</i> Silic | PC4 | Praterie (landa) xero-termofile su substrato calcareo del Carso | 02A0 | Praterie aride submediterraneo-orientali (<i>Scorzoneretalia villosae</i>) |
| <i>Scorzonera villosa</i> Scop. subsp. <i>villosa</i> | PC9 | Prato-pascolo su terre rosse del Carso | 02A0 | Praterie aride submediterraneo-orientali (<i>Scorzoneretalia villosae</i>) |
| <i>Senecio fontanicola</i> Grulich & Hodálová | UP4 | Torbiere basse alcaline con alto apporto idrico della pianura dominate da <i>Schoenus nigricans</i> | 7230 | Torbiere basse alcaline |
| <i>Senecio viscosus</i> L. | PC1 | Praterelli aridi pionieri discontinui | 0110 * | Pratelli erbosi calcarei o basifili degli <i>Alyso-Sedion albi</i> |
| <i>Seseli tommasinii</i> Rchb. | PC4 | Praterie (landa) xero-termofile su substrato calcareo del Carso | 02A0 | Praterie aride submediterraneo-orientali (<i>Scorzoneretalia villosae</i>) |

| Nome specie | Codice habitat FVG | Descrizione | All. II | natura2000 Denominazione |
|--|--------------------|---|---------|--|
| | | | | villosae) |
| <i>Spergularia marina</i> (L.)Besser | CA2 | Vegetazioni su suoli limoso-argillosi salmastri con disseccamento estivo a salicornie diploidi | 1310 | Vegetazione pioniera di <i>Salicornia</i> e altre specie annue delle zone fangose e sabbiose |
| <i>Spiranthes aestivalis</i> (Poir.)Rich. | UP4 | Torbiere basse alcaline con alto apporto idrico della pianura dominate da <i>Schoenus nigricans</i> | 7230 | Torbiere basse alcaline |
| <i>Spiranthes spiralis</i> (L.)Chevall. | PC9 | Prato-pascolo su terre rosse del Carso | 62A0 | Praterie aride submediterraneo-orientali (Scorzoneretalia villosae) |
| <i>Succisella inflexa</i> (Kluc)Beck | PU3 | Praterie igrofile planiziali-collinari dominate da <i>Molinia caerulea</i> | 6410 | Praterie a <i>Molinia</i> su terreni calcarei e argillosi (<i>Molinion caeruleae</i>) |
| <i>Tragopogon porrifolius</i> L. subsp. <i>porrifolius</i> | PC4 | Praterie (landa) xero-termofile su substrato calcareo del Carso | 62A0 | Praterie aride submediterraneo-orientali (Scorzoneretalia villosae) |
| <i>Tragopogon tommasinii</i> Sch.Bip. | PC4 | Praterie (landa) xero-termofile su substrato calcareo del Carso | 62A0 | Praterie aride submediterraneo-orientali (Scorzoneretalia villosae) |
| <i>Trifolium nigrescens</i> Viv. subsp. <i>nigrescens</i> | PC1 | Praterelli aridi pionieri discontinui | 6110 * | Pratelli erbosi calcarei o basifili degli <i>Alyso-Sedion albi</i> |
| <i>Trifolium ochroleucon</i> Huds. | PC10 | Praterie evolute su suolo calcareo delle Prealpi | 62A0 | Praterie aride submediterraneo-orientali (Scorzoneretalia villosae) |
| <i>Triglochin maritimum</i> L. | CA4 | Praterie su suoli salmastri dominate da grandi giunchi | 1410 | Prati salati mediterranei (<i>Juncetalia maritimi</i>) |
| <i>Utricularia minor</i> L. | AC4 | Acque torrentizie oligotrofiche di risorgiva con <i>Potamogeton coloratus</i> | 3200 | Corsi d'acqua planiziali e montani con vegetazione di <i>Ranunculus fluitantis</i> e <i>Callitricho-Batrachion</i> |
| <i>Vallisneria spiralis</i> L. | AC6 | Fiumi di risorgiva ed altri corsi d'acqua con vegetazione sommersa radicante | 3200 | Corsi d'acqua planiziali e montani con vegetazione di <i>Ranunculus fluitantis</i> e <i>Callitricho-Batrachion</i> |

Tabella 4: specie target di flora scelte per il paesaggio prealpino delle Prealpi Giulie

| Nome specie | Codice habitat FVG | Descrizione. | All. II | natura2000 Denominazione |
|--|--------------------|--|---------|---|
| <i>Anacamptis pyramidalis</i> (L.)Rich. | PC10 | Praterie evolute su suolo calcareo delle Prealpi | 62A0 | Praterie aride submediterraneo-orientali (Scorzoneretalia villosae) |
| <i>Anteriorchis coriophora</i> (L.)E.Klein & Strack subsp. <i>fragrans</i> (Pollini)E.Klein & Strack | PC5 | Praterie xerofile primitive su alluvioni calcaree (magredo) dell'avanterra alpino | 62A0 | Praterie aride submediterraneo-orientali (Scorzoneretalia villosae) |
| <i>Asphodelus albus</i> Mill. subsp. <i>delphiniensis</i> (Gren. & Godr.)Z.Díaz & Valdés | PC10 | Praterie evolute su suolo calcareo delle Prealpi | 62A0 | Praterie aride submediterraneo-orientali (Scorzoneretalia villosae) |
| <i>Coeloglossum viride</i> (L.)Hartm. | PM4 | Pascoli d'alpeggio su suoli ricchi dominati da <i>Poa alpina</i> e <i>Poa supina</i> | | |
| <i>Cyclamen purpurascens</i> Mill. | BL11 | Carpineti del piano collinare | 91L0 | Quercu-carpineti illirici (<i>Erythronio-Carpinion</i>) |
| <i>Epipactis muelleri</i> Godfery | OB3 | Orti boschivi planiziali e collinari | | |
| <i>Euphorbia esula</i> L. subsp. <i>esula</i> | PC10 | Praterie evolute su suolo calcareo delle Prealpi | 62A0 | Praterie aride submediterraneo-orientali (Scorzoneretalia villosae) |

| Nome specie | Codice habitat FVG | Descrizione. | All. II | natura2000 Denominazione |
|---|--------------------|--|---------|---|
| <i>Euphorbia triflora</i> Schott subsp. <i>kernerii</i> (Huter) Poldini | PC5 | Praterie xerofile primitive su alluvioni calcaree (magredo) dell'avanterra alpino | 02A0 | Praterie aride submediterraneo-orientali (Scorzoneretalia villosae) |
| <i>Galium glaucum</i> L. | OB3 | Orti boschivi pianiziali e collinari | | |
| <i>Gymnadenia conopsea</i> (L.) R.Br. subsp. <i>conopsea</i> | PC8 | Praterie evolute su suoli ferrettizzati dei terrazzi fluviali stabilizzati (magredi) dell'avanterra alpino | 02A0 | Praterie aride submediterraneo-orientali (Scorzoneretalia villosae) |
| <i>Helleborus niger</i> L. subsp. <i>niger</i> | BL14 | Boschi delle forre prealpine a <i>Fraxinus excelsior</i> e <i>Acer pseudoplatanus</i> | 01B0 * | Foreste di pendio, forre e ghiaioni dei Tilio-Acerion |
| <i>Herminium monorchis</i> (L.) R.Br. | PC10 | Praterie evolute su suolo calcareo delle Prealpi | 02A0 | Praterie aride submediterraneo-orientali (Scorzoneretalia villosae) |
| <i>Iris cengialti</i> Ambrosi ex A.Kern. subsp. <i>illyrica</i> (Asch. & Graebn.) Poldini | PC8 | Praterie evolute su suoli ferrettizzati dei terrazzi fluviali stabilizzati (magredi) dell'avanterra alpino | 02A0 | Praterie aride submediterraneo-orientali (Scorzoneretalia villosae) |
| <i>Leontopodium alpinum</i> Cass. subsp. <i>alpinum</i> | PC7 | Praterie xerofile su substrato calcareo di pendio (magredo) prealpine | 02A0 | Praterie aride submediterraneo-orientali (Scorzoneretalia villosae) |
| <i>Leucanthemum platylepis</i> Borbás | PC8 | Praterie evolute su suoli ferrettizzati dei terrazzi fluviali stabilizzati (magredi) dell'avanterra alpino | 02A0 | Praterie aride submediterraneo-orientali (Scorzoneretalia villosae) |
| <i>Libanotis daucifolia</i> (Scop.) Rchb. | OB3 | Orti boschivi pianiziali e collinari | | |
| <i>Lilium bulbiferum</i> L. subsp. <i>bulbiferum</i> | OB3 | Orti boschivi pianiziali e collinari | | |
| <i>Lilium carnolicum</i> Bernh. ex Koch | PC10 | Praterie evolute su suolo calcareo delle Prealpi | 02A0 | Praterie aride submediterraneo-orientali (Scorzoneretalia villosae) |
| <i>Lilium martagon</i> L. | BL14 | Boschi delle forre prealpine a <i>Fraxinus excelsior</i> e <i>Acer pseudoplatanus</i> | 01B0 * | Foreste di pendio, forre e ghiaioni dei Tilio-Acerion |
| <i>Limodorum abortivum</i> (L.) Sw. subsp. <i>abortivum</i> | BL10 | Querceti su suoli neutro-acidi del Collio e delle colline moreniche a <i>Quercus petraea</i> | 01L0 | Querceto-carpineti illirici (Erythronio-Carpinion) |
| <i>Matthiola fruticulosa</i> (L.) Maire subsp. <i>valesiaca</i> (Boiss.) P.W.Ball | PC5 | Praterie xerofile primitive su alluvioni calcaree (magredo) dell'avanterra alpino | 02A0 | Praterie aride submediterraneo-orientali (Scorzoneretalia villosae) |
| <i>Melampyrum cristatum</i> L. subsp. <i>cristatum</i> | OB3 | Orti boschivi pianiziali e collinari | | |
| <i>Narcissus radiiflorus</i> Salisb. | PC8 | Praterie evolute su suoli ferrettizzati dei terrazzi fluviali stabilizzati (magredi) dell'avanterra alpino | 02A0 | Praterie aride submediterraneo-orientali (Scorzoneretalia villosae) |
| <i>Neottia nidus-avis</i> (L.) Rich. | BL11 | Carpineti del piano collinare | 01L0 | Querceto-carpineti illirici (Erythronio-Carpinion) |
| <i>Nigritella nigra</i> (aggr.) | PC7 | Praterie xerofile su substrato calcareo di pendio (magredo) prealpine | 02A0 | Praterie aride submediterraneo-orientali (Scorzoneretalia villosae) |
| <i>Ophrys incubacea</i> Bianca ex Tod. | PC10 | Praterie evolute su suolo calcareo delle Prealpi | 02A0 | Praterie aride submediterraneo-orientali (Scorzoneretalia villosae) |
| <i>Ophrys sphegodes</i> Mill. subsp. <i>sphogodes</i> | PC8 | Praterie evolute su suoli ferrettizzati dei terrazzi fluviali stabilizzati (magredi) dell'avanterra alpino | 02A0 | Praterie aride submediterraneo-orientali (Scorzoneretalia villosae) |
| <i>Orchis mascula</i> (L.) L. subsp. <i>mascula</i> | BL11 | Carpineti del piano collinare | 01L0 | Querceto-carpineti illirici (Erythronio-Carpinion) |
| <i>Orchis mascula</i> (L.) L. subsp. <i>signifera</i> (Vest) Soó | BL11 | Carpineti del piano collinare | 01L0 | Querceto-carpineti illirici (Erythronio-Carpinion) |
| <i>Orchis militaris</i> L. | PC8 | Praterie evolute su suoli ferrettizzati dei terrazzi fluviali stabilizzati (magredi) dell'avanterra alpino | 02A0 | Praterie aride submediterraneo-orientali (Scorzoneretalia villosae) |

| Nome specie | Codice habitat FVG | Descrizione. | All. II | natura2000 Denominazione |
|--|--------------------|--|---------|---|
| <i>Orchis morio</i> L. subsp. <i>morio</i> | PCa | Praterie evolute su suoli ferrettizzati dei terrazzi fluviali stabilizzati (magredi) dell'avanterra alpino | 02A0 | Praterie aride submediterraneo-orientali (Scorzoneretalia villosae) |
| <i>Orchis pallens</i> L. | PC5 | Praterie xerofile primitive su alluvioni calcaree (magredo) dell'avanterra alpino | 02A0 | Praterie aride submediterraneo-orientali (Scorzoneretalia villosae) |
| <i>Orchis papilionacea</i> L. subsp. <i>papilionacea</i> | PCa | Praterie evolute su suoli ferrettizzati dei terrazzi fluviali stabilizzati (magredi) dell'avanterra alpino | 02A0 | Praterie aride submediterraneo-orientali (Scorzoneretalia villosae) |
| <i>Orchis simia</i> Lam. | PC7 | Praterie xerofile su substrato calcareo di pendio (magredo) prealpine | 02A0 | Praterie aride submediterraneo-orientali (Scorzoneretalia villosae) |
| <i>Orchis tridentata</i> Scop. subsp. <i>tridentata</i> | PC10 | Praterie evolute su suolo calcareo delle Prealpi | 02A0 | Praterie aride submediterraneo-orientali (Scorzoneretalia villosae) |
| <i>Orchis ustulata</i> L. subsp. <i>ustulata</i> | PC10 | Praterie evolute su suolo calcareo delle Prealpi | 02A0 | Praterie aride submediterraneo-orientali (Scorzoneretalia villosae) |
| <i>Paeonia officinalis</i> L. subsp. <i>officinalis</i> | OB3 | Orli boschivi planiziali e collinari | | |
| <i>Peucedanum carvifolia</i> Vill. | OB3 | Orli boschivi planiziali e collinari | | |
| <i>Platanthera bifolia</i> (L.)Rich. subsp. <i>bifolia</i> | BL11 | Carpineti del piano collinare | 91Lo | Quercio-carpineti illirici (Erythronio-Carpinion) |
| <i>Platanthera chlorantha</i> (Custer)Rchb. subsp. <i>chlorantha</i> | BL11 | Carpineti del piano collinare | 91Lo | Quercio-carpineti illirici (Erythronio-Carpinion) |
| <i>Polygala nicaeensis</i> Risso ex Koch subsp. <i>forojulensis</i> (A.Kern.)Graebn. | PC7 | Praterie xerofile su substrato calcareo di pendio (magredo) prealpine | 02A0 | Praterie aride submediterraneo-orientali (Scorzoneretalia villosae) |
| <i>Pulsatilla montana</i> (Hoppe)Rchb. subsp. <i>montana</i> | PCa | Praterie evolute su suoli ferrettizzati dei terrazzi fluviali stabilizzati (magredi) dell'avanterra alpino | 02A0 | Praterie aride submediterraneo-orientali (Scorzoneretalia villosae) |
| <i>Ruscus aculeatus</i> L. | BL10 | Querceti su suoli neutro-acidi del Collio e delle colline moreniche a <i>Quercus petraea</i> | 91Lo | Quercio-carpineti illirici (Erythronio-Carpinion) |
| <i>Serapias vomeracea</i> (Burm.f.)Briq. subsp. <i>vomeracea</i> | PCa | Praterie evolute su suoli ferrettizzati dei terrazzi fluviali stabilizzati (magredi) dell'avanterra alpino | 02A0 | Praterie aride submediterraneo-orientali (Scorzoneretalia villosae) |
| <i>Spiranthes spiralis</i> (L.)Chevall. | PCa | Praterie evolute su suoli ferrettizzati dei terrazzi fluviali stabilizzati (magredi) dell'avanterra alpino | 02A0 | Praterie aride submediterraneo-orientali (Scorzoneretalia villosae) |
| <i>Traunsteinera globosa</i> (L.)Rchb. | PC10 | Praterie evolute su suolo calcareo delle Prealpi | 02A0 | Praterie aride submediterraneo-orientali (Scorzoneretalia villosae) |
| <i>Trifolium ochroleucon</i> Huds. | PC10 | Praterie evolute su suolo calcareo delle Prealpi | 02A0 | Praterie aride submediterraneo-orientali (Scorzoneretalia villosae) |
| <i>Veronica serpyllifolia</i> L. var. <i>humifusa</i> (Dicks.)Vahl | PM4 | Pascoli d'alpeggio su suoli ricchi dominati da <i>Poa alpina</i> e <i>Poa supina</i> | | |
| <i>Vicia cassubica</i> L. | OB3 | Orli boschivi planiziali e collinari | | |

Tabella 5: habitat target per il paesaggio di alta pianura pordenonese

| Codice habitat target | Codice habitat FVG | Denominazione habitat FVG | Codice habitat N2000 | Natura 2000 Denominazione |
|-----------------------|--------------------|--|----------------------|--|
| AA0 | AA0 | Vegetazione erbacea delle ghiaie del medio corso dei fiumi | 8220 | Fiumi alpini e loro vegetazione riparia erbacea |
| BL11 | BL11 | Carpineti del piano collinare | 91L0 | Quercio-carpineti illirici (Erythronio-Carpinion) |
| BL19 | BL19 | Ostrio-querceti su suoli basici del piano collinare delle Prealpi | | |
| BL22 | BL22 | Ostreti su substrati carbonatici primitivi con Erica carnea | | |
| BL23 | BL23 | Ostreti su substrati carbonatici senza Erica carnea | | |
| BU10 | BU10 | Boschi dominati da Alnus glutinosa | 91E0* | Foreste alluvionali con Alnus glutinosa e Fraxinus excelsior (Alno-Padion, Alnion incanae, Salicion albae) |
| BU5 | BU5 | Boschi ripari planiziali dominati da Salix alba e/o Populus nigra | 92A0 | Foreste a galleria di Salix alba e Populus alba |
| PC ev | PC10 | Praterie evolute su suolo calcareo delle Prealpi | 62A0 | Praterie aride submediterraneo-orientali (Scorzoneretalia villosae) |
| PC ev | PC8 | Praterie evolute su suoli ferrettizzati dei terrazzi fluviali stabilizzati (magredi) dell'avanterra alpino | 62A0 | Praterie aride submediterraneo-orientali (Scorzoneretalia villosae) |
| PC pr | PC5 | Praterie xerofile primitive su alluvioni calcaree (magredo) dell'avanterra alpino | 62A0 | Praterie aride submediterraneo-orientali (Scorzoneretalia villosae) |
| PC pr | PC6 | Praterie xerofile semi-evolute sui primi terrazzi alluvionali (magredo) dell'avanterra alpino con Schoenus nigricans | 62A0 | Praterie aride submediterraneo-orientali (Scorzoneretalia villosae) |
| PC pr | PC7 | Praterie xerofile su substrato calcareo di pendio (magredo) prealpine | 62A0 | Praterie aride submediterraneo-orientali (Scorzoneretalia villosae) |
| PM1 | PM1 | Prati da sfalcio dominati da Arrhenatherum elatius | 6510 | Prati da sfalcio di bassa quota (Alopecurus pratensis, Sanguisorba officinalis) |
| PU3 | PU3 | Praterie igrofile planiziali-collinari dominate da Molinia caerulea | 6410 | Praterie a Molinia su terreni calcarei e argillosi (Molinion caeruleae) |
| UP4 | UP4 | Torbiere basse alcaline con alto apporto idrico della pianura dominate da Schoenus nigricans | 7230 | Torbiere basse alcaline |
| UP7 | UP7 | Torbiere basse alcaline subalpine dominate da Carex davalliana | 7230 | Torbiere basse alcaline |

Tabella 6: habitat target per il paesaggio di bassa pianura udinese

| Codice habitat target | Codice habitat FVG | Denominazione habitat FVG | Codice habitat N2000 | Denominazione N2000 |
|-----------------------|--------------------|---|----------------------|---|
| BL13 | BL13 | Quercio-carpineti subigrofilo su sedimenti fluvio-glaciali fini della pianura | 91Lo | Quercio-carpineti illirici (Erythronio-Carpinion) |
| BU10 | BU10 | Boschi dominati da <i>Alnus glutinosa</i> | 91E0* | Foreste alluvionali con <i>Alnus glutinosa</i> e <i>Fraxinus excelsior</i> (Alno-Padion, <i>Alnus incanae</i> , <i>Salix albae</i>) |
| BU5 | BU5 | Boschi ripari planiziali dominati da <i>Salix alba</i> e/o <i>Populus nigra</i> | 92A0 | Foreste a galleria di <i>Salix alba</i> e <i>Populus alba</i> |
| BU7 | BU7 | Boschi dei suoli inondati dominati da <i>Fraxinus angustifolia</i> subsp. <i>oxycarpa</i> | 91F0 | Foreste ripariali miste lungo i grandi fiumi a <i>Quercus robur</i> , <i>Ulmus laevis</i> e <i>Ulmus minor</i> , <i>Fraxinus excelsior</i> o <i>Fraxinus angustifolia</i> (<i>Ulmion minoris</i>) |
| PC10 | PC10 | Praterie evolute su suolo calcareo delle Prealpi | 62A0 | Praterie aride submediterraneo-orientali (<i>Scorzoneretalia villosae</i>) |
| PM1 | PM1 | Prati da sfalcio dominati da <i>Arrhenatherum elatius</i> | 6510 | Prati da sfalcio di bassa quota (<i>Alopecurus pratensis</i> , <i>Sanguisorba officinalis</i>) |
| PU3 | PU3 | Praterie igrofile planiziali-collinari dominate da <i>Molinia caerulea</i> | 6410 | Praterie a <i>Molinia</i> su terreni calcarei e argillosi (<i>Molinia caerulea</i>) |
| UC11 | UC11 | Vegetazioni su suoli a forte imbibizione di acqua dolce e delle olle di risorgiva dominate da <i>Cladium mariscus</i> | 7210* | Paludi calcaree a <i>Cladium mariscus</i> e specie di <i>Caricion davallianae</i> |
| UP4 | UP4 | Torbiere basse alcaline con alto apporto idrico della pianura dominate da <i>Schoenus nigricans</i> | 7230 | Torbiere basse alcaline |

Tabella 7: habitat target per il paesaggio urbanizzato della pianura e Carso monfalconese

| Codice habitat target | Codice habitat FVG | Denominazione habitat FVG | Codice habitat N2000 | Denominazione N2000 |
|-----------------------|--------------------|--|----------------------|--|
| AC | AC3 | Acque torrentizie del corso medio ed inferiore dei torrenti alpini e prealpini (meta e iporhithral) prive di vegetazione | | |
| AC | AC4 | Acque torrentizie oligotrofiche di risorgiva con Potamogeton coloratus | 3200 | Fiumi delle pianure e montani con vegetazione del Ranunculus fluitantis e Callitriche- Batrachion. |
| AC | AC6 | Fiumi di risorgiva ed altri corsi d'acqua con vegetazione sommersa radicante | 3200 | Fiumi delle pianure e montani con vegetazione del Ranunculus fluitantis e Callitriche- Batrachion. |
| AC | AC6 | Fiumi di risorgiva ed altri corsi d'acqua con vegetazione sommersa radicante | 3200 | Fiumi delle pianure e montani con vegetazione del Ranunculus fluitantis e Callitriche- Batrachion. |
| AC | AF7 | Specchi d'acqua poco profondi con oscillazioni di livello a vegetazione radicante | 3200 | Fiumi delle pianure e montani con vegetazione del Ranunculus fluitantis e Callitriche- Batrachion. |
| BL13 | BL13 | Quercu-carpineti subigrofili su sedimenti fluvio-glaciali fini della pianura | 91L0 | Querceti di rovere illirici (Erythronio-Carpinion) |
| BU10 | BU10 | Boschi dominati da Alnus glutinosa | 91E0* | Foreste alluvionali di Alnus glutinosa e Fraxinus excelsior (Alno-Padion, Alnion incanae, Salicion albae) |
| BU5 | BU5 | Boschi ripari planiziali dominati da Salix alba e/o Populus nigra | | |
| BU | BU7 | Boschi dei suoli inondata dominati da Fraxinus angustifolia subsp. oxycarpa | 91E0* | Foreste alluvionali di Alnus glutinosa e Fraxinus excelsior (Alno-Padion, Alnion incanae, Salicion albae) |
| BU | BU8 | Boschi dei terrazzi fluviali dominati da Quercus robur e Fraxinus angustifolia subsp. Oxycarpa | 91F0 | Foreste miste riparie di grandi fiumi a Quercus robur, Ulmus laevis e Ulmus minor, Fraxinus excelsior o Fraxinus angustifolia (Ulmenion minoris) |
| CA | CA1 | Praterie su suoli limoso-sabbiosi salati e perennemente inondata a Spartina maritima | 1320 | Prati di Spartina (Spartinion maritimae) |
| CA | CA2 | Vegetazioni su suoli limoso-argillosi salmastri con disseccamento estivo a salicornie diploidi | 1310 | Vegetazione annua pioniera a Salicornia e altre specie delle zone fangose e sabbiose |
| CA | CA3 | Vegetazioni su suoli limoso-argillosi salmastri senza disseccamento estivo a salicornie tetraploidi | 1310 | Vegetazione annua pioniera a Salicornia e altre specie delle zone fangose e sabbiose |
| CA | CA4 | Praterie su suoli salmastri dominate da grandi giunchi | 1410 | Pascoli inondata mediterranei (Juncetalia maritimi) |
| CA | CA6 | Praterie su suoli da salati a salmastri dominate da Puccinellia festuciformis con Limonium serotinum | 1420 | Praterie e fruticeti alofili mediterranei e termo-atlantici (Sarcocornietea fruticosi) |
| CA | CA8 | Vegetazioni su suoli limosi salati a forte disseccamento estivo ad Artemisia caerulescens | 1420 | Praterie e fruticeti alofili mediterranei e termo-atlantici (Sarcocornietea fruticosi) |
| CA | CA9 | Vegetazioni su suoli salati a suffrutici succulenti | 1420 | Praterie e fruticeti alofili mediterranei e termo-atlantici (Sarcocornietea fruticosi) |
| CP5 | CP5 | Pratelli delle dune grigie ricchi in briofite e terofite | 2130* | Dune costiere fisse a vegetazione erbacea (dune grigie) |
| PC pio | PC1 | Pratelli aridi pionieri discontinui | 6110* | Formazioni erbose rupicole calcicole o basofile dell'Alyso-Sedion albi |
| PC pio | RU2 | Pavimenti calcarei orizzontali collinari e montani | 8240* | Pavimenti calcarei |
| PC10 | PC10 | Praterie evolute su suolo calcareo delle Prealpi | 62A0 | Formazioni erbose secche della regione submediterranea orientale (Scorzoneratalia villosae) |

| Codice habitat target | Codice habitat FVG | Denominazione habitat FVG | Codice habitat N2000 | Denominazione N2000 |
|-----------------------|--------------------|--|----------------------|---|
| PC4 | PC4 | Praterie (landa) xero-termofile su substrato calcareo del Carso | 62A0 | Formazioni erbose secche della regione submediterranea orientale (<i>Scorzoneratalia villosae</i>) |
| PC9 | PC9 | Prato-pascolo su terre rosse del Carso | 62A0 | Formazioni erbose secche della regione submediterranea orientale (<i>Scorzoneratalia villosae</i>) |
| PM1 | PM1 | Prati da sfalcio dominati da <i>Arrhenatherum elatius</i> | 6510 | Praterie magre da fieno a bassa altitudine (<i>Alopecurus pratensis</i> , <i>Sanguisorba officinalis</i>) |
| PU | PU1 | Vegetazioni ad alte erbe su suoli umidi dominate da <i>Filipendula ulmaria</i> | 6490 | Bordure planiziali, montane e alpine di megaforie idrofile |
| PU | PU3 | Praterie igrofile planiziali-collinari dominate da <i>Molinia caerulea</i> | 6410 | Praterie con <i>Molinia</i> su terreni calcarei, torbosi o argilloso-limosi (<i>Molinion caeruleae</i>) |
| PU | PU6 | Praterie costiere su suoli umidi dominate da <i>Molinia caerulea</i> e <i>Scirpoides holoschoenus</i> | 6420 | Praterie umide mediterranee con piante erbacee alte del <i>Molinio-Holoschoenion</i> |
| UC UP | UC11 | Vegetazioni su suoli a forte imbibizione d'acqua dolce e delle olle di risorgiva dominate da <i>Cladium mariscus</i> | 7210* | Paludi calcaree con <i>Cladium mariscus</i> e specie del <i>Caricion davallianae</i> |
| UC UP | UP4 | Torbiere basse alcaline con alto apporto idrico planiziali dominate da <i>Schoenus nigricans</i> | 7230 | Torbiere basse alcaline |

Tabella 8: habitat target per il paesaggio prealpino delle Prealpi Giulie

| Codice habitat target | Codice habitat FVG | Denominazione habitat FVG | Codice habitat N2000 | Denominazione N2000 |
|-----------------------|--------------------|---|----------------------|---|
| BL rov | BL15 | Querceti su suoli francamente acidi delle creste collinari a <i>Quercus petraea</i> | | |
| BL rov | BL16 | Querceti su suoli neutro-acidi del Collio e delle colline moreniche a <i>Quercus petraea</i> | | |
| BL11 | BL11 | Carpineti del piano collinare | 91Lo | Quercu-carpineti illirici (<i>Erythronio-Carpinion</i>) |
| BL14 | BL14 | Boschi delle forre prealpine a <i>Fraxinus excelsior</i> e <i>Acer pseudoplatanus</i> | 91B0* | Foreste di pendio, forre e ghiaioni dei Tilio-Acerion |
| BU5 | BU5 | Boschi ripari planiziali dominati da <i>Salix alba</i> e/o <i>Populus nigra</i> | 92A0 | Foreste a galleria di <i>Salix alba</i> e <i>Populus alba</i> |
| BUa | BUa | Boschi dei terrazzi fluviali dominati da <i>Quercus robur</i> e <i>Fraxinus angustifolia</i> subsp. <i>oxycarpa</i> | 91Fo | Foreste ripariali miste lungo i grandi fiumi a <i>Quercus robur</i> , <i>Ulmus laevis</i> e <i>Ulmus minor</i> , <i>Fraxinus excelsior</i> o <i>Fraxinus angustifolia</i> (<i>Ulmion minoris</i>) |
| OBa | OBa | Orli boschivi planiziali e collinari | | |
| OBb | OBb | Vegetazioni subalpine subigrofile a megaforbie | | |
| PC evo | PC10 | Praterie evolute su suolo calcareo delle Prealpi | 62A0 | Praterie aride submediterraneo-orientali (<i>Scorzoneretalia villosae</i>) |
| PC evo | PC7 | Praterie xerofile su substrato calcareo di pendio (magredo) prealpine | 62A0 | Praterie aride submediterraneo-orientali (<i>Scorzoneretalia villosae</i>) |
| PC evo | PC8 | Praterie evolute su suoli ferrettizzati dei terrazzi fluviali stabilizzati (magredi) dell'avanterra alpino | 62A0 | Praterie aride submediterraneo-orientali (<i>Scorzoneretalia villosae</i>) |
| PC pio | PC5 | Praterie xerofile primitive su alluvioni calcaree (magredo) dell'avanterra alpino | 62A0 | Praterie aride submediterraneo-orientali (<i>Scorzoneretalia villosae</i>) |
| PC pio | PC7 | Praterie xerofile su substrato calcareo di pendio (magredo) prealpine | 62A0 | Praterie aride submediterraneo-orientali (<i>Scorzoneretalia villosae</i>) |
| PM1 | PM1 | Prati da sfalcio dominati da <i>Arrhenatherum elatius</i> | 6510 | Prati da sfalcio di bassa quota (<i>Alopecurus pratensis</i> , <i>Sanguisorba officinalis</i>) |
| PM4 | PM4 | Pascoli d'alpeggio su suoli ricchi dominati da <i>Poa alpina</i> e <i>Poa supina</i> | | |

Tabella 9: specie target di fauna scelte per il paesaggio di alta pianura pordenonese

| Abbreviazione | Specie |
|---------------|----------------------|
| Bom_var | Bombina variegata |
| Buf_vir | Bufo viridis |
| Che_ang | Chesias angeri |
| Coe_oed | Coenonympha oedippus |
| Emy_orb | Emys orbicularis |
| Luc_cer | Lucanus cervus |
| Ran_dal | Rana dalmatina |
| Ran_lat | Rana latastei |
| Tri_car | Triturus carnifex |
| Zam_ion | Zamenis longissimus |

Tabella 10: specie target di fauna scelte per il paesaggio di bassa pianura udinese

| Abbreviazione | Specie |
|---------------|-----------------------------|
| Ary_mus | <i>Arytrura musculus</i> |
| Bom_var | <i>Bombina variegata</i> |
| Car_ita | <i>Carabus italicus</i> |
| Coe_oed | <i>Coenonympha oedippus</i> |
| Emy_orb | <i>Emys orbicularis</i> |
| Luc_cer | <i>Lucanus cervus</i> |
| Ran_dal | <i>Rana dalmatina</i> |
| Ran_lat | <i>Rana latastei</i> |
| Tri_car | <i>Triturus carnifex</i> |
| Zam_lon | <i>Zamenis longissimus</i> |

Tabella 11: specie target di fauna scelte per il paesaggio urbanizzato della pianura e carso monfalconese

| Abbreviazione | Specie |
|---------------|-----------------------------|
| Luc_cer | <i>Lucanus cervus</i> |
| Coe_oed | <i>Coenonympha oedippus</i> |
| Car_ita | <i>Carabus italicus</i> |
| Zeu_mar | <i>Zeuneriana marmorata</i> |
| Tri_car | <i>Triturus carnifex</i> |
| Ran_dal | <i>Rana dalmatina</i> |
| Emy_orb | <i>Emys orbicularis</i> |
| Zam_lon | <i>Zamenis longissimus</i> |
| Bom_var | <i>Bombina variegata</i> |
| Ran_lat | <i>Rana latastei</i> |
| Buf_vir | <i>Bufo viridis</i> |

Tabella 12: specie target di fauna scelte per il paesaggio prealpino delle Prealpi Giulie

| Abbreviazione | Specie |
|---------------|----------------------------------|
| Bom_var | <i>Bombina variegata</i> |
| Cor_aus | <i>Coronella austriaca</i> |
| Lac_vir | <i>Lacerta viridis</i> |
| Mus_ave | <i>Musccardinus avellanarius</i> |
| Par_apo | <i>Parnassius apollo</i> |
| Par_apo | <i>Parnassius mnemosyne</i> |
| Zam_lon | <i>Zamenis longissimus</i> |
| Zyg_tra | <i>Zygaena transalpina</i> |

Tabella 13: Costi di percorrenza delle specie e habitat target considerati per l'area di studio dell'alta pianura pordenonese.

Il codici habitat fanno riferimento al Manuale degli Habitat del Friuli Venezia Giulia (Poldini et al., 2006), modificati secondo le esigenze del caso di studio. I codici di specie e habitat target sono riportati nelle tabella delle specie scelte.

| Codice FVG | Denominazione habitat | Luccer | Coe.oed | Che.ang | Tri.car | Ran.dal | Emy.orb | Zam.lon | Bom.var | Ran.lut | Bufl.vir | AA6 | BL11 | BL19 | BL22 | BU10 | BU5 | PM1 | PU3 | UP4 | UP7 | PC.ev | PC.pr |
|------------|--|--------|---------|---------|---------|---------|---------|---------|---------|---------|----------|-----|------|------|------|------|-----|-----|-----|-----|-----|-------|-------|
| AA4 | Ghiaie fluviali prive di vegetazione | 70 | 70 | 50 | 80 | 80 | 80 | 70 | 80 | 90 | 15 | 10 | 70 | 70 | 70 | 70 | 50 | 60 | 60 | 60 | 60 | 50 | 30 |
| AA6 | Vegetazione erbacea delle ghiaie del medio corso dei fiumi | 70 | 60 | 40 | 80 | 70 | 80 | 70 | 70 | 75 | 20 | 1 | 70 | 60 | 60 | 60 | 40 | 70 | 70 | 70 | 70 | 50 | 40 |
| AA7 | Vegetazione erbacea delle ghiaie del basso corso dei fiumi | 70 | 60 | 40 | 80 | 70 | 80 | 70 | 70 | 75 | 25 | 10 | 70 | 60 | 60 | 60 | 40 | 60 | 60 | 60 | 60 | 50 | 40 |
| AC3 | Acque torrentizie del corso medio ed inferiore dei torrenti alpini e prealpini (meta e iporhithral) prive di vegetazione | 70 | 70 | 70 | 70 | 70 | 80 | 70 | 70 | 55 | 20 | 50 | 70 | 70 | 70 | 60 | 50 | 60 | 65 | 60 | 60 | 70 | 60 |
| AF7 | Specchi d'acqua poco profondi con oscillazioni di livello a vegetazione radicante | 70 | 60 | 70 | 1 | 1 | 20 | 70 | 20 | 45 | 40 | 70 | 70 | 70 | 70 | 60 | 50 | 70 | 60 | 50 | 50 | 70 | 70 |
| AN | Aree nude, cumuli di ghiaie | 70 | 70 | 60 | 80 | 80 | 70 | 80 | 60 | 70 | 20 | 20 | 70 | 70 | 70 | 80 | 70 | 60 | 70 | 80 | 80 | 40 | 30 |
| BL11 | Carpineti del piano collinare | 1 | 60 | 70 | 30 | 20 | 60 | 1 | 20 | 35 | 55 | 70 | 1 | 50 | 50 | 60 | 70 | 40 | 70 | 70 | 70 | 70 | 70 |
| BL19 | Ostrio-querceti su suoli basici del piano collinare delle Prealpi | 1 | 60 | 70 | 30 | 20 | 40 | 1 | 30 | 30 | 55 | 60 | 40 | 1 | 10 | 70 | 70 | 50 | 70 | 70 | 70 | 40 | 50 |
| BL22 | Ostreti su substrati carbonatici primitivi con Erica carnea | 40 | 60 | 60 | 60 | 40 | 60 | 30 | 70 | 75 | 30 | 60 | 50 | 10 | 1 | 70 | 70 | 50 | 70 | 70 | 70 | 50 | 40 |
| BL23 | Ostreti su substrati carbonatici senza Erica carnea | 40 | 60 | 60 | 40 | 20 | 60 | 30 | 40 | 40 | 60 | 60 | 50 | 10 | 10 | 70 | 70 | 50 | 70 | 70 | 70 | 50 | 40 |
| BL26 | Castagneti | 20 | 60 | 70 | 40 | 30 | 50 | 20 | 30 | 30 | 50 | 80 | 10 | 60 | 60 | 70 | 70 | 70 | 80 | 80 | 80 | 80 | 80 |
| BL27 | Boscaglie di betulla | 40 | 40 | 70 | 30 | 20 | 60 | 20 | 50 | 50 | 70 | 80 | 10 | 60 | 60 | 70 | 70 | 60 | 50 | 60 | 60 | 80 | 80 |
| BU10 | Boschi dominati da <i>Alnus glutinosa</i> | 40 | 60 | 70 | 20 | 1 | 30 | 1 | 15 | 15 | 80 | 60 | 50 | 60 | 70 | 1 | 50 | 60 | 50 | 30 | 40 | 70 | 70 |
| BU11 | Arbusteti su suoli inondati dominati da <i>Salix cinerea</i> | 60 | 40 | 70 | 20 | 1 | 40 | 40 | 20 | 20 | 80 | 70 | 60 | 70 | 70 | 10 | 60 | 70 | 40 | 20 | 30 | 70 | 70 |

| Codice FVG | Denominazione habitat | Luc.cer | Coe.oed | Che.ang | Tri.car | Ran.dal | Emy.orb | Zam.lon | Bom.var | Ran.lat | Buf.vir | AA6 | BL11 | BL19 | BL22 | BU10 | BU5 | PM1 | PU3 | UP4 | UP7 | PC.ev | PC.pr |
|--------------|--|---------|---------|---------|---------|---------|---------|---------|---------|---------|---------|-----|------|------|------|------|-----|-----|-----|-----|-----|-------|-------|
| BU2 | Arbusteti ripari prealpini dominati da <i>Salix eleagnos</i> | 60 | 50 | 70 | 60 | 40 | 70 | 50 | 70 | 60 | 20 | 10 | 60 | 60 | 60 | 70 | 10 | 70 | 70 | 70 | 70 | 60 | 60 |
| BU5 | Boschi ripari planiziali dominati da <i>Salix alba</i> e/o <i>Populus nigra</i> | 40 | 50 | 70 | 20 | 1 | 30 | 20 | 25 | 25 | 75 | 20 | 70 | 70 | 70 | 50 | 1 | 60 | 60 | 60 | 60 | 60 | 60 |
| BUa | Boschi dei terrazzi fluviali dominati da <i>Quercus robur</i> e <i>Fraxinus angustifolia subsp. Oxycarpa</i> | 20 | 60 | 70 | 20 | 1 | 30 | 20 | 15 | 15 | 75 | 60 | 50 | 50 | 50 | 10 | 50 | 60 | 30 | 20 | 40 | 70 | 60 |
| D1 | Prati polifittici e coltivazioni ad erba medica | 70 | 60 | 50 | 70 | 50 | 70 | 70 | 80 | 80 | 25 | 80 | 80 | 80 | 80 | 80 | 80 | 70 | 70 | 80 | 80 | 70 | 70 |
| D1a | Formazioni a <i>Solidago gigantea</i> | 70 | 60 | 70 | 70 | 50 | 70 | 70 | 40 | 45 | 55 | 70 | 70 | 70 | 70 | 50 | 60 | 60 | 50 | 60 | 60 | 80 | 80 |
| D15 | Verde pubblico e privato | 60 | 70 | 70 | 70 | 50 | 70 | 70 | 60 | 80 | 30 | 70 | 90 | 90 | 90 | 100 | 100 | 90 | 90 | 100 | 100 | 100 | 100 |
| D17 - Strada | Vegetazione ruderale di cave, aree industriali, infrastrutture - Strada | 90 | 90 | 90 | 90 | 90 | 90 | 90 | 90 | 90 | 90 | 90 | 100 | 100 | 100 | 100 | 100 | 100 | 100 | 100 | 100 | 100 | 100 |
| D18 | Canali e bacini artificiali | 80 | 70 | 70 | 40 | 40 | 30 | 80 | 80 | 65 | 45 | 70 | 100 | 100 | 100 | 100 | 100 | 100 | 90 | 100 | 100 | 100 | 100 |
| D2 - EST | Colture intensive erbacee a pieno campo e legnose (mais, soia, vigneti e pioppeti) - UCFo4 Estensivo | 70 | 80 | 80 | 50 | 40 | 60 | 50 | 50 | 50 | 55 | 70 | 70 | 70 | 70 | 70 | 70 | 70 | 70 | 70 | 70 | 70 | 70 |
| D2 - INT | Colture intensive erbacee a pieno campo e legnose (mais, soia, vigneti e pioppeti) - UCFo1 Intensivo | 90 | 90 | 90 | 80 | 70 | 80 | 80 | 80 | 80 | 55 | 100 | 100 | 100 | 100 | 100 | 100 | 100 | 100 | 100 | 100 | 100 | 100 |
| D2 - PIOP | Colture intensive erbacee a pieno campo e legnose (mais, soia, vigneti e pioppeti) - UCFo5 Pioppeto | 90 | 80 | 80 | 40 | 40 | 60 | 50 | 40 | 30 | 55 | 80 | 80 | 80 | 80 | 80 | 80 | 80 | 90 | 90 | 90 | 90 | 90 |

| Codice FVG | Denominazione habitat | Luccer | Coe.oed | Che.ang | Tri.car | Ran.dal | Emy.orb | Zam.lon | Bomvar | Ran.lat | Buf.vir | AA6 | BL11 | BL19 | BL22 | BU10 | BUS | PM1 | PI3 | UP4 | UP7 | PCev | PCpr |
|------------|---|--------|---------|---------|---------|---------|---------|---------|--------|---------|---------|-----|------|------|------|------|-----|-----|-----|-----|-----|------|------|
| D2 - SCPC | Colture intensive erbacee a pieno campo e legnose (mais, soia, vigneti e pioppeti) - UCFO3 Sistemi culturali e particellari complessi con insediamenti sparsi | 80 | 80 | 80 | 60 | 50 | 60 | 60 | 60 | 50 | 50 | 90 | 90 | 90 | 90 | 90 | 90 | 90 | 90 | 90 | 90 | 90 | 90 |
| D2 - SEM | Colture intensive erbacee a pieno campo e legnose (mais, soia, vigneti e pioppeti) - UCFO2 Semiintensivo | 90 | 90 | 90 | 70 | 60 | 70 | 70 | 70 | 75 | 60 | 90 | 90 | 90 | 90 | 90 | 90 | 90 | 100 | 100 | 100 | 100 | 100 |
| D20 | Impianti di latifoglie | 40 | 70 | 80 | 40 | 20 | 50 | 40 | 40 | 45 | 50 | 90 | 60 | 60 | 60 | 60 | 60 | 80 | 90 | 80 | 80 | 80 | 80 |
| D21 | Cave attive | 80 | 80 | 80 | 80 | 80 | 70 | 70 | 80 | 80 | 25 | 70 | 100 | 100 | 100 | 100 | 100 | 80 | 90 | 90 | 90 | 70 | 60 |
| D22 | Vegetazione ruderale degli scassi e delle post-colture | 70 | 70 | 70 | 70 | 60 | 70 | 60 | 60 | 90 | 20 | 75 | 90 | 90 | 90 | 90 | 80 | 60 | 80 | 80 | 80 | 70 | 80 |
| D3 | Colture estensive dei vigneti tradizionali | 70 | 70 | 70 | 60 | 50 | 70 | 60 | 70 | 80 | 45 | 70 | 90 | 90 | 90 | 100 | 100 | 70 | 80 | 80 | 80 | 80 | 80 |
| D4 | Colture estensive cerealicole e degli orti | 60 | 70 | 70 | 60 | 60 | 70 | 60 | 80 | 75 | 35 | 70 | 90 | 90 | 90 | 90 | 90 | 80 | 90 | 80 | 80 | 80 | 80 |
| D5 | Sodaglie a <i>Rubus ulmifolius</i> | 70 | 70 | 70 | 40 | 30 | 50 | 20 | 60 | 55 | 45 | 70 | 70 | 70 | 70 | 80 | 70 | 70 | 70 | 70 | 70 | 70 | 70 |
| D6 | Boschetti nitrofilii a <i>Robinia pseudacacia</i> e <i>Sambucus nigra</i> | 70 | 70 | 80 | 40 | 30 | 50 | 30 | 50 | 50 | 35 | 80 | 80 | 80 | 80 | 90 | 80 | 80 | 80 | 80 | 80 | 80 | 80 |
| D7 | Boschetti di <i>Ailanthus altissima</i> | 70 | 80 | 80 | 50 | 40 | 60 | 40 | 60 | 60 | 60 | 80 | 80 | 80 | 80 | 90 | 80 | 90 | 90 | 90 | 90 | 80 | 80 |
| D8 | Arbusteti di <i>Amorpha fruticosa</i> | 70 | 70 | 70 | 50 | 50 | 60 | 50 | 70 | 65 | 20 | 80 | 90 | 80 | 80 | 80 | 70 | 80 | 80 | 80 | 80 | 70 | 70 |
| GC1 | Brughiere collinari delle Alpi sud-orientali e del Carso dominate da <i>Calluna vulgaris</i> | 70 | 50 | 20 | 50 | 60 | 70 | 50 | 50 | 35 | 75 | 70 | 20 | 70 | 70 | 60 | 70 | 60 | 60 | 50 | 50 | 70 | 60 |
| GM10 | Preboschi su suoli evoluti a <i>Corylus avellana</i> | 50 | 50 | 60 | 40 | 40 | 60 | 30 | 40 | 40 | 55 | 70 | 60 | 10 | 10 | 70 | 60 | 30 | 60 | 60 | 60 | 30 | 40 |
| GM11 | Mantelli igrofili a salici e <i>Viburnum opulus</i> | 50 | 40 | 70 | 20 | 1 | 30 | 20 | 20 | 20 | 75 | 60 | 60 | 60 | 60 | 20 | 50 | 50 | 20 | 20 | 20 | 70 | 70 |
| GM4 | Mantelli submediterranei a <i>Rubus ulmifolius</i> | 50 | 50 | 60 | 30 | 20 | 40 | 20 | 30 | 35 | 55 | 70 | 70 | 10 | 10 | 70 | 70 | 40 | 60 | 60 | 60 | 30 | 30 |

| Codice FVG | Denominazione habitat | Luc.cer | Coe.oed | Che.ang | Tri.car | Ran.dal | Emy.orb | Zam.lon | Bom.var | Ran.lat | Buf.vir | AA6 | BL11 | BL19 | BL22 | BU10 | BU5 | PM1 | PU3 | UP4 | UP7 | PC.ev | PC.pr |
|------------|---|---------|---------|---------|---------|---------|---------|---------|---------|---------|---------|-----|------|------|------|------|-----|-----|-----|-----|-----|-------|-------|
| GM5 | Siepi planiziali e collinari a <i>Cornus sanguinea</i> subsp. <i>hungarica</i> e <i>Rubus ulmifolius</i> | 50 | 50 | 50 | 30 | 20 | 40 | 20 | 30 | 40 | 55 | 70 | 60 | 10 | 10 | 70 | 70 | 40 | 60 | 60 | 60 | 30 | 30 |
| OB3 | Orli boschivi planiziali e collinari | 50 | 70 | 50 | 30 | 20 | 50 | 20 | 30 | 25 | 70 | 70 | 70 | 20 | 20 | 70 | 70 | 20 | 50 | 50 | 50 | 20 | 30 |
| PC10 | Praterie evolute su suolo calcareo delle Prealpi | 60 | 20 | 1 | 70 | 50 | 70 | 60 | 80 | 75 | 1 | 50 | 70 | 40 | 50 | 70 | 70 | 20 | 50 | 50 | 50 | 1 | 10 |
| PC5 | Praterie xerofile primitive su alluvioni calcaree (magredo) dell'avanterra alpino | 60 | 50 | 30 | 70 | 70 | 70 | 70 | 80 | 75 | 1 | 20 | 70 | 40 | 40 | 70 | 70 | 50 | 70 | 60 | 60 | 10 | 1 |
| PC6 | Praterie xerofile semi-evolute sui primi terrazzi alluvionali (magredo) dell'avanterra alpino con <i>Schoenus nigricans</i> | 60 | 30 | 20 | 70 | 70 | 70 | 70 | 80 | 70 | 1 | 50 | 70 | 40 | 50 | 70 | 60 | 50 | 70 | 60 | 60 | 10 | 1 |
| PC7 | Praterie xerofile su substrato calcareo di pendio (magredo) prealpine | 60 | 50 | 30 | 70 | 70 | 70 | 70 | 80 | 75 | 1 | 60 | 70 | 40 | 30 | 70 | 60 | 50 | 60 | 60 | 60 | 10 | 1 |
| PC8 | Praterie evolute su suoli ferrettizzati dei terrazzi fluviali stabilizzati (magredi) dell'avanterra alpino | 60 | 60 | 30 | 70 | 70 | 70 | 70 | 80 | 75 | 20 | 60 | 60 | 40 | 50 | 70 | 60 | 40 | 50 | 60 | 60 | 1 | 10 |
| PM1 | Prati da sfalcio dominati da <i>Arrhenatherum elatius</i> | 60 | 40 | 40 | 70 | 70 | 70 | 70 | 70 | 75 | 20 | 60 | 40 | 50 | 50 | 60 | 60 | 1 | 40 | 50 | 50 | 30 | 50 |
| PU1 | Vegetazioni ad alte erbe su suoli umidi dominate da <i>Filipendula ulmaria</i> | 70 | 40 | 50 | 40 | 30 | 50 | 50 | 40 | 40 | 60 | 60 | 70 | 70 | 70 | 30 | 50 | 40 | 10 | 10 | 10 | 60 | 60 |
| PU3 | Praterie igrofile planiziali-collinari dominate da <i>Molinia caerulea</i> | 70 | 1 | 20 | 20 | 40 | 60 | 60 | 30 | 20 | 80 | 60 | 70 | 70 | 70 | 30 | 60 | 40 | 1 | 10 | 10 | 50 | 60 |
| UC1 | Vegetazioni elfotiche d'acqua dolce dominate da <i>Phragmites australis</i> | 70 | 40 | 70 | 30 | 20 | 1 | 60 | 20 | 20 | 70 | 60 | 70 | 70 | 70 | 30 | 50 | 40 | 30 | 20 | 20 | 70 | 60 |

| Codice FVG | Denominazione habitat | Luccor | Coe.oed | Che.ang | Tri.car | Ran.dal | Emy.orb | Zam.lon | Bom.var | Ran.lat | Buf.vir | AA6 | BL11 | BL19 | BL22 | BU10 | BU5 | PM1 | PU3 | UP4 | UP7 | PCev | PCpr |
|------------|--|--------|---------|---------|---------|---------|---------|---------|---------|---------|---------|-----|------|------|------|------|-----|-----|-----|-----|-----|------|------|
| UC11 | Vegetazioni su suoli a forte imbibizione d'acqua dolce e delle olle di risorgiva dominate da <i>Cladium mariscus</i> | 70 | 30 | 60 | 1 | 20 | 1 | 70 | 20 | 1 | 80 | 60 | 70 | 70 | 70 | 40 | 60 | 60 | 30 | 10 | 20 | 70 | 70 |
| UC4 | Vegetazioni elfitiche d'acque poco profonde stagnanti ed eutrofiche dominate da <i>Typha sp. pl.</i> | 70 | 30 | 60 | 30 | 20 | 20 | 70 | 20 | 25 | 70 | 60 | 70 | 70 | 70 | 30 | 60 | 60 | 30 | 10 | 20 | 70 | 70 |
| UC7 | Vegetazioni delle acque dolci stagnanti | 70 | 30 | 70 | 20 | 20 | 20 | 70 | 20 | 30 | 70 | 60 | 70 | 70 | 70 | 30 | 60 | 70 | 30 | 30 | 30 | 70 | 70 |
| UP4 | Torbiere basse alcaline con alto apporto idrico planiziali dominate da <i>Schoenus nigricans</i> | 70 | 1 | 60 | 30 | 20 | 30 | 70 | 1 | 15 | 80 | 60 | 70 | 70 | 70 | 30 | 60 | 30 | 10 | 1 | 10 | 30 | 60 |
| UP7 | Torbiere basse alcaline subalpine dominate da <i>Carex davalliana</i> | 70 | 1 | 60 | 40 | 30 | 30 | 70 | 20 | 20 | 65 | 60 | 70 | 70 | 70 | 40 | 60 | 30 | 10 | 10 | 1 | 30 | 60 |

| Codice FVG | Denominazione habitat | Luccer | Coe.oed | Amyrus | Car.jta | Tri.car | Randal | Emy.orb | ZamJon | Bomvar | Ranlat | BU10 | BU5 | BU7 | PC10 | PM1 | PU3 | UP4 | UC11 | BL13 |
|-----------------------------|---|--------|---------|--------|---------|---------|--------|---------|--------|--------|--------|------|-----|-----|------|-----|-----|-----|------|------|
| AF5 | Acque lacustri prive di vegetazione fanerofitica (incl. tappeti di Characeae) | 70 | 50 | 50 | 80 | 1 | 1 | 1 | 80 | 20 | 50 | 50 | 50 | 50 | 70 | 70 | 65 | 50 | 50 | 70 |
| AF5 - AA2 - UC4 | Acque lacustri prive di vegetazione fanerofitica (incl. tappeti di Characeae), Pozze effimere a disseccamento prevalentemente estivo dominate da specie annuali, Vegetazioni elofitiche d'acque poco profonde stagnanti ed eutrofiche dominate da Typha sp. pl. | 70 | 50 | 50 | 70 | 30 | 20 | 20 | 80 | 20 | 50 | 50 | 50 | 50 | 70 | 70 | 60 | 50 | 50 | 70 |
| AF6 | Laghi e laghetti di media profondità con prevalente vegetazione natante radicante (rizofitica) | 70 | 60 | 60 | 80 | 1 | 1 | 1 | 80 | 20 | 55 | 50 | 60 | 60 | 70 | 70 | 60 | 50 | 40 | 60 |
| BL | Boschi di latifoglie caducifoglie | 1 | 60 | 40 | 40 | 20 | 20 | 30 | 1 | 20 | 20 | 60 | 60 | 60 | 40 | 40 | 70 | 70 | 70 | 10 |
| BL13 | Quercio-carpineti subigrofilo su sedimenti fluvio-glaciali fini della pianura | 1 | 50 | 50 | 1 | 30 | 1 | 30 | 1 | 1 | 1 | 50 | 50 | 50 | 40 | 40 | 60 | 60 | 60 | 1 |
| BU10 | Boschi dominati da Alnus glutinosa | 40 | 60 | 20 | 40 | 20 | 1 | 30 | 20 | 15 | 15 | 1 | 50 | 10 | 70 | 60 | 50 | 30 | 40 | 50 |
| BU11 | Arbusteti su suoli inondati dominati da Salix cinerea | 60 | 40 | 1 | 20 | 20 | 1 | 40 | 40 | 20 | 20 | 10 | 60 | 10 | 70 | 60 | 40 | 20 | 30 | 60 |
| BU11 (incl. GM11) | Arbusteti su suoli inondati dominati da Salix cinerea, Mantelli igrofilo a salici e Viburnum opulus | 60 | 40 | 1 | 20 | 20 | 1 | 40 | 30 | 20 | 20 | 10 | 60 | 10 | 70 | 60 | 30 | 20 | 30 | 60 |
| BU5 | Boschi ripari planiziali dominati da Salix alba e/o Populus nigra | 40 | 50 | 30 | 20 | 20 | 1 | 30 | 20 | 25 | 25 | 50 | 1 | 50 | 60 | 60 | 60 | 60 | 60 | 50 |
| BU7 | Boschi dei suoli inondati dominati da Fraxinus angustifolia subsp. oxycarpa | 30 | 40 | 40 | 20 | 20 | 1 | 20 | 20 | 15 | 15 | 15 | 50 | 1 | 70 | 60 | 30 | 20 | 40 | 50 |
| D1 | Prati polifitici e coltivazioni ad erba medica | 70 | 60 | 70 | 60 | 70 | 50 | 70 | 70 | 80 | 80 | 90 | 90 | 90 | 80 | 70 | 70 | 80 | 80 | 80 |
| D11 | Formazioni a Helianthus tuberosus | 70 | 50 | 70 | 50 | 60 | 40 | 70 | 60 | 40 | 40 | 70 | 60 | 70 | 80 | 70 | 60 | 80 | 80 | 80 |
| D15 | Verde pubblico e privato | 60 | 70 | 80 | 70 | 70 | 50 | 70 | 70 | 60 | 80 | 100 | 90 | 90 | 100 | 90 | 90 | 90 | 90 | 90 |

| Codice FVG | Denominazione habitat | Luccer | Coe.oed | Amyrus | Car.jta | Tri.car | Randal | Emy.orb | ZamJon | Bomvar | Ranlat | BU10 | BU5 | BU7 | PC10 | PM1 | PU3 | UP4 | UC11 | BL13 |
|-------------------|---|--------|---------|--------|---------|---------|--------|---------|--------|--------|--------|------|-----|-----|------|-----|-----|-----|------|------|
| AF5 | Acque lacustri prive di vegetazione fanerofitica (incl. tappeti di Characeae) | 70 | 50 | 50 | 80 | 1 | 1 | 1 | 80 | 20 | 50 | 50 | 50 | 50 | 70 | 70 | 65 | 50 | 50 | 70 |
| AF5 - AA2 - UC4 | Acque lacustri prive di vegetazione fanerofitica (incl. tappeti di Characeae), Pozze effimere a disseccamento prevalentemente estivo dominate da specie annuali, Vegetazioni elofitiche d'acque poco profonde stagnanti ed eutrofiche dominate da Typha sp. pl. | 70 | 50 | 50 | 70 | 90 | 20 | 20 | 80 | 20 | 50 | 50 | 50 | 50 | 70 | 70 | 60 | 50 | 50 | 70 |
| AF6 | Laghi e laghetti di media profondità con prevalente vegetazione natante radicante (rizofitica) | 70 | 60 | 60 | 80 | 1 | 1 | 1 | 80 | 20 | 55 | 50 | 60 | 60 | 70 | 70 | 60 | 50 | 40 | 60 |
| BL | Boschi di latifoglie caducifoglie | 1 | 60 | 40 | 40 | 20 | 20 | 30 | 1 | 20 | 20 | 60 | 60 | 60 | 40 | 40 | 70 | 70 | 70 | 10 |
| BL13 | Quercio-carpineti subigrofilo su sedimenti fluvio-glaciali fini della pianura | 1 | 50 | 50 | 1 | 30 | 1 | 30 | 1 | 1 | 1 | 50 | 50 | 50 | 40 | 40 | 60 | 60 | 60 | 1 |
| BU10 | Boschi dominati da Alnus glutinosa | 40 | 60 | 20 | 40 | 20 | 1 | 30 | 20 | 15 | 15 | 1 | 50 | 10 | 70 | 60 | 50 | 30 | 40 | 50 |
| BU11 | Arbusteti su suoli inondati dominati da Salix cinerea | 60 | 40 | 1 | 20 | 20 | 1 | 40 | 40 | 20 | 20 | 10 | 60 | 10 | 70 | 60 | 40 | 20 | 30 | 60 |
| BU11 (incl. GM11) | Arbusteti su suoli inondati dominati da Salix cinerea, Mantelli igrofilo a salici e Viburnum opulus | 60 | 40 | 1 | 20 | 20 | 1 | 40 | 30 | 20 | 20 | 10 | 60 | 10 | 70 | 60 | 30 | 20 | 30 | 60 |
| BU5 | Boschi ripari planiziali dominati da Salix alba e/o Populus nigra | 40 | 50 | 30 | 20 | 20 | 1 | 30 | 20 | 25 | 25 | 50 | 1 | 50 | 60 | 60 | 60 | 60 | 60 | 50 |
| BU7 | Boschi dei suoli inondati dominati da Fraxinus angustifolia subsp. oxycarpa | 30 | 40 | 40 | 20 | 20 | 1 | 20 | 20 | 15 | 15 | 15 | 50 | 1 | 70 | 60 | 30 | 20 | 40 | 50 |
| D1 | Prati polifitici e coltivazioni ad erba medica | 70 | 60 | 70 | 60 | 70 | 50 | 70 | 70 | 80 | 80 | 90 | 90 | 90 | 80 | 70 | 70 | 80 | 80 | 80 |
| D11 | Formazioni a Helianthus tuberosus | 70 | 50 | 70 | 50 | 60 | 40 | 70 | 60 | 40 | 40 | 70 | 60 | 70 | 80 | 70 | 60 | 80 | 80 | 80 |
| D15 | Verde pubblico e privato | 60 | 70 | 80 | 70 | 70 | 50 | 70 | 70 | 60 | 80 | 100 | 90 | 90 | 100 | 90 | 90 | 90 | 90 | 90 |

| Codice FVG | Denominazione habitat | Luc.cer | Coe.oed | Any.mus | Car.jta | Tri.car | Ran.dal | Emy.orb | Zam.jon | Bom.var | Ran.lat | BU10 | BU5 | BU7 | PC10 | PM1 | PU3 | UP4 | UC11 | BL13 |
|-----------------------|---|---------|---------|---------|---------|---------|---------|---------|---------|---------|---------|------|-----|-----|------|-----|-----|-----|------|------|
| D16 | Vegetazione urbana | 80 | 80 | 90 | 80 | 70 | 50 | 70 | 70 | 60 | 80 | 100 | 100 | 100 | 100 | 100 | 100 | 100 | 100 | 100 |
| D17 | Vegetazione ruderale di cave, aree industriali, infrastrutture | 80 | 90 | 90 | 80 | 70 | 60 | 70 | 80 | 60 | 80 | 100 | 100 | 100 | 100 | 100 | 100 | 100 | 100 | 100 |
| D17 - D15 - D16 | Vegetazione ruderale di cave, aree industriali, infrastrutture; Verde pubblico e privato; Vegetazione urbana | 80 | 80 | 90 | 90 | 90 | 90 | 90 | 90 | 90 | 90 | 100 | 100 | 100 | 100 | 100 | 100 | 100 | 100 | 100 |
| D17 - Strad a | Vegetazione ruderale di cave, aree industriali, infrastrutture - Strade | 80 | 90 | 90 | 90 | 90 | 90 | 90 | 90 | 90 | 90 | 100 | 100 | 100 | 100 | 100 | 100 | 100 | 100 | 100 |
| D18 | Canali e bacini artificiali | 80 | 70 | 70 | 80 | 40 | 40 | 30 | 80 | 80 | 65 | 100 | 100 | 100 | 100 | 100 | 100 | 100 | 100 | 100 |
| D2 - EST | Colture intensive erbacee a pieno campo e legnose (mais, soia, vigneti e pioppeti) - UCF04 Estensivo | 70 | 80 | 80 | 70 | 50 | 40 | 60 | 50 | 50 | 50 | 70 | 70 | 70 | 70 | 70 | 70 | 70 | 70 | 70 |
| D2 - INT | Colture intensive erbacee a pieno campo e legnose (mais, soia, vigneti e pioppeti) - UCF01 Intensivo | 90 | 90 | 90 | 80 | 80 | 70 | 80 | 80 | 80 | 80 | 100 | 100 | 100 | 100 | 100 | 100 | 100 | 100 | 100 |
| D2 - PIOP | Colture intensive erbacee a pieno campo e legnose (mais, soia, vigneti e pioppeti) - UCF03 Pioppeto | 90 | 80 | 70 | 70 | 40 | 40 | 60 | 50 | 40 | 30 | 80 | 80 | 80 | 90 | 80 | 90 | 90 | 90 | 80 |
| D2 - SCPC | Colture intensive erbacee a pieno campo e legnose (mais, soia, vigneti e pioppeti) - UCF0a Sistemi colturali e particellari complessi con insediamenti sparsi | 80 | 80 | 80 | 70 | 60 | 50 | 60 | 60 | 60 | 50 | 90 | 90 | 90 | 90 | 90 | 90 | 90 | 90 | 90 |
| D2 - SEM | Colture intensive erbacee a pieno campo e legnose (mais, soia, vigneti e pioppeti) - UCF0z Semiintensivo | 90 | 90 | 80 | 80 | 70 | 60 | 70 | 70 | 70 | 75 | 90 | 90 | 90 | 100 | 90 | 100 | 100 | 100 | 90 |
| D20 | Impianti di latifoglie | 40 | 70 | 70 | 60 | 40 | 20 | 50 | 40 | 40 | 45 | 60 | 60 | 60 | 90 | 80 | 90 | 90 | 90 | 60 |
| D22 | Vegetazione ruderale degli scassi e delle post-colture | 70 | 70 | 80 | 80 | 70 | 60 | 70 | 60 | 60 | 90 | 90 | 80 | 80 | 70 | 60 | 80 | 80 | 80 | 90 |
| D3 | Colture estensive dei vigneti tradizionali | 70 | 70 | 70 | 70 | 60 | 50 | 70 | 60 | 70 | 80 | 90 | 90 | 90 | 70 | 70 | 90 | 90 | 90 | 90 |
| D5 | Sodaglie a Rubus ulmifolius | 70 | 70 | 70 | 70 | 40 | 30 | 50 | 20 | 60 | 55 | 80 | 70 | 70 | 70 | 70 | 70 | 70 | 80 | 70 |

| Codice FVG | Denominazione habitat | Lucer | Coe.oed | Aymus | Car.it | Tri.car | Randal | Emyorb | ZamJon | Bomvar | Ranlat | BU10 | BU5 | BU7 | PC10 | PM1 | PU3 | UP4 | UC11 | BL13 |
|------------------|---|-------|---------|-------|--------|---------|--------|--------|--------|--------|--------|------|-----|-----|------|-----|-----|-----|------|------|
| De | Boschetti nitrofilo a Robinia pseudacacia e Sambucus nigra | 70 | 70 | 60 | 60 | 40 | 30 | 50 | 30 | 50 | 50 | 85 | 70 | 70 | 80 | 80 | 80 | 80 | 80 | 80 |
| De | Arbusteti di Amorpha fruticosa | 70 | 70 | 70 | 70 | 50 | 50 | 60 | 50 | 70 | 65 | 85 | 70 | 70 | 80 | 80 | 90 | 90 | 90 | 90 |
| GM10 | Preboschi su suoli evoluti a Corylus avellana | 50 | 50 | 60 | 60 | 40 | 40 | 60 | 30 | 40 | 40 | 70 | 60 | 60 | 30 | 30 | 60 | 60 | 60 | 10 |
| GM11 | Mantelli igrofili a salici e Viburnum opulus | 50 | 40 | 20 | 30 | 20 | 1 | 30 | 20 | 20 | 20 | 20 | 50 | 30 | 70 | 50 | 20 | 20 | 40 | 50 |
| GM4 | Mantelli submediterranei a Rubus ulmifolius | 50 | 50 | 50 | 60 | 30 | 20 | 40 | 20 | 30 | 35 | 70 | 70 | 70 | 30 | 40 | 60 | 60 | 60 | 10 |
| GM5 | Siepi planiziali e collinari a Cornus sanguinea subsp. hungarica e Rubus ulmifolius | 50 | 50 | 50 | 50 | 30 | 20 | 40 | 20 | 30 | 40 | 70 | 70 | 70 | 30 | 40 | 60 | 60 | 60 | 10 |
| GM5 (incl. GM11) | Siepi planiziali e collinari a Cornus sanguinea subsp. hungarica e Rubus ulmifolius, Mantelli igrofili a salici e Viburnum opulus | 50 | 50 | 50 | 50 | 20 | 20 | 40 | 20 | 30 | 40 | 70 | 60 | 60 | 30 | 40 | 50 | 50 | 60 | 10 |
| GM9 | Arbusteti policomici su suoli profondi a Prunus spinosa | 40 | 50 | 50 | 40 | 30 | 30 | 50 | 30 | 20 | 20 | 70 | 70 | 70 | 30 | 30 | 60 | 60 | 30 | 10 |
| OB1 | Vegetazioni erbacee su suoli acidi dominate da Pteridium aquilinum | 60 | 60 | 70 | 60 | 50 | 50 | 60 | 50 | 30 | 40 | 60 | 70 | 70 | 20 | 30 | 50 | 50 | 60 | 20 |
| PC10 | Praterie evolute su suolo calcareo delle Prealpi | 60 | 20 | 60 | 60 | 70 | 50 | 70 | 60 | 80 | 75 | 70 | 60 | 70 | 1 | 20 | 50 | 55 | 60 | 30 |
| PC8 | Praterie evolute su suoli ferrettizzati dei terrazzi fluviali stabilizzati (magredi) dell'avanterra alpino | 60 | 60 | 70 | 70 | 70 | 70 | 70 | 70 | 80 | 75 | 70 | 60 | 70 | 10 | 40 | 50 | 60 | 60 | 30 |
| PM1 | Prati da sfalcio dominati da Arrhenatherum elatius | 60 | 40 | 60 | 60 | 70 | 70 | 70 | 70 | 70 | 75 | 60 | 60 | 60 | 20 | 1 | 40 | 50 | 60 | 30 |
| PM2 | Vegetazioni erbacee subigrofile dominate da Poa sylvicola e Lolium multiflorum (marcite) | 70 | 30 | 60 | 50 | 25 | 30 | 60 | 60 | 20 | 25 | 60 | 60 | 60 | 50 | 20 | 30 | 50 | 60 | 30 |
| PU1 | Vegetazioni ad alte erbe su suoli umidi dominate da Filipendula ulmaria | 70 | 40 | 50 | 40 | 40 | 30 | 50 | 50 | 40 | 40 | 30 | 50 | 30 | 70 | 40 | 10 | 10 | 30 | 70 |
| PU3 | Praterie igrofile planiziali-collinari dominate da Molinia caerulea | 70 | 1 | 30 | 30 | 20 | 40 | 60 | 60 | 30 | 20 | 30 | 60 | 30 | 50 | 40 | 1 | 10 | 20 | 70 |
| RR | Ripristino aree umide | 60 | 30 | 30 | 40 | 20 | 20 | 40 | 70 | 1 | 30 | 50 | 70 | 60 | 70 | 50 | 60 | 70 | 60 | 70 |

| Codice FVG | Denominazione habitat | Luc.car | Coe.oed | Amy.mus | Car.jta | Tri.car | Ran.dal | Emy.orb | Zam.jon | Bom.var | Ran.lat | BU10 | BU5 | BU7 | PC10 | PM1 | PU3 | UP4 | UC11 | BL13 |
|------------------|---|---------|---------|---------|---------|---------|---------|---------|---------|---------|---------|------|-----|-----|------|-----|-----|-----|------|------|
| UC | Canneti e cariceti ripariali | 70 | 30 | 40 | 20 | 30 | 20 | 20 | 60 | 20 | 20 | 30 | 60 | 40 | 70 | 50 | 30 | 20 | 20 | 60 |
| UC1 | Vegetazioni elofitiche d'acqua dolce dominate da <i>Phragmites australis</i> | 70 | 40 | 40 | 20 | 30 | 20 | 20 | 60 | 20 | 20 | 30 | 30 | 30 | 70 | 40 | 30 | 20 | 10 | 60 |
| UC10 | Vegetazioni anfibe dominate da grandi carici | 70 | 20 | 40 | 30 | 30 | 20 | 1 | 50 | 20 | 20 | 40 | 60 | 30 | 70 | 50 | 30 | 10 | 30 | 50 |
| UC11 | Vegetazioni su suoli a forte imbibizione di acqua dolce e delle olle di risorgiva dominate da <i>Cladium mariscus</i> | 70 | 30 | 30 | 20 | 1 | 20 | 1 | 70 | 20 | 1 | 40 | 60 | 40 | 70 | 60 | 30 | 10 | 1 | 60 |
| UC9 | Vegetazioni spondicole delle acque lentamente fluenti o stagnanti dominate da grandi carici | 70 | 20 | 40 | 40 | 1 | 20 | 1 | 70 | 1 | 20 | 40 | 60 | 40 | 70 | 60 | 30 | 10 | 30 | 50 |
| UP4 | Torbiere basse alcaline con alto apporto idrico della pianura dominate da <i>Schoenus nigricans</i> | 70 | 1 | 40 | 30 | 30 | 20 | 30 | 70 | 1 | 15 | 30 | 60 | 20 | 30 | 30 | 10 | 1 | 10 | 70 |
| UP4 (incl. UC11) | Torbiere basse alcaline con alto apporto idrico della pianura dominate da <i>Schoenus nigricans</i> , Vegetazioni su suoli a forte imbibizione di acqua dolce e delle olle di risorgiva dominate da <i>Cladium mariscus</i> | 70 | 20 | 40 | 30 | 30 | 20 | 30 | 70 | 1 | 15 | 30 | 60 | 20 | 60 | 30 | 10 | 1 | 1 | 70 |

Tabella 15 : Costi di percorrenza delle specie e habitat target considerati per l'area di studio del carso e pianura monfalconese.

Il codici habitat fanno riferimento al Manuale degli Habitat del Friuli Venezia Giulia (Poldini et al, 2006), modificati secondo le esigenze del caso di studio. I codici di specie e habitat target sono riportati nelle tabelle delle specie scelte.

| Codice FVG | Denominazione habitat | AC | BL13 | BU | BU10 | BU5 | CA | CP5 | PC pio | PC10 | PC4 | PC9 | PM1 | PU | UC UP | Tri.car | Ran.dal | Emy.orb | Zam.ion | Bom.var | Ran.lat | Buf.vir | Luc.cer | Coe.ood | Car.ita | Zeu.mar |
|-----------------|--|----|------|----|------|-----|-----|-----|--------|------|-----|-----|-----|-----|-------|---------|---------|---------|---------|---------|---------|---------|---------|---------|---------|---------|
| AA2 | Pozze effimere a disseccamento prevalentemente estivo dominate da specie annuali | 10 | 60 | 30 | 50 | 60 | 100 | 100 | 75 | 70 | 100 | 70 | 100 | 40 | 35 | 30 | 30 | 20 | 60 | 30 | 50 | 20 | 70 | 50 | 60 | 50 |
| AA4 | Ghiaie fluviali prive di vegetazione | 40 | 70 | 70 | 70 | 51 | 100 | 95 | 60 | 60 | 95 | 60 | 95 | 60 | 95 | 80 | 80 | 80 | 70 | 80 | 90 | 15 | 70 | 70 | 70 | 70 |
| AA4 - AA6 - AA7 | Colena nuda | 40 | 70 | 70 | 70 | 35 | 100 | 100 | 60 | 60 | 100 | 60 | 95 | 70 | 95 | 80 | 73 | 80 | 70 | 73 | 80 | 20 | 70 | 60 | 70 | 70 |
| AA7 | Vegetazione erbacea delle ghiaie del basso corso dei fiumi | 40 | 70 | 70 | 70 | 35 | 100 | 95 | 60 | 60 | 95 | 60 | 95 | 60 | 95 | 80 | 70 | 80 | 70 | 70 | 75 | 25 | 70 | 60 | 70 | 60 |
| AC3 | Acque torrentizie del corso medio ed inferiore dei torrenti alpini e prealpini (meta e iporhithral) prive di vegetazione | 1 | 60 | 70 | 70 | 50 | 100 | 95 | 70 | 70 | 95 | 70 | 95 | 65 | 85 | 70 | 70 | 80 | 70 | 70 | 55 | 20 | 70 | 70 | 90 | 70 |
| AC4 | Acque torrentizie oligotrofiche di risorgiva con Potamogeton coloratus | 1 | 60 | 50 | 50 | 60 | 100 | 100 | 80 | 85 | 100 | 80 | 95 | 40 | 10 | 20 | 30 | 20 | 70 | 50 | 40 | 50 | 70 | 50 | 60 | 50 |
| AC5 | Acque fluviali prive di vegetazione | 10 | 60 | 50 | 50 | 60 | 100 | 100 | 90 | 85 | 100 | 80 | 100 | 40 | 15 | 40 | 50 | 40 | 80 | 50 | 40 | 80 | 70 | 60 | 80 | 70 |
| AC5 - AC6 | Fiume o specchio d'acqua | 5 | 70 | 50 | 50 | 60 | 100 | 100 | 95 | 90 | 100 | 90 | 100 | 40 | 30 | 40 | 50 | 40 | 80 | 50 | 40 | 80 | 70 | 60 | 80 | 60 |
| AC6 | Fiumi di risorgiva ed altri corsi d'acqua con vegetazione sommersa radicante | 1 | 70 | 50 | 50 | 60 | 100 | 100 | 95 | 95 | 100 | 95 | 95 | 40 | 20 | 20 | 30 | 1 | 70 | 50 | 40 | 50 | 70 | 50 | 60 | 50 |
| AF2 | Stagni e pozze meso-eutrofici a prevalente vegetazione natante non radicante (pleustofitica) | 10 | 70 | 45 | 45 | 50 | 100 | 100 | 75 | 70 | 100 | 70 | 100 | 40 | 35 | 1 | 30 | 1 | 70 | 1 | 30 | 55 | 70 | 50 | 80 | 50 |
| AF5 | Acque lacustri prive di vegetazione fanerofitica (incl. tappeti di Characeae) | 20 | 60 | 45 | 45 | 70 | 100 | 100 | 100 | 100 | 100 | 100 | 100 | 100 | 30 | 1 | 20 | 1 | 80 | 20 | 50 | 85 | 70 | 50 | 80 | 50 |
| AF6 | Laghi e laghetti di media profondità con prevalente vegetazione natante radicante (rizofitica) | 10 | 60 | 45 | 45 | 60 | 100 | 100 | 75 | 80 | 100 | 70 | 95 | 30 | 35 | 1 | 1 | 1 | 80 | 20 | 55 | 50 | 70 | 60 | 80 | 50 |
| AF7 | Specchi d'acqua poco profondi con oscillazioni di livello a vegetazione radicante | 1 | 60 | 50 | 50 | 50 | 100 | 100 | 95 | 94 | 100 | 95 | 95 | 60 | 20 | 1 | 1 | 20 | 70 | 20 | 45 | 40 | 70 | 60 | 70 | 40 |

| Codice FVG | Denominazione habitat | | | | | | | | | | | | | | | | | | | | | | | | | |
|---|---|----|------|----|------|-----|-----|-----|--------|------|-----|-----|-----|----|-------|---------|---------|---------|---------|---------|---------|---------|---------|---------|---------|--------|
| | | AC | BL13 | BU | BU10 | BU5 | CA | CP5 | PC pio | PC10 | PC4 | PC9 | PM1 | PU | UC UP | Tri.car | Ran.dal | Emy.orb | Zam Ion | Bom.var | Ran.lal | Bu.fvir | Luc.cer | Coe.oed | Car.ita | Zeumar |
| BC16 | Pineta d'impianto a pino nero | 80 | 70 | 80 | 80 | 80 | 100 | 95 | 70 | 80 | 50 | 70 | 75 | 80 | 100 | 80 | 70 | 80 | 50 | 80 | 80 | 70 | 70 | 80 | 80 | 80 |
| BC16 - BL18 | Pineta d'impianto a pino nero | 80 | 70 | 80 | 80 | 80 | 100 | 95 | 70 | 80 | 50 | 70 | 75 | 80 | 100 | 80 | 70 | 80 | 50 | 80 | 80 | 70 | 70 | 80 | 70 | 80 |
| BL | neocolonizzazione mista latifoglie-conifere | 80 | 50 | 70 | 70 | 70 | 100 | 95 | 70 | 70 | 50 | 70 | 75 | 70 | 100 | 20 | 20 | 30 | 1 | 20 | 20 | 65 | 1 | 60 | 40 | 80 |
| BL - BL13 | Neocolonizzazione pianiziale tendente al quercio-carpineto pianiziale | 60 | 10 | 65 | 65 | 55 | 100 | 95 | 70 | 70 | 95 | 70 | 90 | 65 | 95 | 25 | 20 | 30 | 1 | 15 | 15 | 70 | 1 | 60 | 30 | 70 |
| BL - BL18 | neocolonizzazione su ostriro-querceto a scotano, var. a terebinto | 80 | 50 | 70 | 70 | 70 | 100 | 95 | 70 | 75 | 50 | 70 | 75 | 70 | 100 | 50 | 30 | 80 | 40 | 60 | 80 | 60 | 30 | 70 | 70 | 80 |
| BL11 | Carpineti del piano collinare | 70 | 50 | 60 | 60 | 65 | 100 | 95 | 70 | 75 | 60 | 70 | 75 | 70 | 100 | 30 | 20 | 60 | 1 | 20 | 35 | 55 | 1 | 60 | 50 | 70 |
| BL13 | Quercio-carpineti subigrofilii su sedimenti fluvio-glaciali fini della pianura | 60 | 1 | 60 | 60 | 50 | 100 | 95 | 70 | 70 | 95 | 70 | 95 | 60 | 95 | 30 | 1 | 30 | 1 | 1 | 1 | 75 | 1 | 50 | 1 | 70 |
| BL16 | Querceti su suoli neutro-acidi del Collio e delle colline moreniche a Quercus petraea | 80 | 40 | 65 | 65 | 70 | 100 | 95 | 70 | 75 | 70 | 70 | 75 | 70 | 100 | 40 | 30 | 60 | 20 | 40 | 40 | 60 | 1 | 50 | 60 | 80 |
| BL17 | Querceti su suoli colluviali e terre rosse del Carso | 70 | 70 | 70 | 70 | 80 | 100 | 95 | 50 | 75 | 65 | 25 | 75 | 80 | 100 | 40 | 30 | 60 | 20 | 40 | 40 | 60 | 1 | 50 | 60 | 80 |
| BL18 | Ostriro-querceti del Carso | 80 | 60 | 70 | 70 | 65 | 100 | 95 | 50 | 65 | 60 | 50 | 75 | 70 | 100 | 40 | 30 | 60 | 20 | 40 | 40 | 60 | 1 | 50 | 70 | 80 |
| BU - BU5 | Neocolonizzazione a prevalenza di salici ed altre specie ripariali | 40 | 50 | 50 | 65 | 10 | 100 | 95 | 70 | 70 | 95 | 70 | 95 | 60 | 75 | 20 | 20 | 30 | 20 | 25 | 25 | 75 | 40 | 50 | 20 | 60 |
| BU - PU - UC - GM | Zona umida | 20 | 60 | 40 | 40 | 70 | 100 | 100 | 75 | 75 | 100 | 75 | 95 | 70 | 30 | 30 | 30 | 42 | 43 | 30 | 29 | 73 | 60 | 40 | 50 | 1 |
| BU10 | Boschi dominati da <i>Alnus glutinosa</i> | 40 | 60 | 20 | 1 | 50 | 100 | 95 | 75 | 75 | 95 | 75 | 95 | 50 | 40 | 20 | 20 | 30 | 20 | 15 | 15 | 80 | 40 | 60 | 40 | 60 |
| BU10 - BU5 - BU7 - BU8 - D6 | Bosco ripariale | 40 | 60 | 10 | 10 | 20 | 100 | 95 | 70 | 70 | 95 | 70 | 90 | 10 | 45 | 24 | 22 | 32 | 22 | 24 | 24 | 66 | 20 | 50 | 20 | 60 |
| BU11 | Arbusteti su suoli inondati dominati da <i>Salix cinerea</i> | 30 | 50 | 5 | 5 | 60 | 100 | 100 | 70 | 70 | 95 | 70 | 95 | 40 | 40 | 20 | 20 | 40 | 40 | 20 | 20 | 80 | 60 | 40 | 20 | 50 |
| BU2 | Arbusteti ripari prealpini dominati da <i>Salix eleagnos</i> | 40 | 70 | 70 | 70 | 10 | 100 | 100 | 55 | 55 | 100 | 55 | 95 | 70 | 95 | 60 | 40 | 70 | 50 | 70 | 60 | 20 | 60 | 50 | 40 | 60 |
| BU2 - BU3 - PC5 | Golena cespugliata | 40 | 70 | 70 | 70 | 20 | 100 | 95 | 60 | 60 | 95 | 60 | 95 | 70 | 95 | 67 | 60 | 70 | 63 | 77 | 68 | 13 | 60 | 40 | 60 | 50 |

| Codice FVG | Denominazione habitat | AC | BL13 | BU | BU10 | BU5 | CA | CP5 | PC pio | PC10 | PC4 | PC9 | PM1 | PU | UC UP | Tri.car | Ran.dal | Emyorb | Zam Ion | Bom.var | Ran.Jat | Bufvir | Luc.cer | Coe.oed | Car.Jta | Zeumar |
|------------|--|-----|------|-----|------|-----|-----|-----|--------|------|-----|-----|-----|-----|-------|---------|---------|--------|---------|---------|---------|--------|---------|---------|---------|--------|
| - PC0 | | | | | | | | | | | | | | | | | | | | | | | | | | |
| BU5 | Boschi ripari planiziali dominati da Salix alba e/o Populus nigra | 50 | 50 | 50 | 60 | 1 | 100 | 95 | 70 | 70 | 95 | 70 | 95 | 60 | 75 | 20 | 20 | 30 | 20 | 25 | 25 | 75 | 40 | 50 | 20 | 60 |
| BU7 | Boschi dei suoli inondati dominati da Fraxinus angustifolia subsp. oxycarpa | 40 | 50 | 1 | 5 | 50 | 100 | 95 | 75 | 70 | 95 | 70 | 90 | 30 | 40 | 20 | 20 | 20 | 20 | 15 | 15 | 65 | 30 | 40 | 20 | 60 |
| BU8 | Boschi dei terrazzi fluviali dominati da Quercus robur e Fraxinus angustifolia subsp. oxycarpa | 40 | 50 | 1 | 10 | 50 | 100 | 95 | 75 | 70 | 95 | 70 | 90 | 30 | 45 | 20 | 20 | 30 | 20 | 15 | 15 | 75 | 20 | 60 | 30 | 60 |
| BU9 | Boschi ripariali ad impronta mediterranea con Populus alba | 40 | 40 | 60 | 60 | 10 | 100 | 95 | 70 | 70 | 95 | 70 | 95 | 60 | 75 | 20 | 20 | 30 | 20 | 15 | 15 | 75 | 20 | 60 | 30 | 60 |
| CA | Paludi salmastre | 95 | 100 | 95 | 95 | 100 | 1 | 95 | 100 | 100 | 95 | 100 | 95 | 90 | 95 | 90 | 80 | 30 | 80 | 80 | 90 | 40 | 70 | 50 | 60 | 1 |
| CA1 | Praterie su suoli limoso-sabbiosi salati e perennemente inondati a Spartina maritima | 100 | 100 | 100 | 100 | 100 | 1 | 95 | 100 | 100 | 95 | 100 | 95 | 100 | 95 | 90 | 80 | 30 | 80 | 80 | 90 | 60 | 70 | 60 | 70 | 20 |
| CA10 | Vegetazioni su suoli sabbioso-limosi ricchi in nitrati a Elytrigia atherica (=Agropyron pungens) | 100 | 100 | 100 | 100 | 100 | 10 | 70 | 100 | 100 | 95 | 100 | 95 | 100 | 90 | 90 | 80 | 30 | 80 | 80 | 90 | 50 | 70 | 60 | 60 | 20 |
| CA3 | Vegetazioni su suoli limoso-argillosi salmastri senza disseccamento estivo a salicornie tetraploidi | 100 | 100 | 100 | 100 | 100 | 1 | 95 | 100 | 100 | 95 | 100 | 95 | 100 | 95 | 90 | 80 | 30 | 80 | 80 | 90 | 40 | 70 | 60 | 70 | 20 |
| CA4 | Praterie su suoli salmastri dominate da grandi giunchi | 95 | 100 | 95 | 95 | 100 | 1 | 85 | 100 | 100 | 95 | 100 | 95 | 95 | 90 | 90 | 80 | 30 | 80 | 80 | 90 | 40 | 70 | 40 | 70 | 1 |
| CA6 | Praterie su suoli da salati a salmastri dominate da Puccinellia festuciformis con Limonium serotinum | 95 | 100 | 95 | 95 | 100 | 1 | 85 | 100 | 100 | 95 | 100 | 95 | 95 | 90 | 90 | 80 | 30 | 80 | 80 | 90 | 50 | 70 | 50 | 70 | 20 |
| CA7 | Vegetazioni su suoli salmastri ricchi in nitrati a specie annuali | 100 | 100 | 100 | 100 | 100 | 70 | 45 | 100 | 100 | 95 | 100 | 95 | 100 | 100 | 90 | 80 | 30 | 80 | 80 | 90 | 40 | 70 | 70 | 70 | 30 |
| CA8 | Vegetazioni su suoli limosi salati a forte disseccamento estivo ad Artemisia coerulescens | 100 | 100 | 100 | 100 | 100 | 1 | 85 | 100 | 100 | 95 | 100 | 95 | 100 | 95 | 90 | 80 | 30 | 80 | 80 | 90 | 60 | 70 | 70 | 60 | 20 |

| Codice FVG | Denominazione habitat | AC | BL13 | BU | BU10 | BU5 | CA | CP5 | PC pio | PC10 | PC4 | PC9 | PM1 | PU | UC UP | Tri.car | Ran.dal | Emy.orb | Zam Ion | Bom.var | Ran.lal | Bu.fvir | Luc.cer | Coe.oed | Car.ita | Zeumar |
|-----------------|--|-----|------|-----|------|-----|-----|-----|--------|------|-----|-----|-----|-----|-------|---------|---------|---------|---------|---------|---------|---------|---------|---------|---------|--------|
| CA9 | Vegetazioni su suoli salati a suffrutici succulenti | 100 | 100 | 100 | 100 | 100 | 1 | 85 | 100 | 100 | 95 | 100 | 95 | 100 | 95 | 90 | 80 | 80 | 80 | 80 | 90 | 50 | 70 | 70 | 60 | 20 |
| CP1 | Arenili privi di vegetazione | 100 | 100 | 100 | 100 | 100 | 75 | 50 | 100 | 100 | 95 | 100 | 95 | 100 | 100 | 90 | 80 | 50 | 80 | 80 | 90 | 30 | 70 | 70 | 70 | 60 |
| CP2 | Vegetazioni su suoli sabbiosi, salati e ricchi in nutrienti dominati da <i>Cakile maritima</i> | 100 | 100 | 100 | 100 | 100 | 70 | 45 | 100 | 100 | 95 | 100 | 95 | 100 | 100 | 90 | 80 | 50 | 80 | 80 | 90 | 40 | 70 | 70 | 70 | 50 |
| CP5 | Pratelli delle dune grigie ricchi in briofite e terofite | 100 | 100 | 100 | 100 | 100 | 70 | 1 | 55 | 70 | 95 | 55 | 90 | 100 | 100 | 90 | 80 | 50 | 80 | 80 | 90 | 20 | 70 | 70 | 70 | 50 |
| CP8 | Scogli, ghiaie costiere e dei manufatti sottoposti ad intenso areosol alino con <i>Crithmum maritimum</i> | 100 | 100 | 100 | 100 | 100 | 60 | 100 | 100 | 100 | 100 | 100 | 95 | 100 | 100 | 90 | 80 | 50 | 80 | 80 | 90 | 50 | 70 | 70 | 70 | 60 |
| D1 | Prati polifitici e coltivazioni ad erba medica | 85 | 80 | 80 | 90 | 85 | 90 | 95 | 80 | 80 | 80 | 80 | 55 | 70 | 90 | 70 | 50 | 70 | 70 | 80 | 80 | 25 | 70 | 60 | 60 | 60 |
| D11 | Formazioni a <i>Helianthus tuberosus</i> | 65 | 80 | 80 | 60 | 60 | 90 | 90 | 100 | 100 | 90 | 100 | 60 | 60 | 90 | 60 | 40 | 70 | 60 | 40 | 40 | 50 | 70 | 50 | 50 | 60 |
| D14 | Impianti a <i>Tamarix</i> sp. pl. | 85 | 90 | 90 | 95 | 100 | 90 | 90 | 100 | 100 | 90 | 100 | 80 | 95 | 90 | 90 | 80 | 50 | 80 | 80 | 90 | 30 | 70 | 70 | 70 | 70 |
| D15 | Verde pubblico e privato | 100 | 90 | 90 | 100 | 100 | 90 | 95 | 95 | 95 | 90 | 95 | 75 | 90 | 95 | 70 | 50 | 70 | 70 | 60 | 80 | 30 | 60 | 70 | 70 | 60 |
| D17 | Vegetazione ruderale di cave, aree industriali, infrastrutture | 100 | 100 | 100 | 100 | 100 | 90 | 90 | 80 | 80 | 90 | 80 | 75 | 100 | 95 | 70 | 60 | 70 | 80 | 60 | 80 | 25 | 80 | 90 | 80 | 80 |
| D17 - D15 - D16 | Vegetazione ruderale di cave, aree industriali, infrastrutture; Verde pubblico e privato; Vegetazione urbana | 100 | 100 | 100 | 100 | 100 | 90 | 90 | 80 | 90 | 90 | 90 | 75 | 100 | 95 | 67 | 53 | 67 | 73 | 60 | 80 | 28 | 70 | 80 | 80 | 80 |
| D17 - STRADA | Vegetazione ruderale di cave, aree industriali, infrastrutture - Strade | 100 | 100 | 100 | 100 | 100 | 90 | 90 | 80 | 100 | 90 | 100 | 75 | 100 | 95 | 90 | 90 | 90 | 90 | 90 | 90 | 90 | 80 | 90 | 90 | 80 |
| D18 | Canali e bacini artificiali | 50 | 100 | 100 | 75 | 100 | 100 | 100 | 95 | 95 | 90 | 95 | 85 | 100 | 95 | 40 | 40 | 30 | 80 | 80 | 65 | 45 | 80 | 70 | 80 | 60 |
| D2 | Culture intensive erbacee a pieno campo e legnose (mais, soia, vigneti e pioppeti) | 100 | 100 | 100 | 95 | 100 | 95 | 95 | 80 | 80 | 80 | 80 | 90 | 100 | 95 | 60 | 52 | 66 | 62 | 60 | 57 | 55 | 80 | 80 | 70 | 80 |
| D2 - EST | Culture intensive erbacee a pieno campo e legnose (mais, soia, vigneti e pioppeti) - UCFO4 Estensivo | 70 | 70 | 70 | 80 | 70 | 90 | 95 | 70 | 70 | 80 | 80 | 85 | 70 | 95 | 50 | 40 | 60 | 50 | 50 | 50 | 55 | 70 | 80 | 70 | 80 |

| Codice FVG | Denominazione habitat | AC | BL13 | BU | BU10 | BU5 | CA | CP5 | PC pio | PC10 | PC4 | PC9 | PM1 | PU | UC UP | Tri.car | Ran.dal | Emy.orb | Zam.lbn | Bom.var | Ran.lat | Burvir | Luc.cer | Coe.oed | Car.ita | Zeumar |
|------------|--|-----|------|-----|------|-----|-----|-----|--------|------|-----|-----|-----|-----|-------|---------|---------|---------|---------|---------|---------|--------|---------|---------|---------|--------|
| D2 - INT | Colture intensive erbacee a pieno campo e legnose (mais, soia, vigneti e pioppeti) - UCFo1 Intensivo | 100 | 100 | 100 | 95 | 100 | 100 | 95 | 100 | 100 | 95 | 80 | 85 | 100 | 100 | 80 | 70 | 80 | 80 | 80 | 80 | 55 | 90 | 90 | 80 | 90 |
| D2 - PIOP | Colture intensive erbacee a pieno campo e legnose (mais, soia, vigneti e pioppeti) - UCFo3 Pioppeto | 75 | 80 | 80 | 90 | 75 | 95 | 95 | 90 | 90 | 90 | 80 | 85 | 90 | 95 | 40 | 40 | 60 | 50 | 40 | 30 | 55 | 90 | 80 | 70 | 80 |
| D2 - SCPC | Colture intensive erbacee a pieno campo e legnose (mais, soia, vigneti e pioppeti) - UCFo3 Sistemi culturali e particellari complessi con insediamenti sparsi | 85 | 90 | 90 | 95 | 85 | 90 | 90 | 90 | 90 | 80 | 80 | 85 | 90 | 90 | 60 | 50 | 60 | 60 | 60 | 50 | 50 | 80 | 80 | 70 | 80 |
| D2 - SEM | Colture intensive erbacee a pieno campo e legnose (mais, soia, vigneti e pioppeti) - UCFo2 Semiintensivo | 90 | 90 | 90 | 95 | 90 | 95 | 95 | 95 | 95 | 80 | 80 | 85 | 95 | 95 | 70 | 60 | 70 | 70 | 70 | 75 | 60 | 90 | 90 | 80 | 80 |
| D20 | Impianti di latifoglie | 85 | 60 | 60 | 85 | 60 | 90 | 90 | 80 | 80 | 80 | 80 | 85 | 90 | 95 | 40 | 20 | 50 | 40 | 40 | 45 | 50 | 40 | 70 | 60 | 70 |
| D21 | Cave attive | 95 | 90 | 100 | 100 | 100 | 90 | 90 | 80 | 80 | 90 | 80 | 80 | 90 | 100 | 80 | 80 | 70 | 70 | 80 | 80 | 25 | 80 | 80 | 80 | 80 |
| D22 | Vegetazione ruderale degli scassi e delle post-culture | 95 | 90 | 100 | 100 | 80 | 95 | 95 | 90 | 80 | 90 | 80 | 80 | 80 | 95 | 70 | 60 | 70 | 60 | 60 | 90 | 20 | 70 | 70 | 80 | 80 |
| D3 | Colture estensive dei vigneti tradizionali | 90 | 90 | 90 | 95 | 95 | 90 | 90 | 80 | 80 | 80 | 80 | 55 | 80 | 90 | 60 | 50 | 70 | 60 | 70 | 80 | 40 | 70 | 70 | 70 | 70 |
| D4 | Colture estensive cerealicole e degli orti | 90 | 80 | 80 | 95 | 95 | 90 | 90 | 80 | 80 | 80 | 80 | 55 | 90 | 90 | 60 | 60 | 70 | 60 | 80 | 75 | 35 | 60 | 70 | 70 | 70 |
| D5 | Sodaglie a <i>Rubus ulmifolius</i> | 80 | 70 | 70 | 90 | 75 | 90 | 90 | 95 | 95 | 90 | 95 | 80 | 80 | 90 | 40 | 30 | 50 | 20 | 60 | 55 | 45 | 70 | 70 | 70 | 70 |
| D6 | Boschetti nitrofilii a <i>Robinia pseudacacia</i> e <i>Sambucus nigra</i> | 80 | 80 | 80 | 80 | 75 | 90 | 90 | 95 | 95 | 90 | 95 | 90 | 80 | 90 | 40 | 30 | 50 | 30 | 50 | 50 | 35 | 70 | 70 | 60 | 70 |
| D6 - BL13 | Boschetti nitrofilii a <i>Robinia pseudacacia</i> e <i>Sambucus nigra</i> ; <i>Ostrio-querzeti</i> del Carso | 80 | 80 | 80 | 80 | 75 | 90 | 90 | 90 | 90 | 90 | 90 | 80 | 80 | 90 | 40 | 30 | 55 | 25 | 45 | 45 | 50 | 40 | 60 | 60 | 70 |
| D6 - BU5 | Boschetti nitrofilii a <i>Robinia pseudacacia</i> e <i>Sambucus nigra</i> ; <i>Boschi ripari planiziali</i> dominati da <i>Salix alba</i> e/o <i>Populus nigra</i> | 75 | 80 | 80 | 75 | 60 | 90 | 95 | 95 | 95 | 90 | 95 | 80 | 80 | 90 | 30 | 25 | 40 | 25 | 40 | 40 | 55 | 60 | 60 | 40 | 70 |

| Codice FVG | Denominazione habitat | AC | BL13 | BU | BU10 | BU5 | CA | CP5 | PC pio | PC10 | PC4 | PC9 | PM1 | PU | UC UP | Tri.car | Ran.dal | Emy.orb | Zam.lon | Bom.var | Ran.lat | Bu.fvir | Luc.cer | Coe.oed | Car.lta | Zetumar |
|---------------|---|-----|------|-----|------|-----|-----|-----|--------|------|-----|-----|-----|-----|-------|---------|---------|---------|---------|---------|---------|---------|---------|---------|---------|---------|
| D6 - BUa | Boschetti nitrofilii a Robinia pseudacacia e Sambucus nigra; Boschi dei terrazzi fluviali dominati da Quercus robur e Fraxinus angustifolia subsp. oxycarpa | 75 | 80 | 80 | 70 | 70 | 90 | 95 | 95 | 95 | 90 | 95 | 80 | 75 | 90 | 90 | 25 | 40 | 25 | 35 | 35 | 55 | 40 | 60 | 50 | 60 |
| D7 | Boschetti di Ailanthus altissima | 95 | 90 | 90 | 90 | 80 | 90 | 95 | 95 | 95 | 90 | 95 | 90 | 90 | 95 | 50 | 40 | 60 | 40 | 60 | 60 | 60 | 70 | 80 | 70 | 70 |
| D8 | Arbusteti di Amorpha fruticosa | 90 | 90 | 90 | 90 | 70 | 90 | 95 | 90 | 90 | 90 | 90 | 85 | 80 | 95 | 50 | 50 | 60 | 50 | 70 | 65 | 20 | 70 | 70 | 70 | 70 |
| GM-PC-PM | Brughiere e Cespuglieti | 80 | 60 | 70 | 70 | 70 | 100 | 95 | 65 | 65 | 60 | 65 | 75 | 65 | 100 | 63 | 48 | 70 | 51 | 69 | 70 | 42 | 60 | 50 | 40 | 60 |
| GM10 | Preboschi su suoli evoluti a Corylus avellana | 70 | 50 | 70 | 70 | 65 | 100 | 95 | 50 | 65 | 60 | 50 | 75 | 60 | 100 | 40 | 40 | 60 | 30 | 40 | 40 | 55 | 50 | 50 | 60 | 70 |
| GM11 | Mantelli igrofilii a salici e Viburnum opulus | 30 | 50 | 10 | 3 | 50 | 100 | 100 | 75 | 80 | 95 | 75 | 95 | 20 | 45 | 20 | 20 | 30 | 20 | 20 | 20 | 75 | 50 | 40 | 30 | 60 |
| GM4 | Mantelli submediterranei a Rubus ulmifolius | 70 | 60 | 70 | 70 | 70 | 100 | 95 | 50 | 50 | 40 | 50 | 75 | 60 | 100 | 30 | 20 | 40 | 20 | 30 | 35 | 55 | 50 | 50 | 60 | 70 |
| GM5 - Carso | Siepi planiziali e collinari a Cornus sanguinea subsp. hungarica e Rubus ulmifolius - In aree carsiche | 80 | 60 | 70 | 70 | 75 | 100 | 95 | 50 | 75 | 40 | 50 | 75 | 75 | 100 | 30 | 20 | 40 | 20 | 30 | 40 | 55 | 50 | 50 | 50 | 70 |
| GM5 - Pianura | Siepi planiziali e collinari a Cornus sanguinea subsp. hungarica e Rubus ulmifolius - In pianura alluvionale | 50 | 10 | 60 | 60 | 70 | 100 | 95 | 70 | 70 | 95 | 70 | 75 | 60 | 95 | 30 | 20 | 40 | 20 | 30 | 40 | 55 | 50 | 50 | 50 | 70 |
| GM6 | Arbusteti pionieri su litosuoli calcarei del Carso e delle Prealpi friulane a Prunus mahaleb e Frangula rupestris | 80 | 60 | 70 | 70 | 75 | 100 | 95 | 45 | 60 | 40 | 45 | 75 | 75 | 100 | 80 | 70 | 80 | 50 | 80 | 80 | 70 | 50 | 50 | 50 | 70 |
| GM7 | Arbusteti dominati da Paliurus spina-christi | 80 | 60 | 70 | 70 | 75 | 100 | 95 | 45 | 60 | 40 | 45 | 80 | 75 | 100 | 80 | 70 | 80 | 50 | 80 | 80 | 70 | 50 | 50 | 50 | 70 |
| GM8 | Arbusteti policormici a Cotinus coggygria prevalente | 80 | 60 | 70 | 70 | 75 | 100 | 95 | 45 | 60 | 40 | 45 | 80 | 75 | 100 | 80 | 70 | 80 | 50 | 80 | 80 | 70 | 50 | 50 | 50 | 70 |
| GM9 | Arbusteti policormici su suoli profondi a Prunus spinosa | 80 | 60 | 65 | 65 | 75 | 100 | 95 | 70 | 70 | 40 | 70 | 75 | 75 | 100 | 30 | 30 | 50 | 30 | 20 | 20 | 75 | 40 | 50 | 40 | 60 |
| M11 | Biocenosi delle sabbie fini ben calibrate | 100 | 100 | 100 | 100 | 100 | 100 | 100 | 100 | 100 | 100 | 100 | 100 | 100 | 100 | 100 | 100 | 80 | 100 | 100 | 100 | 100 | 100 | 100 | 100 | 100 |
| M15 | Biocenosi delle sabbie fini a bassa profondità | 100 | 100 | 100 | 100 | 100 | 100 | 100 | 100 | 100 | 100 | 100 | 100 | 100 | 100 | 100 | 100 | 80 | 100 | 100 | 100 | 100 | 100 | 100 | 100 | 100 |

| Codice FVG | Denominazione habitat | | | | | | | | | | | | | | | | | | | | | | | | | |
|------------|--|-----|------|-----|------|-----|-----|-----|--------|------|-----|-----|-----|-----|-------|---------|---------|---------|---------|---------|---------|---------|--------|---------|---------|--------|
| | | AC | BL13 | BU | BU10 | BU5 | CA | CP5 | PC pio | PC10 | PC4 | PC9 | PM1 | PU | UC UP | Tri.car | Ran.dal | Emy.orb | Zam Ion | Bom.var | Ran.Jat | Buf.vir | Luccer | Coe.oed | Car.Jta | Zeumar |
| MI0 | Biocenosi delle sabbie fangose superficiali in ambiente riparato | 100 | 100 | 100 | 100 | 100 | 100 | 100 | 100 | 100 | 100 | 100 | 100 | 100 | 100 | 100 | 100 | 80 | 100 | 100 | 100 | 100 | 100 | 100 | 100 | 100 |
| MI7 | Biocenosi lagunare euriterma ed eurialina | 100 | 100 | 100 | 100 | 100 | 100 | 100 | 100 | 100 | 100 | 100 | 100 | 100 | 100 | 100 | 100 | 80 | 100 | 100 | 100 | 100 | 100 | 100 | 100 | 100 |
| PC | Prati aridi | 80 | 70 | 70 | 70 | 70 | 100 | 95 | 30 | 50 | 35 | 30 | 60 | 55 | 100 | 70 | 50 | 80 | 60 | 80 | 80 | 30 | 60 | 20 | 60 | 50 |
| PC10 | Praterie evolute su suolo calcareo delle Prealpi | 80 | 60 | 70 | 70 | 65 | 100 | 95 | 50 | 1 | 35 | 50 | 60 | 50 | 100 | 70 | 50 | 70 | 60 | 80 | 75 | 1 | 60 | 20 | 70 | 50 |
| PC4 | Praterie (landa) xerothermofile su substrato calcareo del Carso | 80 | 80 | 70 | 70 | 70 | 100 | 95 | 3 | 50 | 1 | 3 | 60 | 70 | 100 | 70 | 50 | 80 | 60 | 80 | 80 | 30 | 60 | 20 | 70 | 70 |
| PC5 | Praterie xerofile primitive su alluvioni calcaree (magredo) dell'avanterra alpino | 80 | 70 | 70 | 70 | 65 | 100 | 95 | 50 | 10 | 100 | 50 | 65 | 70 | 100 | 70 | 70 | 70 | 70 | 80 | 75 | 1 | 60 | 50 | 70 | 80 |
| PC6 | Praterie xerofile semi-evolute sui primi terrazzi alluvionali (magredo) dell'avanterra alpino con Schoenus nigricans | 80 | 70 | 70 | 70 | 60 | 100 | 95 | 50 | 15 | 100 | 50 | 65 | 70 | 100 | 70 | 70 | 70 | 70 | 80 | 70 | 1 | 60 | 30 | 70 | 80 |
| PC8 | Praterie evolute su suoli ferrettizzati dei terrazzi fluviali stabilizzati (magredi) dell'avanterra alpino | 80 | 60 | 70 | 70 | 60 | 100 | 95 | 50 | 5 | 100 | 50 | 55 | 50 | 100 | 70 | 70 | 70 | 70 | 80 | 75 | 20 | 60 | 60 | 70 | 60 |
| PC9 | Prato-pascolo su terre rosse del Carso | 80 | 80 | 70 | 70 | 50 | 100 | 95 | 10 | 5 | 15 | 1 | 55 | 50 | 100 | 70 | 50 | 80 | 60 | 80 | 80 | 30 | 50 | 30 | 70 | 50 |
| PM | Prati fertili | 70 | 70 | 70 | 70 | 65 | 100 | 95 | 30 | 30 | 100 | 30 | 55 | 60 | 100 | 70 | 50 | 80 | 60 | 80 | 80 | 30 | 50 | 30 | 70 | 50 |
| PM1 | Prati da sfalcio dominati da Arrhenatherum elatius | 70 | 50 | 70 | 70 | 65 | 100 | 95 | 25 | 30 | 55 | 25 | 1 | 40 | 100 | 70 | 70 | 70 | 70 | 75 | 20 | 60 | 40 | 60 | 50 | |
| PU1 | Vegetazioni ad alte erbe su suoli umidi dominate da Filipendula ulmaria | 20 | 70 | 15 | 20 | 55 | 100 | 95 | 75 | 70 | 95 | 70 | 90 | 1 | 35 | 40 | 30 | 50 | 50 | 40 | 40 | 60 | 70 | 40 | 40 | 40 |
| PU3 | Praterie igrofile planiziali-collinari dominate da Molinia caerulea | 20 | 70 | 15 | 15 | 60 | 100 | 95 | 75 | 60 | 95 | 70 | 85 | 1 | 35 | 20 | 40 | 60 | 60 | 30 | 20 | 80 | 70 | 1 | 30 | 30 |
| PU6 | Praterie costiere su suoli umidi dominate da Molinia caerulea e Scirpoides holoschoenus | 20 | 70 | 20 | 25 | 60 | 100 | 95 | 75 | 70 | 95 | 70 | 85 | 1 | 40 | 30 | 30 | 20 | 60 | 30 | 50 | 30 | 70 | 20 | 50 | 20 |
| RU1 | Rupi carsiche soleggiate a Campanula pyramidalis e Teucrium flavum | 100 | 100 | 100 | 100 | 80 | 100 | 95 | 55 | 55 | 55 | 55 | 75 | 80 | 100 | 80 | 70 | 80 | 70 | 80 | 80 | 70 | 60 | 40 | 60 | 60 |

| Codice FVG | Denominazione habitat | AC | BL13 | BU | BU10 | BU5 | CA | CP5 | PC pio | PC10 | PC4 | PC9 | PM1 | PU | UC UP | Tri.car | Ran.dal | Emy.orb | Zam Ion | Bom.var | Ran.lat | Buf.vir | Luc.cer | Coe.oed | Car.ita | Zeumar |
|------------|--|-----|------|----|------|-----|-----|-----|--------|------|-----|-----|-----|----|-------|---------|---------|---------|---------|---------|---------|---------|---------|---------|---------|--------|
| RU2 | Pavimenti calcarei orizzontali collinari e montani | 100 | 90 | 70 | 70 | 70 | 100 | 95 | 1 | 75 | 30 | 60 | 85 | 70 | 100 | 80 | 70 | 80 | 70 | 80 | 80 | 70 | 60 | 40 | 70 | 70 |
| UC | Paludi interne | 20 | 60 | 45 | 45 | 60 | 100 | 100 | 75 | 80 | 100 | 70 | 90 | 90 | 20 | 30 | 20 | 20 | 60 | 20 | 20 | 70 | 60 | 40 | 20 | 20 |
| UC1 | Vegetazioni elfitiche d'acqua dolce dominate da <i>Phragmites australis</i> | 20 | 60 | 45 | 45 | 55 | 100 | 95 | 75 | 80 | 95 | 70 | 95 | 30 | 15 | 30 | 20 | 20 | 60 | 20 | 20 | 70 | 70 | 40 | 20 | 1 |
| UC10 | Vegetazioni anfibie dominate da grandi carici | 10 | 50 | 30 | 30 | 60 | 100 | 95 | 75 | 65 | 95 | 70 | 90 | 90 | 20 | 30 | 20 | 20 | 50 | 20 | 20 | 70 | 70 | 20 | 30 | 1 |
| UC11 | Vegetazioni su suoli a forte imbibizione di acqua dolce e delle olle di risorgiva dominate da <i>Cladium mariscus</i> | 20 | 60 | 45 | 45 | 65 | 100 | 95 | 75 | 80 | 95 | 70 | 95 | 30 | 1 | 1 | 20 | 20 | 70 | 20 | 1 | 80 | 70 | 30 | 20 | 20 |
| UC2 | Vegetazioni elfitiche d'acque salmastre dominate da <i>Phragmites australis</i> | 95 | 100 | 95 | 95 | 100 | 10 | 90 | 100 | 100 | 95 | 100 | 95 | 95 | 85 | 80 | 80 | 20 | 60 | 80 | 80 | 70 | 70 | 40 | 20 | 1 |
| UC3 | Vegetazioni elfitiche d'acque profonde stagnanti dominate da <i>Schoenoplectus lacustris</i> (= <i>Scirpus lacustris</i>) | 20 | 60 | 45 | 45 | 60 | 100 | 95 | 75 | 80 | 95 | 70 | 95 | 30 | 15 | 50 | 50 | 20 | 60 | 50 | 50 | 50 | 70 | 30 | 20 | 20 |
| UC7 | Vegetazioni delle acque dolci stagnanti | 20 | 60 | 45 | 45 | 60 | 100 | 100 | 75 | 80 | 100 | 70 | 95 | 90 | 20 | 20 | 20 | 20 | 70 | 20 | 30 | 70 | 70 | 30 | 40 | 1 |
| UC8 | Vegetazioni delle acque stagnanti salmastre a <i>Scirpus maritimus</i> (= <i>Bolboschoenus maritimus/compactus</i>) | 95 | 100 | 95 | 95 | 100 | 10 | 90 | 100 | 100 | 95 | 100 | 95 | 90 | 85 | 80 | 80 | 20 | 60 | 80 | 80 | 70 | 70 | 30 | 40 | 20 |
| UP4 | Torbiere basse alcaline con alto apporto idrico della pianura dominate da <i>Schoenus nigricans</i> | 10 | 70 | 30 | 40 | 60 | 100 | 95 | 75 | 60 | 95 | 70 | 90 | 10 | 10 | 30 | 20 | 30 | 70 | 1 | 15 | 80 | 70 | 1 | 30 | 40 |

Tabella 16: Costi di percorrenza delle specie e habitat target considerati per l'area di studio delle prealpi Giulie.

Il codici habitat fanno riferimento al Manuale degli Habitat del Friuli Venezia Giulia (Poldini et al., 2006), modificati secondo le esigenze del caso di studio. I codici di specie e habitat target sono riportati nelle tabella delle specie scelte.

| Codice habitat Manuale FVG | Denominazione habitat | PC ewo | PC pio | PM1 | PM4 | BL11 | BL14 | BLrov | BU5 | BU8 | OB3 | OB6 | Bom.var | Zam.Ion | Lac.vir | Mus.ave | Cor.aus | Par.apo | Par.mne | Zygtra |
|----------------------------|--|--------|--------|-----|-----|------|------|-------|-----|-----|-----|-----|---------|---------|---------|---------|---------|---------|---------|--------|
| AA4 - AA6 - AA7 | Golena nuda | 50 | 40 | 90 | 100 | 90 | 90 | 90 | 40 | 40 | 85 | 85 | 60 | 60 | 60 | 70 | 70 | 50 | 60 | 60 |
| AA5 | Vegetazione erbacea delle ghiaie e dei ciottoli dell'alto corso dei fiumi | 50 | 45 | 85 | 95 | 90 | 90 | 90 | 50 | 50 | 90 | 90 | 1 | 60 | 70 | 70 | 1 | 50 | 50 | 50 |
| AC2 | Acque torrentizie del corso superiore dei torrenti alpini e prealpini (epirhithral) prive di vegetazione | 85 | 85 | 85 | 95 | 90 | 90 | 90 | 50 | 50 | 90 | 90 | 20 | 60 | 80 | 70 | 70 | 60 | 60 | 60 |
| BC10 | Impianti di peccio e peccete secondarie | 85 | 85 | 90 | 80 | 85 | 85 | 85 | 90 | 90 | 85 | 80 | 70 | 50 | 60 | 40 | 60 | 80 | 80 | 80 |
| BC10 - BL11 | Rimboscimento plurispecifico di conifere su quercu-carpinetu collinare | 85 | 85 | 90 | 85 | 40 | 50 | 65 | 65 | 65 | 60 | 80 | 70 | 50 | 60 | 40 | 60 | 80 | 80 | 80 |
| BC10 - BL14 | Rimboscimento di larice su aceri-frassineto tipico | 85 | 85 | 90 | 90 | 65 | 40 | 65 | 65 | 65 | 75 | 85 | 70 | 50 | 60 | 40 | 60 | 80 | 80 | 80 |
| BC10 - BL15 | Rimboscimento plurispecifico di conifere su rovereto dei suoli acidi | 85 | 85 | 90 | 85 | 55 | 60 | 40 | 65 | 65 | 60 | 80 | 70 | 50 | 60 | 40 | 60 | 80 | 80 | 80 |
| BC10 - BL16 | Rimboscimento plurispecifico di conifere su rovereto tipico collinare | 85 | 85 | 90 | 85 | 65 | 65 | 40 | 65 | 65 | 60 | 80 | 70 | 50 | 60 | 40 | 60 | 80 | 80 | 80 |
| BC10 - BL19 | Rimboscimento plurispecifico di conifere su omo-ostrieto tipico | 85 | 85 | 90 | 85 | 80 | 80 | 85 | 85 | 85 | 80 | 80 | 70 | 50 | 60 | 40 | 60 | 80 | 80 | 80 |
| BC10 - BL20 - BL11 | Rimboscimento plurispecifico di conifere su castagneto dei suoli mesici | 85 | 85 | 90 | 85 | 45 | 50 | 60 | 65 | 65 | 60 | 80 | 70 | 50 | 60 | 40 | 60 | 80 | 80 | 80 |
| BC10 - BL20 - BL15 | Rimboscimento plurispecifico di conifere su castagneto dei suoli acidi | 85 | 85 | 90 | 85 | 55 | 60 | 60 | 65 | 65 | 60 | 80 | 70 | 50 | 60 | 40 | 60 | 80 | 80 | 80 |
| BC10 - BL5 | Rimboscimento di abete rosso su faggeta montana tipica esalpica | 85 | 85 | 90 | 85 | 85 | 80 | 85 | 75 | 75 | 65 | 65 | 70 | 50 | 60 | 40 | 60 | 80 | 80 | 80 |
| BC10 - BL6 | Rimboscimento di abete rosso su faggeta submontana tipica | 85 | 85 | 90 | 85 | 80 | 75 | 80 | 80 | 80 | 70 | 80 | 70 | 50 | 60 | 40 | 60 | 80 | 80 | 80 |

| Codice habitat Manuale FVG | Denominazione habitat | PC evo | PC pio | PM1 | PM4 | BL11 | BL14 | BL rov | BU5 | BU8 | OB3 | OB6 | Bom.var | Zam.fon | Lac.vir | Mus.ave | Cor.aus | Par.apo | Par.mne | Zyg.tra |
|----------------------------|---|--------|--------|-----|-----|------|------|--------|-----|-----|-----|-----|---------|---------|---------|---------|---------|---------|---------|---------|
| BC10 - BL8 | Rimboschimento plurispecifico di conifere su faggeta submontana con ostria | 85 | 85 | 90 | 85 | 80 | 75 | 75 | 75 | 75 | 75 | 75 | 70 | 50 | 60 | 40 | 60 | 80 | 80 | 80 |
| BC10 - BL9 | Rimboschimento di abete rosso su faggeta submontana dei suoli mesici silicatici | 85 | 85 | 90 | 85 | 85 | 80 | 80 | 70 | 70 | 70 | 70 | 70 | 50 | 60 | 40 | 60 | 80 | 80 | 80 |
| BC11 | Lariceti dei plateaux calcarei con <i>Rhododendron hirsutum</i> | 90 | 75 | 90 | 80 | 70 | 70 | 70 | 80 | 80 | 90 | 75 | 70 | 50 | 60 | 40 | 60 | 60 | 60 | 70 |
| BC12 | Rimboschimenti naturali a <i>Larix decidua</i> su prati e pascoli abbandonati | 90 | 75 | 90 | 70 | 70 | 70 | 70 | 80 | 80 | 85 | 60 | 70 | 50 | 60 | 40 | 60 | 70 | 60 | 70 |
| BC14 | Pinete a pino nero su substrati basici del settore esomesalpico | 85 | 85 | 90 | 85 | 65 | 65 | 65 | 80 | 80 | 70 | 75 | 70 | 50 | 60 | 40 | 60 | 80 | 80 | 80 |
| BC15 | Pinete a pino silvestre su substrati basici del settore endalpico | 85 | 85 | 85 | 85 | 65 | 65 | 65 | 85 | 85 | 70 | 80 | 70 | 50 | 60 | 40 | 60 | 80 | 80 | 80 |
| BC16 | Pineta d'impianto a pino nero | 85 | 85 | 85 | 90 | 70 | 70 | 70 | 90 | 90 | 75 | 80 | 70 | 50 | 60 | 40 | 60 | 80 | 80 | 80 |
| BC16 - BL19 | Rimboschimento di pino su omo-ostrieto tipico | 50 | 50 | 85 | 90 | 75 | 75 | 85 | 85 | 85 | 80 | 80 | 70 | 50 | 60 | 40 | 60 | 70 | 70 | 70 |
| BC16 - BL6 | Rimboschimento di pino su faggeta submontana tipica | 85 | 85 | 85 | 90 | 85 | 75 | 85 | 85 | 85 | 70 | 85 | 70 | 50 | 60 | 40 | 60 | 70 | 70 | 70 |
| BC16 - BL8 | Rimboschimento di pino su faggeta submontana con ostria | 85 | 85 | 85 | 90 | 85 | 80 | 80 | 75 | 75 | 75 | 75 | 70 | 50 | 60 | 40 | 60 | 70 | 70 | 70 |
| BC2 | Piceo-abieteti su suoli basici montani | 75 | 80 | 85 | 85 | 95 | 95 | 95 | 95 | 95 | 95 | 90 | 70 | 50 | 60 | 40 | 60 | 70 | 70 | 70 |
| BC8 | Peccete su alluvioni montane con <i>Petasites paradoxus</i> | 75 | 80 | 85 | 85 | 95 | 85 | 95 | 95 | 95 | 95 | 90 | 50 | 50 | 60 | 40 | 60 | 80 | 70 | 70 |
| BL | Boschi di latifoglie, Neocolonizzazione esalpica | 85 | 85 | 85 | 90 | 50 | 50 | 50 | 80 | 80 | 50 | 70 | 20 | 1 | 50 | 20 | 50 | 70 | 50 | 70 |
| BL - BL11 | Neocolonizzazione esalpica tendente all'aceri-tiglieto | 85 | 85 | 85 | 90 | 10 | 50 | 50 | 60 | 60 | 65 | 80 | 40 | 20 | 50 | 20 | 50 | 70 | 50 | 70 |
| BL - BL14 | Neocolonizzazione esalpica tendente all'aceri-frassineto tipico | 85 | 85 | 85 | 90 | 60 | 30 | 60 | 60 | 60 | 60 | 80 | 40 | 20 | 50 | 20 | 50 | 70 | 50 | 70 |
| BL - BL19 | Neocolonizzazione esalpica tendente all'omo-ostrieto tipico | 50 | 50 | 85 | 90 | 65 | 65 | 80 | 80 | 80 | 75 | 75 | 40 | 20 | 50 | 20 | 50 | 70 | 60 | 70 |

| Codice habitat Manuale FVG | Denominazione habitat | PC evo | PC pio | PM1 | PM4 | BL11 | BL14 | BL roV | BU5 | BU8 | OB3 | OB6 | Bornvair | Zamfon | Lacvir | Musave | Coraus | Par.apo | Par.mne | Zyg.tra |
|----------------------------|---|--------|--------|-----|-----|------|------|--------|-----|-----|-----|-----|----------|--------|--------|--------|--------|---------|---------|---------|
| BL - BL20 - BL11 | Neocolonizzazione avanalpica tendente al castagneto dei suoli mesici | 50 | 50 | 85 | 90 | 15 | 55 | 50 | 65 | 65 | 50 | 85 | 40 | 20 | 50 | 20 | 50 | 70 | 60 | 70 |
| BL - BL8 | Neocolonizzazione avanalpica tendente alla faggeta submontana con ostraia | 85 | 85 | 85 | 90 | 70 | 50 | 50 | 75 | 75 | 70 | 70 | 40 | 20 | 50 | 20 | 50 | 70 | 60 | 70 |
| BL - BL9 | Neocolonizzazione avanalpica tendente alla faggeta submontana dei suoli mesici silicatici | 90 | 85 | 85 | 90 | 65 | 60 | 60 | 75 | 75 | 70 | 65 | 40 | 20 | 50 | 20 | 50 | 70 | 60 | 70 |
| BL10 | Piceo-faggete su dolomie e calcari dolomitici altimontane | 90 | 85 | 85 | 85 | 90 | 90 | 90 | 90 | 90 | 90 | 50 | 60 | 40 | 50 | 20 | 50 | 70 | 70 | 70 |
| BL11 | Carpineti del piano collinare | 85 | 85 | 85 | 90 | 1 | 40 | 45 | 65 | 65 | 50 | 85 | 20 | 1 | 50 | 20 | 50 | 70 | 50 | 70 |
| BL11b | Carpineti del piano collinare delle Prealpi | 85 | 85 | 85 | 90 | 1 | 40 | 45 | 65 | 65 | 50 | 85 | 20 | 1 | 50 | 20 | 50 | 70 | 50 | 70 |
| BL14 | Boschi delle forre prealpine a Fraxinus excelsior e Acer pseudoplatanus | 90 | 90 | 85 | 90 | 45 | 1 | 50 | 50 | 50 | 55 | 70 | 60 | 40 | 50 | 20 | 50 | 70 | 50 | 70 |
| BL14 - BL11 | Aceri-tiglieto | 85 | 85 | 85 | 90 | 20 | 5 | 50 | 65 | 65 | 50 | 85 | 60 | 20 | 50 | 20 | 50 | 70 | 50 | 70 |
| BL15 | Querceti su suoli francamente acidi delle creste collinari a Quercus petraea | 85 | 85 | 85 | 90 | 45 | 45 | 1 | 60 | 60 | 50 | 80 | 60 | 20 | 50 | 1 | 50 | 70 | 60 | 70 |
| BL16 | Querceti su suoli neutro-acidi del Collio e delle colline moreniche a Quercus petraea | 85 | 85 | 85 | 90 | 45 | 45 | 1 | 60 | 60 | 50 | 80 | 40 | 20 | 50 | 1 | 50 | 70 | 60 | 70 |
| BL19 | Ostrio-querceti su suoli basici del piano collinare delle Prealpi | 50 | 50 | 85 | 90 | 70 | 70 | 70 | 70 | 70 | 60 | 70 | 60 | 20 | 40 | 20 | 40 | 70 | 60 | 70 |
| BL20 | Ostietri delle rupi e dei ghiaioni calcarei carsici e prealpini | 50 | 50 | 85 | 90 | 70 | 70 | 70 | 75 | 75 | 65 | 80 | 60 | 20 | 40 | 20 | 40 | 60 | 60 | 60 |
| BL22 | Ostietri su substrati carbonatici primitivi con Erica carnea | 60 | 75 | 85 | 90 | 65 | 65 | 65 | 75 | 75 | 70 | 75 | 70 | 30 | 20 | 40 | 20 | 60 | 60 | 60 |
| BL22 - BL23 | Orno-ostieto tipico | 60 | 85 | 85 | 90 | 60 | 55 | 60 | 60 | 60 | 60 | 60 | 60 | 20 | 40 | 20 | 40 | 70 | 60 | 70 |
| BL23 | Ostietri su substrati carbonatici senza Erica carnea | 60 | 85 | 85 | 90 | 60 | 50 | 60 | 60 | 60 | 60 | 60 | 60 | 20 | 40 | 20 | 40 | 70 | 60 | 70 |
| BL24 | Ostietri su substrati carbonatici primitivi subigrofilii | 80 | 85 | 85 | 90 | 50 | 55 | 50 | 65 | 65 | 55 | 80 | 60 | 20 | 40 | 20 | 50 | 70 | 60 | 70 |

| Codice habitat Manuale FVG | Denominazione habitat | PC evo | PC pio | PM1 | PM4 | BL11 | BL14 | BL ro v | BU 5 | BU 8 | OB3 | OB6 | Bom var | Zam lon | Lac vir | Mus ave | Cor aus | Par apo | Par mine | Zyg tra |
|----------------------------|---|--------|--------|-----|-----|------|------|---------|------|------|-----|-----|---------|---------|---------|---------|---------|---------|----------|---------|
| D17 | Vegetazione ruderale di cave, aree industriali, infrastrutture | 85 | 95 | 90 | 100 | 100 | 100 | 100 | 100 | 100 | 100 | 100 | 60 | 80 | 40 | 80 | 80 | 60 | 60 | 50 |
| D17 - D15 - D16 | Vegetazione ruderale di aree urbane | 85 | 95 | 90 | 100 | 100 | 100 | 100 | 100 | 100 | 100 | 100 | 70 | 80 | 50 | 80 | 80 | 70 | 70 | 60 |
| D17 - STRADA | Vegetazione ruderale di cave, aree industriali, infrastrutture - Strade | 85 | 95 | 90 | 100 | 100 | 100 | 100 | 100 | 100 | 100 | 100 | 90 | 90 | 70 | 90 | 90 | 80 | 80 | 80 |
| D2 - EST | Colture intensive erbacee a pieno campo e legnose (mais, soia, vigneti e pioppeti) - UCFO4 Estensivo | 80 | 80 | 70 | 70 | 70 | 70 | 70 | 70 | 70 | 70 | 80 | 50 | 50 | 60 | 70 | 70 | 80 | 80 | 70 |
| D2 - INT | Colture intensive erbacee a pieno campo e legnose (mais, soia, vigneti e pioppeti) - UCFO1 Intensivo | 90 | 100 | 90 | 100 | 100 | 100 | 100 | 100 | 100 | 100 | 100 | 80 | 80 | 80 | 80 | 80 | 90 | 90 | 90 |
| D2 - SCPC | Colture intensive erbacee a pieno campo e legnose (mais, soia, vigneti e pioppeti) - UCFO3 Sistemi culturali e particellari complessi con insediamenti sparsi | 85 | 90 | 90 | 90 | 85 | 85 | 85 | 85 | 85 | 85 | 85 | 60 | 60 | 70 | 75 | 75 | 80 | 70 | 70 |
| D2 - SEM | Colture intensive erbacee a pieno campo e legnose (mais, soia, vigneti e pioppeti) - UCFO2 Semiintensivo | 85 | 95 | 90 | 95 | 95 | 95 | 95 | 95 | 95 | 95 | 95 | 70 | 70 | 70 | 75 | 75 | 80 | 80 | 80 |
| D20 | Impianti di latifoglie | 90 | 95 | 90 | 95 | 60 | 60 | 60 | 60 | 60 | 80 | 80 | 40 | 40 | 50 | 20 | 50 | 70 | 50 | 60 |
| D3 | Colture estensive dei vigneti tradizionali | 85 | 95 | 80 | 95 | 90 | 90 | 85 | 85 | 85 | 85 | 85 | 70 | 60 | 80 | 80 | 80 | 70 | 70 | 60 |
| D6 | Boschetti nitrofilo a Robinia pseudacacia e Sambucus nigra | 90 | 95 | 90 | 95 | 70 | 65 | 70 | 50 | 65 | 80 | 90 | 50 | 30 | 60 | 40 | 70 | 70 | 60 | 60 |
| D6 - BL11 | Robiniato misto su quercocarpineto collinare | 90 | 95 | 90 | 95 | 30 | 45 | 60 | 50 | 65 | 85 | 85 | 50 | 30 | 60 | 40 | 70 | 70 | 60 | 70 |
| D6 - BL15 | Robiniato misto su rovereto dei suoli acidi | 90 | 95 | 90 | 95 | 50 | 50 | 60 | 85 | 85 | 75 | 85 | 50 | 30 | 60 | 40 | 70 | 70 | 60 | 70 |
| D6 - BL16 | Robiniato misto su rovereto tipico collinare | 90 | 95 | 90 | 95 | 50 | 50 | 60 | 85 | 85 | 75 | 85 | 50 | 30 | 60 | 40 | 70 | 70 | 60 | 70 |
| D6 - BL19 | Robiniato misto su orno-ostrieto tipico | 90 | 95 | 90 | 95 | 85 | 80 | 70 | 75 | 75 | 50 | 70 | 50 | 30 | 60 | 40 | 70 | 70 | 50 | 70 |
| D6 - BL20 - BL11 | Robiniato misto su castagneto dei suoli mesici | 90 | 95 | 90 | 95 | 35 | 45 | 60 | 50 | 65 | 85 | 85 | 50 | 30 | 60 | 40 | 70 | 70 | 70 | 70 |

| Codice habitat Manuale FVG | Denominazione habitat | PC evo | PC pio | PM1 | PM4 | BL11 | BL14 | BL ro v | BU 5 | BU 8 | OB3 | OB6 | Bom var | Zam lon | Lac vir | Mus ave | Cor aus | Par apo | Par mne | Zyg tra |
|----------------------------|--|--------|--------|-----|-----|------|------|---------|------|------|-----|-----|---------|---------|---------|---------|---------|---------|---------|---------|
| De - BL26 - BL15 | Robinetto misto su castagneto dei suoli acidi | 90 | 95 | 90 | 95 | 50 | 50 | 65 | 85 | 85 | 75 | 85 | 50 | 30 | 60 | 40 | 70 | 70 | 70 | 70 |
| De - BU5 | Robinetto misto su pioppeto golenale di pioppo nero | 90 | 95 | 90 | 95 | 65 | 65 | 65 | 85 | 55 | 75 | 85 | 50 | 30 | 60 | 40 | 70 | 70 | 70 | 70 |
| De - BU8 | Robinetto misto su ulmo-frassineto maggiore dei terrazzi fluviali | 90 | 95 | 90 | 95 | 65 | 60 | 65 | 55 | 35 | 80 | 80 | 50 | 30 | 60 | 40 | 70 | 70 | 60 | 70 |
| GC10 | Arbusteti subalpini mesoigrofilo su substrati acidi dominati da <i>Alnus alnobetula</i> (= <i>A. viridis</i>) | 90 | 85 | 90 | 80 | 100 | 100 | 100 | 100 | 100 | 85 | 70 | 60 | 40 | 50 | 20 | 50 | 50 | 1 | 60 |
| GC11 | Vegetazioni subalpine mesofile dominate da salici arbustivi | 90 | 85 | 90 | 80 | 100 | 100 | 100 | 100 | 100 | 85 | 65 | 60 | 40 | 40 | 20 | 50 | 50 | 20 | 60 |
| GC5 | Brughiere montano-subalpine su substrato basico | 90 | 80 | 90 | 80 | 100 | 100 | 100 | 100 | 100 | 90 | 75 | 50 | 60 | 20 | 80 | 50 | 40 | 40 | 60 |
| GC8 | Mughete altimontano-subalpine su substrati basici | 90 | 80 | 90 | 80 | 100 | 100 | 100 | 100 | 100 | 80 | 80 | 60 | 40 | 50 | 20 | 50 | 40 | 30 | 50 |
| GC9 | Mughete di fondovalle su substrati basici con numerose latifoglie | 80 | 85 | 90 | 85 | 80 | 80 | 80 | 85 | 85 | 70 | 75 | 60 | 40 | 50 | 20 | 50 | 40 | 20 | 50 |
| GM0 | Mosaico seriale mesofilo o xerofilo | 80 | 90 | 90 | 90 | 70 | 70 | 70 | 70 | 70 | 70 | 75 | 40 | 40 | 60 | 20 | 40 | 40 | 50 | 40 |
| GM10 | Preboschi su suoli evoluti a <i>Corylus avellana</i> | 80 | 85 | 90 | 90 | 30 | 40 | 40 | 55 | 55 | 40 | 85 | 40 | 30 | 30 | 1 | 40 | 60 | 30 | 40 |
| GM12 | Arbusteti mesofili delle radure del piano montano a <i>Sambucus racemosa</i> | 85 | 90 | 90 | 90 | 80 | 80 | 80 | 80 | 80 | 70 | 45 | 40 | 40 | 1 | 1 | 40 | 70 | 20 | 40 |
| GM13 | Neoformazione forestale su ex-prato o pascolo (prev. <i>Fraxinus excelsior</i>) | 80 | 90 | 90 | 88 | 50 | 50 | 70 | 70 | 70 | 40 | 70 | 40 | 40 | 20 | 20 | 20 | 70 | 30 | 40 |
| GM3 | Arbusteti collinari e montani su substrati calcarei e/o fisychoidi a <i>Juniperus communis</i> prevalente | 90 | 90 | 90 | 90 | 50 | 50 | 50 | 50 | 50 | 35 | 65 | 40 | 40 | 1 | 20 | 20 | 60 | 40 | 40 |
| GM5 | Siepi planiziali e collinari a <i>Cornus sanguinea</i> subsp. <i>hungarica</i> e <i>Rubus ulmifolius</i> | 85 | 90 | 90 | 95 | 50 | 50 | 45 | 45 | 45 | 40 | 60 | 30 | 20 | 20 | 1 | 40 | 70 | 40 | 50 |

| Codice habitat Manuale FVG | Denominazione habitat | PC evo | PC pio | PM1 | PM4 | BL11 | BL14 | BL ro v | BU 5 | BU 8 | OB3 | OB6 | Bom var | Zam lon | Lac vir | Mus ave | Cor aus | Par apo | Par mine | Zyg tra |
|----------------------------|--|--------|--------|-----|-----|------|------|---------|------|------|-----|-----|---------|---------|---------|---------|---------|---------|----------|---------|
| OB2 | Radure boschive mesofile con vegetazione erbacea | 70 | 85 | 90 | 90 | 80 | 75 | 75 | 75 | 75 | 35 | 40 | 40 | 20 | 20 | 20 | 40 | 60 | 1 | 1 |
| OB3 | Orli boschivi pianiziali e collinari | 40 | 55 | 60 | 75 | 45 | 45 | 45 | 45 | 45 | 1 | 50 | 40 | 40 | 1 | 1 | 40 | 50 | 1 | 20 |
| OB6 | Vegetazioni subalpine subigrofile a megafornie | 50 | 55 | 75 | 85 | 80 | 80 | 80 | 85 | 85 | 50 | 1 | 40 | 40 | 60 | 20 | 40 | 50 | 20 | 50 |
| OB7 | Vegetazioni degli alpeggi su suoli ad elevato contenuto d'azoto a Rumex alpinus | 70 | 60 | 90 | 55 | 70 | 70 | 70 | 80 | 80 | 90 | 50 | 60 | 40 | 60 | 20 | 40 | 50 | 40 | 40 |
| PC10 - Collina | Praterie evolute su suolo calcareo delle Prealpi - Fascia collinare montana | 1 | 10 | 70 | 85 | 50 | 60 | 70 | 70 | 70 | 70 | 50 | 80 | 60 | 1 | 80 | 20 | 40 | 20 | 1 |
| PC10 - Pianura | Praterie evolute su suolo calcareo delle Prealpi - Fascia pianiziale | 5 | 15 | 70 | 85 | 55 | 65 | 50 | 50 | 50 | 20 | 60 | 80 | 60 | 1 | 80 | 20 | 40 | 20 | 1 |
| PC5 | Praterie xerofile primitive su alluvioni calcaree (magredo) dell'avanterra alpino | 10 | 1 | 75 | 85 | 70 | 75 | 50 | 40 | 40 | 30 | 60 | 80 | 70 | 1 | 80 | 1 | 40 | 30 | 1 |
| PC7 | Praterie xerofile su substrato calcareo di pendio (magredo) prealpine | 5 | 1 | 75 | 85 | 70 | 70 | 50 | 50 | 50 | 30 | 50 | 80 | 70 | 1 | 80 | 1 | 40 | 30 | 1 |
| PC8 | Praterie evolute su suoli ferrettizzati dei terrazzi fluviali stabilizzati (magredi) dell'avanterra alpino | 1 | 10 | 75 | 85 | 60 | 65 | 50 | 40 | 40 | 20 | 50 | 80 | 70 | 1 | 80 | 20 | 40 | 30 | 1 |
| PM - PC | Prati stabili | 10 | 55 | 5 | 70 | 50 | 50 | 50 | 50 | 50 | 35 | 50 | 70 | 70 | 1 | 80 | 50 | 40 | 40 | 1 |
| PM1 | Prati da sfalcio dominati da Arrhenatherum elatius | 70 | 80 | 1 | 50 | 50 | 50 | 50 | 50 | 50 | 40 | 50 | 70 | 70 | 20 | 80 | 50 | 40 | 20 | 1 |
| PM4 | Pascoli d'alpeggio su suoli ricchi dominati da Poa alpina e Poa supina | 75 | 90 | 60 | 1 | 90 | 90 | 90 | 90 | 90 | 50 | 70 | 60 | 60 | 20 | 80 | 20 | 40 | 30 | 30 |
| PS | Praterie alpine | 70 | 51 | 90 | 60 | 100 | 100 | 100 | 100 | 100 | 100 | 100 | 50 | 60 | 20 | 80 | 1 | 20 | 30 | 30 |
| PS10 | Praterie alpine a zolle discontinue su substrati carbonatici | 70 | 51 | 90 | 60 | 100 | 100 | 100 | 100 | 100 | 100 | 100 | 50 | 60 | 20 | 80 | 1 | 20 | 20 | 20 |
| PS2 | Praterie altimontane mesofile su suoli acidi dominate da Nardus stricta | 70 | 51 | 90 | 65 | 100 | 100 | 100 | 100 | 100 | 70 | 80 | 50 | 60 | 20 | 80 | 1 | 30 | 30 | 20 |

| Codice habitat Manuale FVG | Denominazione habitat | PC evo | PC pio | PM1 | PM4 | BL11 | BL14 | BL ro v | BU 5 | BU 8 | OB3 | OB6 | Bom var | Zam lon | Lac vir | Mus ave | Cor aus | Par apo | Par mne | Zyg tra |
|----------------------------|---|--------|--------|-----|-----|------|------|---------|------|------|-----|-----|---------|---------|---------|---------|---------|---------|---------|---------|
| PSa | Praterie secondarie altimontane e subalpine su substrato calcareo | 70 | 55 | 90 | 75 | 100 | 100 | 100 | 100 | 100 | 60 | 80 | 50 | 60 | 20 | 80 | 1 | 30 | 20 | 1 |
| PSaa | Praterie secondarie altimontane e subalpine su substrato calcareo delle Alpi e Prealpi Giulie dominate da Festuca calva | 65 | 55 | 90 | 75 | 100 | 100 | 100 | 100 | 100 | 80 | 80 | 50 | 60 | 20 | 80 | 1 | 30 | 20 | 1 |
| PSa | Praterie primarie alpine su suoli carbonatici a Sesleria caerulea e Ranunculus hybridus | 75 | 55 | 90 | 65 | 100 | 100 | 100 | 100 | 100 | 100 | 100 | 50 | 60 | 20 | 80 | 1 | 30 | 40 | 30 |
| RG2 | Ghiaioni calcarei montani ed alpini | 75 | 70 | 90 | 65 | 100 | 100 | 100 | 100 | 100 | 100 | 100 | 90 | 80 | 80 | 80 | 30 | 1 | 20 | 20 |
| RG3 | Ghiaioni calcarei termofili prealpini dominati da Stipa calamagrostis | 70 | 80 | 90 | 95 | 100 | 100 | 100 | 100 | 100 | 100 | 100 | 90 | 80 | 60 | 80 | 20 | 1 | 40 | 20 |
| RUo | Mosaico morfologico dei canali rupestri | 70 | 80 | 90 | 95 | 100 | 100 | 100 | 100 | 100 | 100 | 100 | 90 | 80 | 70 | 80 | 80 | 1 | 20 | 20 |
| RUoa | Mosaico morfologico dei canali rupestri | 70 | 80 | 90 | 95 | 100 | 100 | 100 | 100 | 100 | 100 | 100 | 90 | 80 | 70 | 80 | 80 | 1 | 20 | 20 |
| RU11 | Nevi e ghiacci perenni | 100 | 100 | 90 | 100 | 100 | 100 | 100 | 100 | 100 | 100 | 100 | 100 | 100 | 100 | 100 | 100 | 60 | 60 | 70 |
| RU4 | Rupi calcaree soleggiate montane a Potentilla caulescens | 80 | 80 | 90 | 95 | 100 | 100 | 100 | 100 | 100 | 100 | 100 | 90 | 80 | 50 | 80 | 20 | 1 | 30 | 1 |
| RU5 | Rupi calcaree soleggiate subalpine ed alpine a Potentilla nitida | 80 | 80 | 90 | 95 | 100 | 100 | 100 | 100 | 100 | 100 | 100 | 90 | 80 | 50 | 80 | 20 | 1 | 40 | 1 |
| UC1o | Vegetazioni anfibie dominate da grandi carici | 65 | 65 | 55 | 70 | 65 | 65 | 65 | 50 | 45 | 60 | 60 | 1 | 70 | 70 | 60 | 70 | 60 | 60 | 60 |

VISTO: IL VICEPRESIDENTE